



UNIVERSIDAD NACIONAL AUTONOMA DE MEXICO

FACULTAD DE INGENIERIA

253

96

**DISEÑO OPTIMO DE ARMADURAS  
ESPACIALES**

T E S I S

QUE PARA OBTENER EL TITULO DE  
INGENIERO CIVIL  
P R E S E N T A :

**ROGELIO REGINO HERNANDEZ HERNANDEZ**



**UNAM – Dirección General de Bibliotecas**

**Tesis Digitales**  
**Restricciones de uso**

**DERECHOS RESERVADOS ©**  
**PROHIBIDA SU REPRODUCCIÓN TOTAL O PARCIAL**

Todo el material contenido en esta tesis está protegido por la Ley Federal del Derecho de Autor (LFDA) de los Estados Unidos Mexicanos (México).

El uso de imágenes, fragmentos de videos, y demás material que sea objeto de protección de los derechos de autor, será exclusivamente para fines educativos e informativos y deberá citar la fuente donde la obtuvo mencionando el autor o autores. Cualquier uso distinto como el lucro, reproducción, edición o modificación, será perseguido y sancionado por el respectivo titular de los Derechos de Autor.

## INDICE GENERAL

	PAGINA
1. INTRODUCCION	1
2. METODO DE ANALISIS	5
3. CONSIDERACIONES DE DISEÑO	14
4. PROGRAMA DE COMPUTADORA EN LENGUAJE FORTRAN	19
5. COMPARACION CON UN DISEÑO EXISTENTE DE LA CFE PARA UNA TORRE DE TRANSMISION (EJEMPLO)	28
6. CONCLUSIONES	35
REFERENCIAS	37
APENDICE A LISTADO DEL PROGRAMA EN LENGUAJE FORTRAN	38
APENDICE B MANUAL DE USUARIO DEL PROGRAMA DE COMPUTADORA	65
APENDICE C LISTADO DE RESULTADOS DEL EJEMPLO DEL CAPITULO 5	70
APENDICE D DESCRIPCION DE LAS SUBRUTINAS DEL PAQUETE DE COMPUTADORA	110

## 1. INTRODUCCION

El análisis de una armadura en el espacio, sin la ayuda de un programa de computadora, resulta un proceso complicado, debido a su alto grado de hiperestática. Por esta razón es común hacer un análisis manual aproximado que consiste en descomponer a la armadura en una serie de armaduras planas y superponer resultados. Esta solución no considera el trabajo de conjunto, por lo tanto no contempla el trabajo de torsión que se produce cuando existen fuerzas fuera del plano de cada armadura.

Además, las dificultades envueltas en un análisis manual, no permiten obtener un diseño óptimo de armaduras en el espacio, porque este se haría una sola vez, pasando inmediatamente al diseño final, utilizando las fuerzas obtenidas en el análisis efectuado con el dimensionamiento preliminar de los elementos estructurales.

Para la solución del problema de análisis y diseño de armaduras tridimensionales se puede pensar en pruebas del prototipo de cada diseño, que permitan detectar las deficiencias del diseño y corregirlas. El procedimiento además de ser lento, ya que una prueba puede durar varias semanas, debido al continuo reemplazo de los elementos estructurales que fallen, es ineficiente porque sólo permite detectar aquellas barras que se encuentran subdiseñadas, más no las que se encuentran sobrediseñadas, obte-

niéndose como resultado final una estructura muy pesada. Por lo tanto, tampoco en éste caso es factible obtener un diseño óptimo.

El objetivo de este trabajo es desarrollar un programa de computadora, para el análisis y diseño de armaduras en el espacio, que desarrolle automáticamente las siguientes funciones:

- Análisis tridimensional de la armadura.
- Diseño de los elementos estructurales de la armadura bajo todas las condiciones de carga, utilizando la envolvente de esfuerzo obtenida en el análisis tridimensional.
- Obtener un diseño óptimo a través de una sucesión de análisis-diseño, que converja a la estructura de peso mínimo y por lo tanto a la más económica.

Un paquete de cómputo de esta naturaleza, permite explorar entre diferentes tipos de configuraciones de armaduras, con lo cuál es posible seleccionar la mejor geometría que satisfaga las condiciones de diseño.

En general, una armadura en el espacio es altamente hiperestable, ya que contiene un gran número de nudos y elementos estructurales. Por lo tanto, para que un programa de análisis y diseño de armaduras tridimensiona-

les sea práctico en su manejo (preparación de los datos) y a la vez eficiente en su utilización (mínimo tiempo de computadora), es necesario que tenga las siguientes características:

- Entrada de datos simple.
- Algoritmo de análisis eficiente.

Además, por razones prácticas:

- Que el diseño lo haga seleccionando los perfiles de entre los disponibles en el mercado.
- Que en el diseño se tenga la opción de agrupar varios elementos estructurales en un mismo diseño, es decir, que se use un mismo perfil para todos los elementos que forman el grupo.

Respecto a lo anterior, es conveniente hacer las siguientes observaciones:

Que si no se programa un algoritmo de análisis eficiente, el proceso iterativo análisis-diseño, para obtener el diseño óptimo de una armadura tridimensional, puede consumir una gran cantidad de tiempo de computadora llegando a extremos intolerables.

Que si el diseño, como es usual, se hiciera en forma ma-

nual consumiría muchas horas-hombre y la probabilidad de cometer errores aumentaría. Además de que debido a las simplificaciones que se hacen para reducir el cálculo manual es común, siendo tantos los elementos estructurales, encontrar elementos sobrediseñados.

Que es práctica general el agrupar demasiados elementos estructurales con el propósito de que se use un sólo perfil, manteniéndose así el mínimo número de perfiles que se utilizarán en una armadura. Si esto se contempla superficialmente, pudiera parecer deseable. Sin embargo, es necesario recordar que cuando se agrupan todos los elementos estructurales, se están realmente diseñando todos ellos para el estado crítico de solamente uno del grupo. Esto quiere decir, que de todos los elementos de un grupo solamente uno está diseñado en forma óptima y los demás están sobrediseñados.

Para comprobar el buen funcionamiento del programa de computadora, se analiza y diseña en forma óptima una torre de transmisión de energía eléctrica, construida por la Comisión Federal de Electricidad, para la línea León II-Aguascalientes. Este tipo de armadura es un ejemplo práctico de una armadura tridimensional.

## 2. METODO DE ANALISIS

Entre los logros de mayor alcance en la ingeniería estructural, durante las últimas tres décadas, está la capacidad de analizar casi todo tipo de estructuras en forma analítica, con un elevado grado de precisión y a un costo razonable. La aparición de la computadora digital ha hecho posible éste logro. Para aprovechar esta valiosa herramienta se crearon de inmediato métodos de análisis adecuados para el cálculo en ella. El más usado de ellos es el METODO DIRECTO DE LAS RIGIDEZES, que aparece en la década de los 50.

En la referencia 1 se describe en detalle el METODO DIRECTO DE LAS RIGIDEZES y se ilustra con varios ejemplos que permiten seguir paso a paso la aplicación de éste método en el análisis de marcos y armaduras. A continuación se destacan los aspectos fundamentales de este método, que es el que se ha programado para el análisis de las armaduras tridimensionales.

La matriz de rigidez de un elemento viga en tres dimensiones y para un sistema local de ejes se muestra en la figura 1. Esta matriz, como veremos más adelante, es el elemento básico en la solución del problema de análisis de armaduras en tres dimensiones.

$$\begin{matrix}
 & \frac{EA}{L} & \\
 \begin{matrix}
 0 & \frac{12EI_z}{L^3(1+\Phi_y)} & \\
 0 & 0 & \frac{12EI_y}{L^3(1+\Phi_z)} \\
 0 & 0 & 0 & \frac{GJ}{L} \\
 0 & 0 & \frac{-6EI_y}{L^2(1+\Phi_z)} & 0 & \frac{(4+\Phi_x)EIy}{L(1+\Phi_z)} \\
 0 & \frac{6EI_z}{L^2(1+\Phi_y)} & 0 & 0 & 0 & \frac{(4+\Phi_y)EIz}{L(1+\Phi_y)} \\
 -EA & 0 & 0 & 0 & 0 & 0 & \frac{AE}{L} \\
 0 & \frac{-12EI_z}{L^3(1+\Phi_y)} & 0 & 0 & 0 & \frac{-6EI_z}{L^2(1+\Phi_y)} & 0 & \frac{12EI_z}{L^3(1+\Phi_y)} \\
 0 & 0 & \frac{-12EIy}{L^3(1+\Phi_z)} & 0 & \frac{6EIy}{L^2(1+\Phi_z)} & 0 & 0 & 0 & \frac{12EIy}{L^3(1+\Phi_z)} \\
 0 & 0 & 0 & \frac{-GJ}{L} & 0 & 0 & 0 & 0 & \frac{GJ}{L} \\
 0 & 0 & \frac{-6EI_y}{L^2(1+\Phi_z)} & \frac{(2-\Phi_z)EIy}{L(1+\Phi_z)} & 0 & 0 & \frac{6EI_y}{L^2(1+\Phi_z)} & 0 & \frac{(4+\Phi_z)EIy}{L(1+\Phi_z)} \\
 0 & \frac{6EI_z}{L^2(1+\Phi_y)} & 0 & 0 & \frac{(2-\Phi_y)EIz}{L(1+\Phi_y)} & 0 & \frac{-6EI_z}{L^2(1+\Phi_y)} & 0 & 0 & \frac{(4+\Phi_y)EIz}{L(1+\Phi_y)}
 \end{matrix}
 \end{matrix}$$

FIGURA 1 MATRIZ DE RIGIDEZ DE UN ELEMENTO VIGA

La nomenclatura utilizada se define de la siguiente manera:

SÍMBOLO	DEFINICIÓN
E	Módulo de elasticidad
A	Área de la sección transversal
L	Longitud del elemento
I <sub>z</sub>	Momento de inercia alrededor del eje local z
Φ <sub>y</sub>	12 EI <sub>z</sub> /G(A <sub>s</sub> ) <sub>y</sub> L <sup>2</sup>
G	Módulo de rigidez al cortante
(A <sub>s</sub> ) <sub>y</sub>	Área efectiva al cortante de la sección transversal en la dirección y
(A <sub>s</sub> ) <sub>z</sub>	Área efectiva al cortante de la sección transversal en la dirección z
I <sub>y</sub>	Momento de inercia alrededor del eje local y
Φ <sub>z</sub>	12 EI <sub>y</sub> /G(A <sub>s</sub> ) <sub>z</sub> L <sup>2</sup>
J	Momento polar de inercia

NOTA: Los ejes locales se definen tal que el eje x es el eje longitudinal del elemento y los otros dos ejes (y,z), son los principales y centroidales de la sección.

Haciendo una rotación adecuada de la matriz de rigidez anterior para referirla a un sistema global de ejes, es posible ensamblar cada una de las matrices de rigidez de cada elemento de la estructura para obtener la matriz  $\{K\}$ , MATRIZ DE RIGIDEZ GLOBAL DE LA ESTRUCTURA.

El equilibrio de la estructura queda expresado, en forma matricial como:

$$\{K\}\{D\} = \{Q\} \quad (1)$$

Donde:

- $\{K\}$  Matriz de rigidez global de la estructura
- $\{Q\}$  Matriz de cargas. Contiene en cada columna, cada uno de los vectores de carga  $\{q_i\}$  correspondientes a cada caso de carga bajo el cuál se desea analizar la armadura tridimensional, ó sea:

$$\{Q\} = \{q_1 \dots q_j \dots q_L\} \quad (2)$$

donde L es el número de casos de carga

- $\{D\}$  Matriz de desplazamientos nodales, incógnitas del problema, que determinan la configuración deformada de la armadura tridimensional para

cada uno de los casos de carga, es decir, cada columna de la matriz  $\{D\}$  corresponde a una columna de la matriz  $\{Q\}$ .

La solución del sistema de ecuaciones (1), es la matriz  $\{D\}$ , matriz de desplazamientos de los nudos de la estructura, bajo la acción de las cargas que están representadas por la matriz  $\{Q\}$ .

A partir de cada una de las columnas de la matriz  $\{D\}$ , vectores de desplazamientos  $\{d_i\}$ , es posible calcular la fuerza interna  $\{q'_i\}$ , correspondiente a un caso de carga dado, que actúa en el elemento barra  $i$  de la armadura tridimensional. Para ello se postmultiplica la matriz de rigidez local del elemento  $\{k'_i\}$ , por el resultado que se obtiene de premultiplicar los desplazamientos nodales  $\{d_i\}$ , correspondientes a los extremos del elemento estructural  $i$ , por su respectiva matriz de transformación  $\{r_i\}$ , del sistema local a global, ó sea:

$$\{q'_i\} = \{k'_i\} \{r_i\} \{d_i\} \quad (3)$$

Donde  $\{q'_i\}$  contiene la fuerza axial (elementos mecánicos), asociada a los desplazamientos nodales  $\{d_i\}$  del elemento  $i$ .

Esta fuerza esta referida al sistema local de ejes del elemento.

El procedimiento de análisis brevemente descrito aquí,

permite entonces conocer el estado de esfuerzos (fuerzas internas), en cada uno de los elementos de la armadura tridimensional a partir de las características mecánicas y geométricas de sus miembros y de las cargas que actúan en cada caso de carga dado.

Conocidas las fuerzas internas se pueden diseñar los elementos estructurales de la armadura de acuerdo con las especificaciones contenidas en los manuales de diseño.

Sin embargo, dado que es común la presencia de "nudos planos", en la mayoría de las configuraciones utilizadas en armaduras tridimensionales es necesario introducir, en el análisis de armaduras por el método de las rigideces (también conocido como el método de los desplazamientos), las rigideces a flexión, ya que de otro modo se generarian singularidades en la matriz de rigidez global (por ésta razón en la figura 1 se presenta la matriz de rigidez local de un elemento viga). Físicamente un nudo plano se explica como la potencialidad de movimiento de un punto nodal (nudo plano), en la dirección normal al plano que contiene a dicho nudo, este tipo de nudos se presentan comúnmente en los contraventos de las armaduras tridimensionales y también en los planos horizontales a cada nivel, un ejemplo de esto son las torres de alta tensión como la que se analiza y diseña en el presente trabajo. En la figura 2 se presenta en forma esquemática la configuración de una ar-

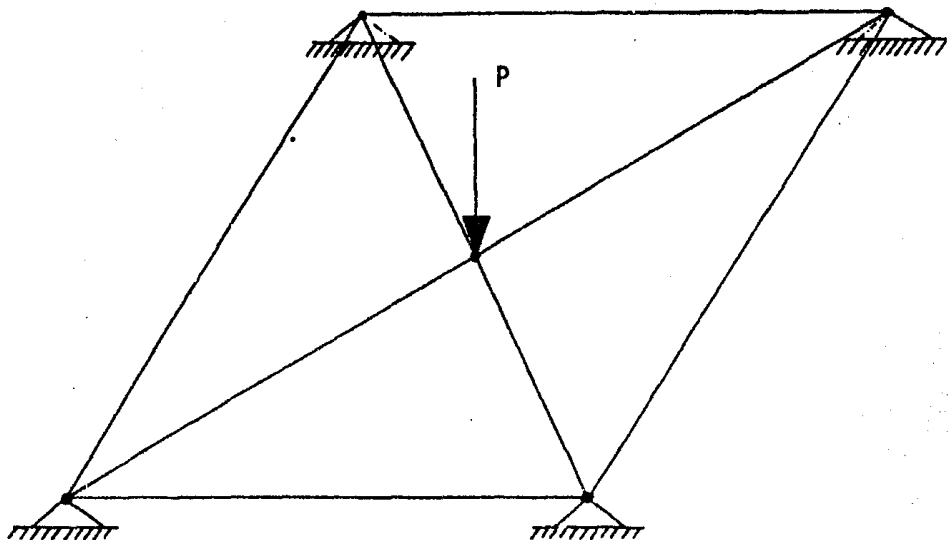


FIGURA 2 Configuración inestable que define un nudo plano. La carga  $P$  es perpendicular al plano formado por las cuatro barras que concurren al punto de aplicación de la carga.

madura que tendría rigidez nula si solamente se tomáran las rigideces axiales de los miembros.

Otra forma de resolver el problema es restringir los giros en los nudos de la armadura, que aún cuando sean pequeños permiten eliminar las singularidades en la matriz de rigidez.

Al introducir las rigideces rotacionales (restricción de los giros en los nudos), el número de grados de libertad se incrementa en 3 por punto nodal, ya que se aumentan 3 giros en adición a los 3 desplazamientos, ya considerados por punto nodal. La matriz de rigidez sería la mostrada en la figura 1, que es de  $12 \times 12$  ya que al tener un elemento 2 puntos nodales, esto representa 12 grados de libertad en total para el elemento. El aumento en el número de grados de libertad implica el aumento del número de ecuaciones, así como del ancho de banda de la matriz de rigidez.

Sin embargo, se puede observar que esto tiene 2 desventajas. Primero requeriríamos mayor capacidad de memoria en la máquina y segundo aumentaríamos el tiempo de máquina requerido para la solución del problema de análisis.

La parte más significativa en cuanto al tiempo de máquina usado en la ejecución de un programa de análisis estructural es la solución del sistema dado por la ecuación 1, ya mencionada. El tiempo de máquina es, desde luego, proporcional al número de operaciones. Para sistemas grandes:

$$\text{TIEMPO DE MAQUINA} = NM^2/2 \quad (4)$$

Donde:

N = Número de ecuaciones.

M = Ancho de semibanda de la matriz.

Si ambas cantidades se duplican, entonces el número de operaciones y en consecuencia el tiempo de máquina aumentan 8 veces. Esto puede convertir el problema de análisis en algo poco práctico, aún para computadoras grandes, ya que si se necesitan 10 minutos para resolver el problema de análisis sin considerar giros, se necesitarían 1 hora 20 minutos para el mismo problema considerando los giros. Más aún, si se toma en cuenta que con el propósito de optimizar la armadura es necesario un proceso repetitivo de reanálisis y rediseño, se hace evidente que el considerar los giros se hace totalmente prohibitivo.

El problema puede solucionarse en forma simple si se introducen rigideces a la flexión muy pequeñas, en las barras de la estructura. Esto tiene como consecuencia que su efecto sobre el comportamiento estructural es, para fines prácticos, nulo. De aquí que es posible introducir estas rigideces y simultáneamente permitir los giros en los puntos nodales.

Esto tendría como efecto mantener la contribución de las rigideces a flexión bajo desplazamientos sin aumentar el número de grados de libertad, haciendo que las configuraciones como la mostrada en la figura 2 ya no sean inestables.

Aún cuando deberían utilizarse rigideces a la flexión reales de los elementos estructurales (barras), esto no es necesario, ya que su contribución es muy pequeña y se utiliza como un artificio para evitar las singularidades de la matriz de rigidez. Es posible y más práctico asignar simplemente valores pequeños y todos iguales, a éstas rigideces, eliminando así el lento proceso de calcular los momentos de inercia con respecto a los ejes principales para cada elemento estructural, y además, si se toma en cuenta que las fórmulas de diseño utilizadas son únicamente para fuerzas axiales, sin considerar los posibles momentos secundarios, se hace evidente la justificación del artificio.

El procedimiento aquí descrito es el que se utiliza en la parte de análisis del programa de computadora, en lenguaje FORTRAN, que se presenta en el APENDICE A.

### 3. CONSIDERACIONES DE DISEÑO

Realizado el análisis y con los resultados obtenidos en forma de fuerzas internas, se procede al diseño de la armadura. El comportamiento estructural de una armadura espacial es bajo esfuerzos de tensión y compresión. La fórmula de diseño para tensión no presenta mayor problema y es similar en todos los manuales existentes. Sin embargo, para el diseño a compresión las fórmulas varían considerablemente, dependiendo de la aplicabilidad de los diferentes manuales.

Las fórmulas de diseño adoptadas en éste paquete son las del manual de obras civiles de la Comisión Federal de Electricidad (referencia 2). Estas fórmulas se encuentran en el programa de computadora en forma simple y compacta de tal manera que permita su sustitución, si se considera necesario, por las de otro manual.

Para la utilización de las fórmulas de diseño a compresión es necesario definir la longitud efectiva de pandeo de cada elemento estructural. Nuevamente, esto es motivo también de mucha discrepancia entre los manuales de diversos países e instituciones, ya que esta longitud depende de las condiciones de frontera de cada elemento estructural y estas no pueden ser definidas en forma absoluta más que para configuraciones muy simples.

Debido a ésto, en el paquete de cómputo se dan como dato los factores de longitud efectiva de pandeo de acuerdo con el criterio que se deseé adoptar.

Para el diseño óptimo de los perfiles de los elementos de las armaduras, se seleccionó un METODO INDIRECTO DE OPTIMACION, el cuál corresponde a la TEORIA DE RELACION DE ESFUERZOS. Los métodos indirectos de optimación consisten en un proceso iterativo análisis-diseño para la estructura sujeta a todas las condiciones de carga.

El método consiste en esforzar al máximo todos los elementos que componen la estructura. Su aplicación es directa si existe una sola variable de diseño para cada elemento (en éste caso, área de cada elemento).

En el proceso de diseño de elementos armadura, éste es un proceso iterativo en donde los resultados obtenidos en el primer ciclo (consistiendo cada ciclo de un análisis y un diseño de la estructura), sirven de base ó punto de partida para la siguiente, hasta llegar a una convergencia, si ésta existe.

Exponiendo lo anterior en forma matemática, en un elemento armadura "i" sujeto a una carga de tensión. El área ( $A_i^n$ ) de éste elemento para la n-ésima iteración será:

$$A_i^n = \bar{S}_i^n / f_s \quad (5)$$

Donde:

$A_i^n$       Área del elemento "i" en la n-ésima iteración (n-ésimo diseño).

$f_s$       Esfuerzo permisible a tensión.

$\bar{S}_i^n$       Envolvente de la carga axial en el elemento "i" para todas las condiciones de carga actuantes en la estructura.

Si éste elemento se diseña por compresión, es necesario incluir el efecto por pandeo en la pieza, con lo que se tendría:

$$A_i^n = \bar{S}_i^n / f_{si}^n \quad (6)$$

Donde:

$f_{si}^n$       Esfuerzo permisible a compresión. Va-

ría en cada iteración ya que depende del radio de giro ( $r_i$ ) de la sección, que a su vez depende del área ( $A_i$ ) y del momento de inercia ( $I_i$ ) del elemento.

Debido a que se analizan varios casos de carga, el resultado del análisis es un conjunto de fuerzas axiales para cada elemento estructural, donde cada una de ellas corresponde a cada caso de carga. Para proceder entonces al diseño de cada elemento, es necesario obtener la envolvente de las fuerzas internas, ó sea, la fuerza máxima de tensión y la fuerza máxima de compresión a que está sometido cada miembro.

Una vez obtenidas las máximas tensiones y compresiones, se diseña el elemento utilizando aquel perfil que en forma óptima resista estas cargas, entendiendo por óptimo al perfil disponible en el mercado que tenga las características de resistencia adecuadas y el peso mínimo. Esto se logra en el programa rastreando la tabla de perfiles ordenada de menor a mayor peso hasta encontrar aquel que tenga una resistencia igual o mayor a la requerida.

Sí se desea agrupar varios elementos estructurales, y ésta es una opción que el paquete de computadora contempla, es

necesario encontrar el perfil de diseño máximo entre todos los perfiles de diseño de cada uno de los elementos del grupo y ése será el perfil de diseño de todo el grupo.

La tabla de perfiles que se utiliza en la subrutina que hace el diseño de la armadura (SUBRUTINA DISAP), forma parte de los datos con que se alimenta el programa de computadora y por lo tanto debe ser formulada por el usuario del paquete.

#### 4. PROGRAMA DE COMPUTADORA EN LENGUAJE FORTRAN

El programa de computadora para obtener la armadura tridimensional óptima ésta dividido en 4 partes, pero integradas en un sólo programa, para facilidad de manejo. Esto evita el uso de archivos internos permanentes y minimiza el manejo externo del paquete.

La lógica general del paquete se muestra en el diagrama de flujo de la figura 1, donde las 4 partes fundamentales del progrema están formadas por los siguientes subprogramas:

- Preprocesador
- Análisis
- Diseño
- Comparación del peso óptimo

El proceso de análisis y diseño es interrumpido cuando la diferencia del peso de la nueva geometría menos el peso de la geometría anterior es menor o cuando mucho igual a un porcentaje del peso de la nueva geometría. Se ha programado un porcentaje igual al 10% pero la experiencia obtenida en el uso del programa, en los análisis que se describirán en el capítulo V, demuestran que la tolerancia puede reducirse aún más, ya que la convergencia se logra rápidamente.

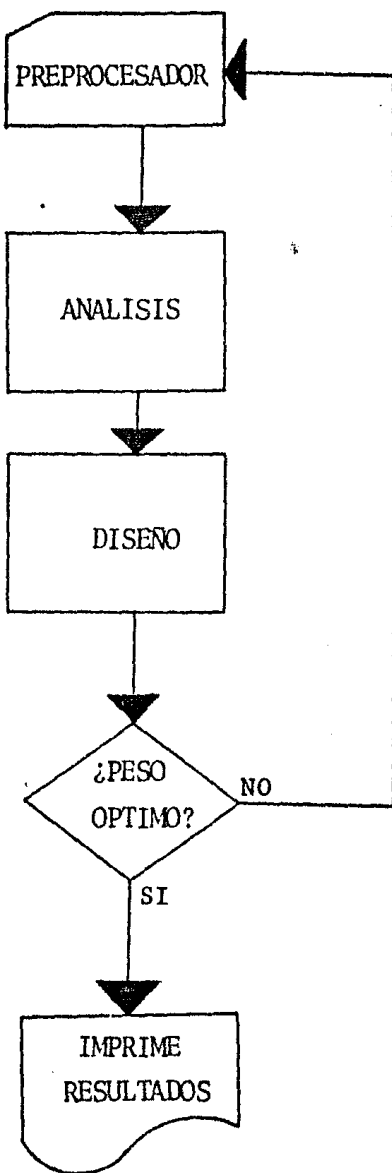
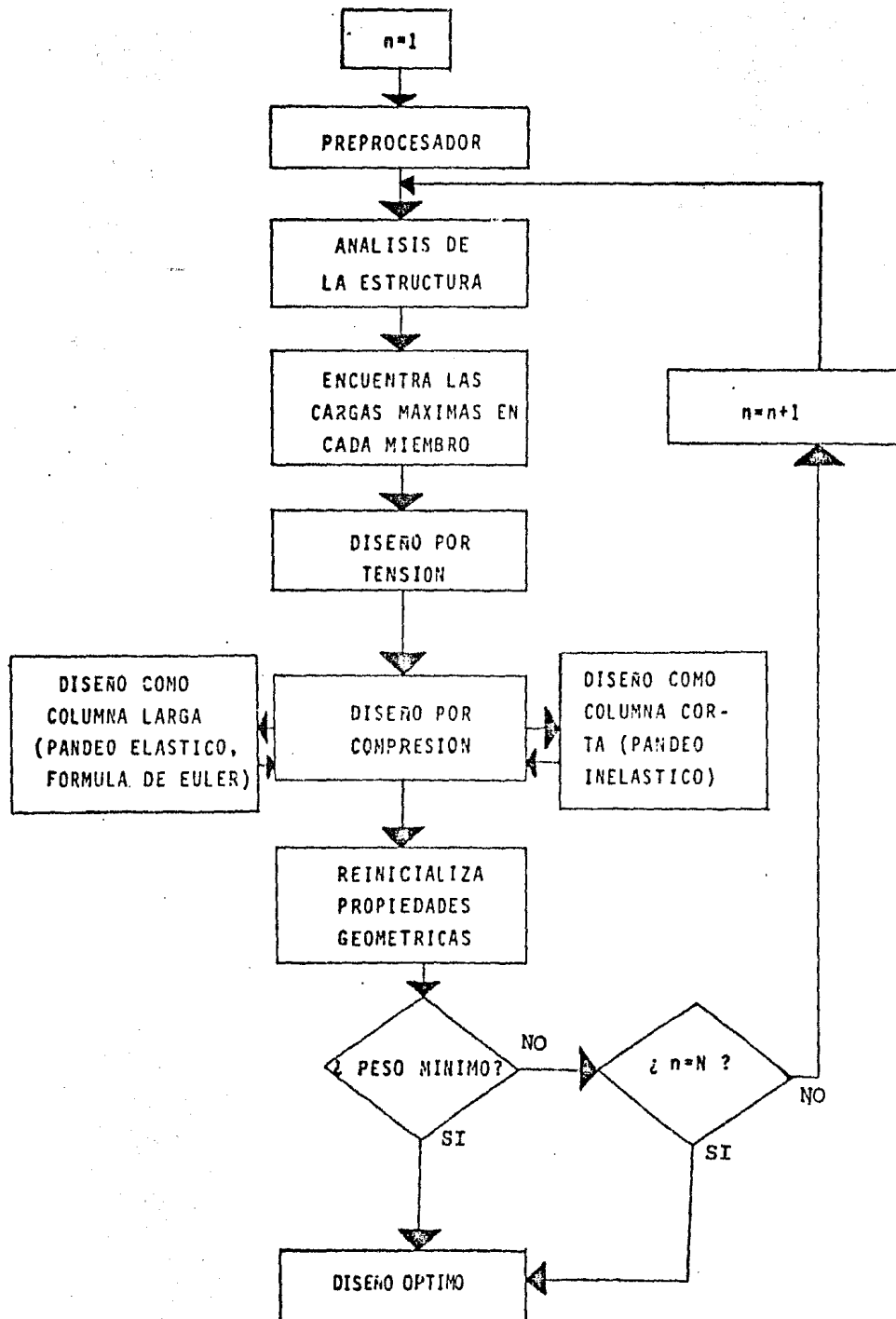


FIGURA 1 Partes fundamentales del paquete de cómputo.

En la figura 2 se presenta un diagrama de bloques más detallado, del paquete de cómputo. El preprocesador acepta los datos del usuario según el manual incluido en el APENDICE B. Además, genera el dimensionamiento preliminar de la armadura evitando al usuario el tener que hacerlo.

El programa de análisis es una adaptación hecha al SAP-IV para análisis general de estructuras (referencia 3). Las adaptaciones consistieron en la eliminación de todas aquellas partes del programa cuyo uso no era necesario, simplificaciones en el manejo de arreglos, introducción de identificadores, para nodos y elementos, no necesariamente ordenados en forma secuencial y una modificación substancial en el programa principal que consistió en la incorporación del proceso iterativo de análisis y diseño. El cuerpo del programa contiene las subrutinas necesarias para la obtención de las reacciones en los apoyos de la armadura, aún cuando ésta opción no está implementada. La idea de estas subrutinas es poder acoplar un programa de diseño de cimentaciones y así introducir el costo de la cimentación en el proceso de optimización de la armadura espacial.

En la subrutina de diseño, como se mencionó anteriormente, se programaron las fórmulas del manual de diseño de obras civiles de la Comisión Federal de Electricidad (referencia 2) y los perfiles listados en la tabla 1, para hacer el



$N$  = Número máximo de iteraciones

FIGURA 2 Diagrama de bloques detallado del paquete de cómputo.

PERFIL	AREA (cm <sup>2</sup> )	RADIO DE GIRO MINIMO (cm)	PESO (kg/m <sup>3</sup> )
A19X48	1.59	0.38	1.25
A22X48	1.90	0.46	1.49
A25X48	2.21	0.48	1.73
A25X63	2.80	0.48	2.22
A32X48	2.81	0.61	2.20
A38X48	3.43	0.74	2.68
A32X63	3.72	0.61	2.86
A04X05	4.03	0.89	3.15
A38X63	4.40	0.74	3.48
A05X05	4.61	1.02	3.63
A04X06	5.20	0.86	4.12
A38X79	5.40	0.74	4.26
A06X05	5.81	1.24	4.61
A05X06	6.06	0.99	4.75
A38X95	6.34	0.74	4.99
A04X08	6.39	0.86	5.04
A05X08	7.42	0.99	5.83
A06X06	7.68	1.24	6.10
A05X10	8.77	0.99	6.99
A08X06	9.29	1.59	7.29
A06X08	9.48	1.22	7.44
A06X10	11.16	1.22	8.78
A08X08	11.48	1.50	9.08
A10X06	12.52	2.01	9.82
A08X10	13.61	1.47	10.72
A10X08	15.48	2.01	12.20
A08X11	15.68	1.47	12.35
A08X13	17.74	1.47	13.99
A10X10	18.45	2.01	14.58
A10X11	21.35	1.98	16.82
A08X16	21.68	1.45	17.11
A13X10	23.29	2.51	18.30
A10X13	24.19	1.98	19.05
A13X11	26.97	2.49	21.28
A15X10	28.13	3.02	22.17
A10X16	29.74	1.95	23.36
A13X13	30.65	2.49	24.11
A15X11	32.65	3.02	25.60
A10X19	35.10	1.95	27.53
A15X13	37.10	3.00	29.17
A14X16	37.81	2.46	29.76
A15X14	41.48	3.00	32.59
A13X19	44.77	2.46	35.12
A15X16	45.87	3.00	36.01
A15X19	54.45	2.97	42.71
A15X22	62.77	2.97	49.26
A15X25	70.97	2.95	55.66
P18X22	78.94	3.50	61.98
P18X25	90.32	3.50	70.84
P18X29	101.70	3.50	79.68
P18X32	112.73	3.50	88.55
P18X38	135.48	3.50	106.26
P18X41	146.86	3.50	115.10
P18X45	158.24	3.50	123.97

TABLA 1 Perfiles utilizados en el ejemplo

diseño, son proporcionados como datos del paquete de cálculo, obteniéndose como resultado final el diseño de cada elemento estructural y el peso de la armadura espacial. En la figura 3 se presenta un diagrama de bloques de ésta subrutina de diseño (SUBRUTINA DISAP).

Para el análisis se emplea el METODO DIRECTO DE LAS RIGIDESES, esto es en general por ser un método rápido y además por tener una mayor aplicabilidad que cualquier otro.

En el diagrama de flujo de la figura 4 se puede notar que el programa principal es el que controla el flujo general de la información. En éste se establece la capacidad de memoria y el número de iteraciones máximas para la obtención de la estructura óptima. Otra de las subrutinas importantes es PREPRO, que es donde se leen los datos de entrada, además es la que se encarga de completar y organizar los datos requeridos y guardar éstos en un archivo.

Después de haber sido leídos los datos, el programa principal se encarga de llamar a las subrutinas pertinentes para continuar con los cálculos para obtener el diseño óptimo. El diseño inicial se define en la subrutina INICIA, donde se asigna una misma área para todos los miembros, área que se va variando de acuerdo con los perfiles que resulten del diseño. Esta variación de diseños se realiza en la subrutina DISAP y con los resultados de ésta se transfiere el control a la subrutina PREPRO. El peso total ob-

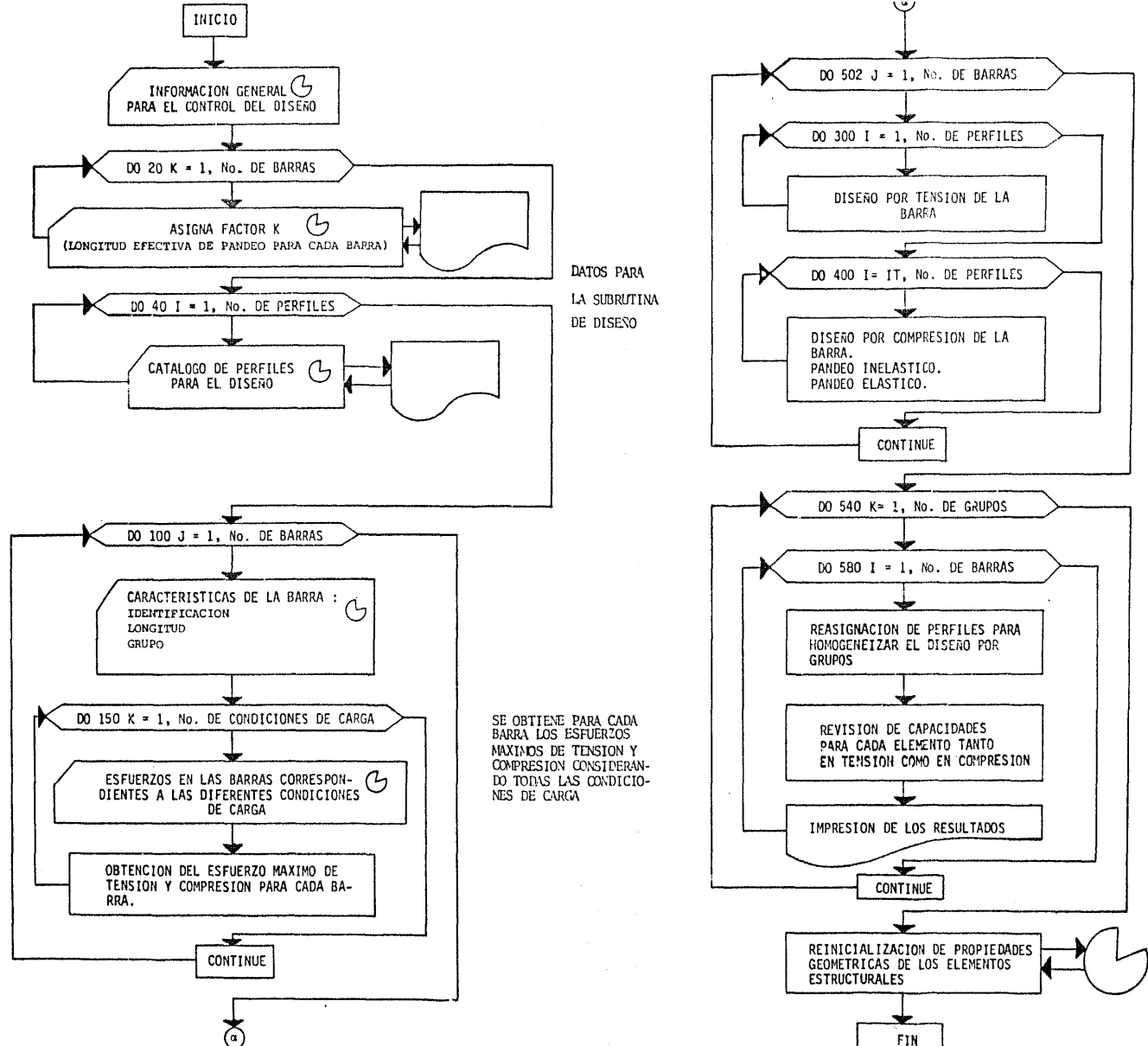


FIGURA 3 DIAGRAMA DE BLOQUES DE LA SUBRUTINA DE DISEÑO ( SUBRUTINA DISAP ).

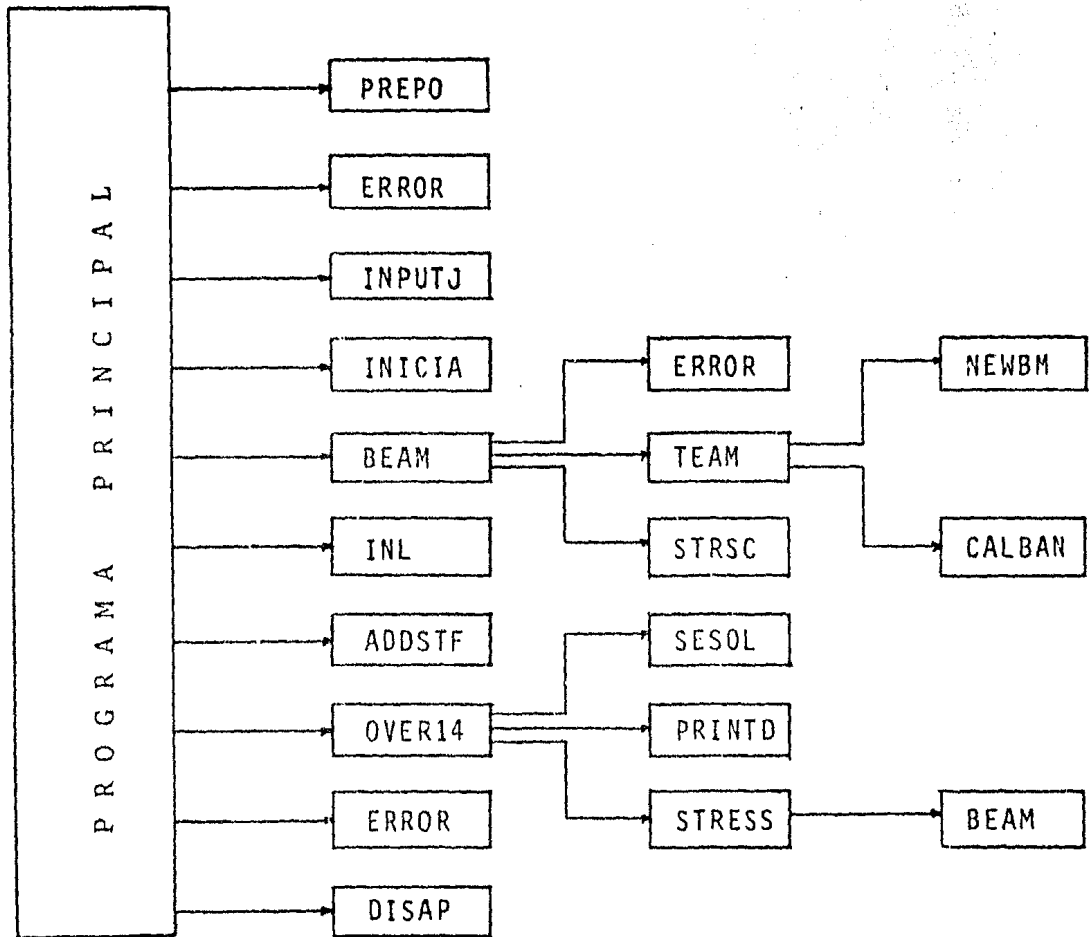


FIGURA 4 DIAGRAMA DE FLUJO GENERAL DEL PROGRAMA

tenido se compara con el que resulta de la iteración anterior, si el cociente de la diferencia del peso nuevo menos el peso anterior entre el peso nuevo resulta mayor que un valor preestablecido, y además no se ha excedido el número máximo de iteraciones, se procederá a realizar otra iteración hasta lograr la convergencia. En el APENDICE D se hace un análisis más detallado de las funciones que realiza cada subrutina.

Todo el paquete esta programado en FORTRAN, poniendo especial cuidado en las incompatibilidades entre sistemas de cómputo. La versión actual ha sido completamente probada en la BURROUGHS-7800 de la UNAM y con un mínimo de modificaciones puede ser adaptada a otro sistema de cómputo. Se mantuvo en todo el programa, donde se considero práctico, el uso de memoria dinámica para el manejo de arreglos. Esto reduce el manejo de memoria en la máquina haciendo que el dimensionamiento de los arreglos se adapte al tamaño de cada problema.

## 5. COMPARACION CON UN DISEÑO EXISTENTE DE LA CFE PARA UNA TORRE DE TRANSMISION (EJEMPLO).

Con el propósito de comprobar el funcionamiento del programa y utilizarlo en una aplicación práctica, se escogió una torre de transmisión tipo XY construida por la CFE como parte de la línea León II-Aguascalientes. Esta armadura espacial se muestra en la figura 1, donde se puede observar la localización de algunos puntos nodales y el sistema global de ejes de referencia. En las figuras 2 y 3 se encuentran definidos los planos que forman la armadura, con los puntos nodales utilizados.

Es necesario definir las coordenadas de los puntos nodales con referencia al sistema global de ejes. Estas coordenadas están tabuladas y se presentan en la tabla 1. El proceso de generación de éstos datos y las conectividades que se encuentran en la tabla 2, es manual. Esto implica que el proceso sea más lento, por lo tanto la programación de un preprocesador adecuado es muy necesaria.

Todos los datos contenidos en las tablas 1 y 2, se alimentan al programa de acuerdo con el manual de usuario del APENDICE B. El programa supone, automáticamente, un diseño

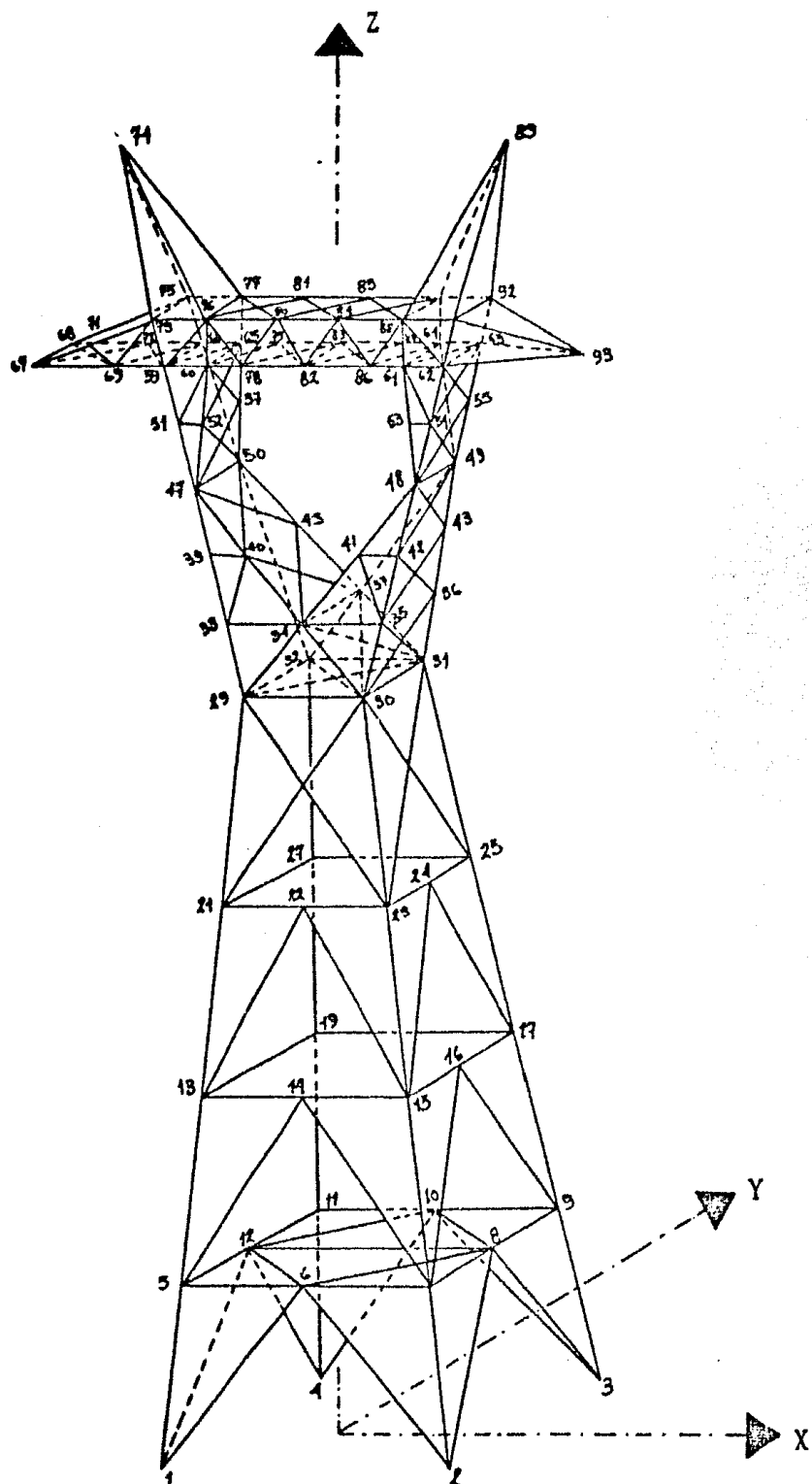


FIGURA 1 Torre XY de la línea León II-Aguascalientes construída por CFE.

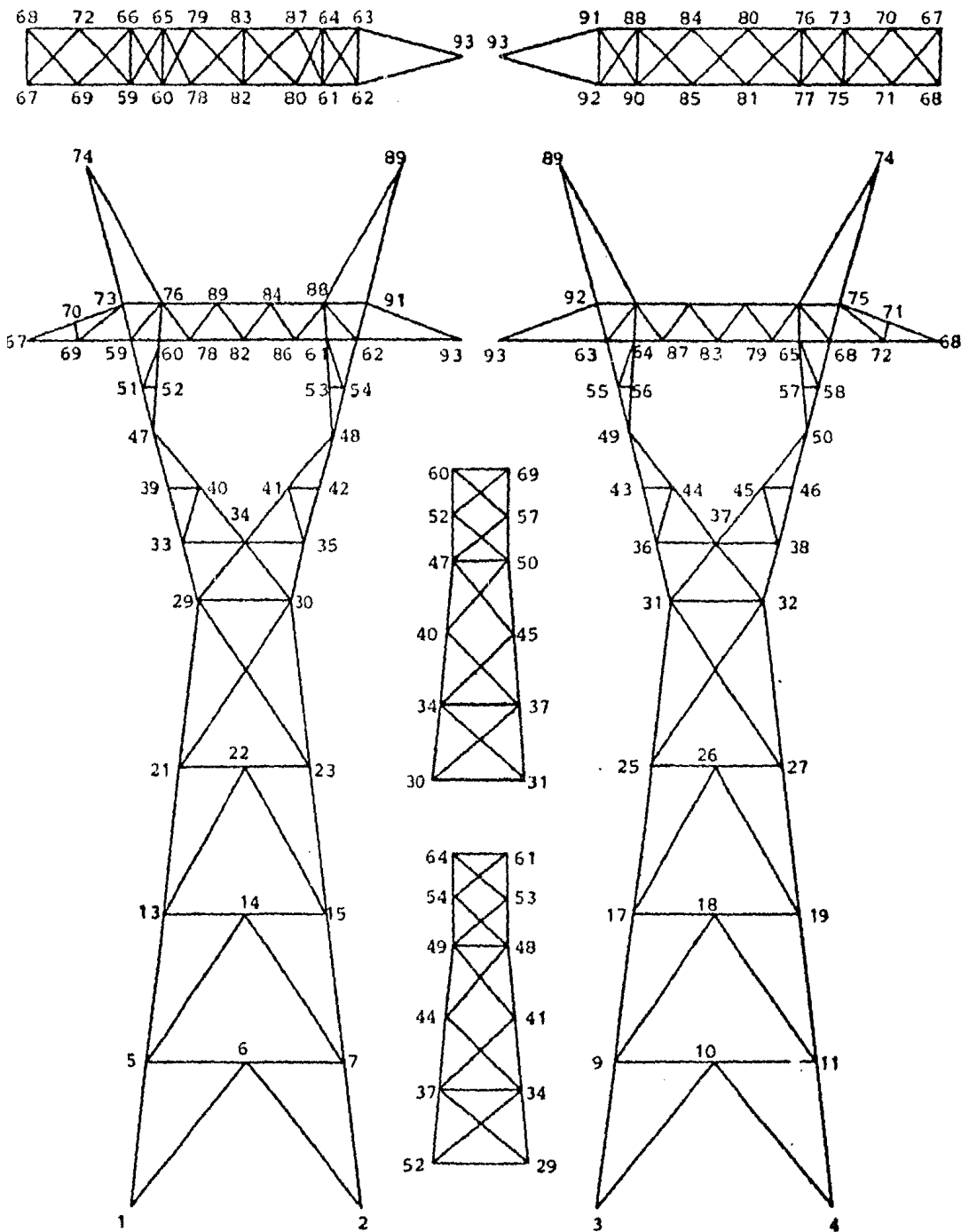


FIGURA 2 Planos principales de la torre tipo XY

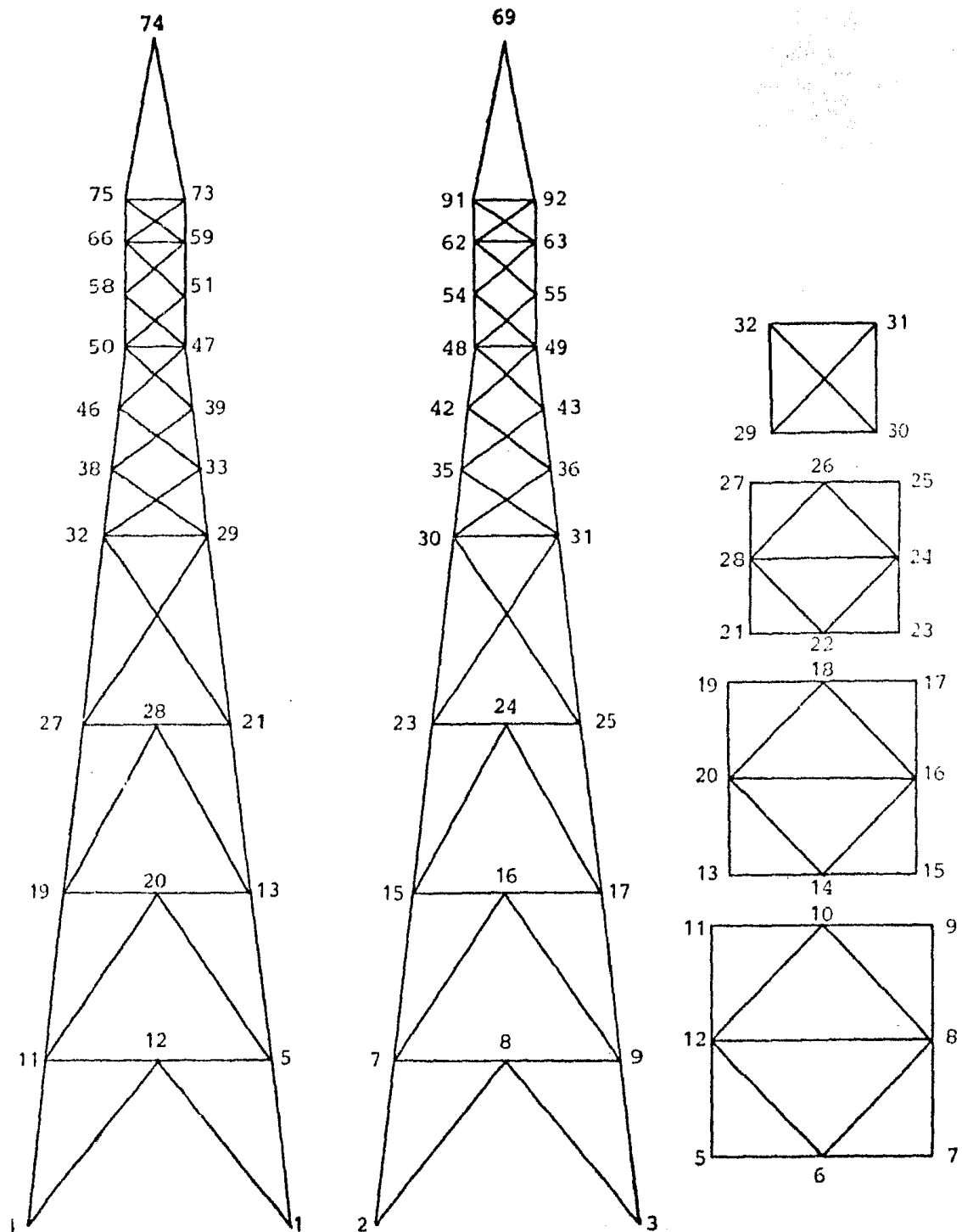


FIGURA 3 Planos laterales de la torre XY

N(*)	X	Y	Z	N	X	Y	Z	N	X	Y	Z	N	X	Y	Z
1	-3.250	-3.250	0.000	26	0.000	1.821	12.000	51	-2.767	-0.750	22.250	76	-2.250	-0.750	24.500
2	3.250	-3.250	0.000	27	-1.821	1.821	12.000	52	-2.348	-0.750	22.250	77	-2.250	0.750	24.500
3	3.250	3.250	0.000	28	-1.821	0.000	12.000	53	2.348	-0.750	22.250	78	-4.500	-0.750	23.500
4	-3.250	3.250	0.000	29	-1.285	-1.285	16.500	54	2.767	-0.750	22.250	79	-1.500	0.750	23.500
5	-2.774	-2.774	4.000	30	1.285	-1.285	16.500	55	2.767	0.750	22.250	80	-0.750	-0.750	24.500
6	0.000	-2.774	4.000	31	1.285	1.285	16.500	56	2.348	0.750	22.250	81	0.750	-0.750	24.500
7	2.774	-2.774	4.000	32	-1.285	1.280	16.500	57	-2.348	0.750	22.250	82	0.000	-0.750	23.500
8	2.774	0.000	4.000	33	-1.672	-1.106	18.000	58	-2.767	0.750	22.250	83	0.000	0.750	23.500
9	2.774	2.774	4.000	34	0.000	-1.106	18.000	59	-3.089	-0.750	23.500	84	0.750	-0.750	24.500
10	0.000	2.774	4.000	35	1.672	-1.106	18.000	60	-2.250	-0.750	23.500	85	0.750	0.750	24.500
11	-2.774	2.774	4.000	36	1.672	1.106	18.000	61	2.250	-0.750	23.500	86	1.500	-0.750	23.500
12	-2.774	0.000	4.000	37	0.000	1.106	18.000	62	3.089	-0.750	23.500	87	1.500	0.750	23.500
13	-2.300	-2.300	8.000	38	-1.672	1.106	18.000	63	3.089	0.750	23.500	88	2.250	-0.750	24.500
14	0.000	-2.300	8.000	39	-2.058	-0.928	19.500	64	2.250	0.750	23.500	89	4.300	0.000	28.200
15	2.300	-2.300	8.000	40	-1.223	-0.928	19.500	65	-2.250	0.750	23.500	90	2.250	0.750	24.500
16	2.300	0.000	8.000	41	1.223	-0.928	19.500	66	-3.089	0.750	23.500	91	3.347	-0.750	24.500
17	2.300	2.300	8.000	42	2.058	-0.928	19.500	67	-6.000	-0.750	23.500	92	3.347	0.750	24.500
18	0.000	2.300	8.000	43	2.058	0.928	19.500	68	-6.000	-0.750	23.500	93	6.000	0.000	23.500
19	-2.300	2.300	8.000	44	-1.223	0.928	19.500	69	-4.545	-0.750	23.500				
20	-2.300	0.000	8.000	45	-1.223	0.928	19.500	70	-4.674	-0.750	24.000				
21	-1.821	1.821	12.000	46	-2.058	0.928	19.500	71	-4.674	0.750	24.000				
22	0.000	-1.821	12.000	47	-2.445	-0.750	21.000	72	-4.545	0.750	23.500				
23	1.821	-1.821	12.000	48	2.445	-0.750	21.000	73	-3.347	-0.750	24.500				
24	1.821	0.000	12.000	49	2.445	0.750	21.000	74	-4.300	0.000	28.200				
25	1.821	1.821	12.000	50	-2.445	0.750	21.000	75	-3.347	0.750	24.500				

(\*)

N = número de nudo

TABLA 1 Coordenadas de los puntos nodales (N)

(\*)

No.	NUDOS	No.	NUDOS																
1	1 - 5	36	11 - 19	71	23 - 24	106	32 - 33	141	41 - 48	176	41 - 48	211	61 - 63	246	68 - 71	281	81 - 83		
2	1 - 6	37	11 - 20	72	23 - 29	107	32 - 34	142	41 - 49	177	52 - 60	212	61 - 64	247	68 - 72	282	81 - 84		
3	1 - 12	38	13 - 14	73	23 - 30	108	32 - 37	143	42 - 48	178	52 - 55	213	61 - 86	248	59 - 70	283	81 - 85		
4	2 - 6	39	13 - 20	74	23 - 31	109	32 - 38	144	42 - 49	179	53 - 54	214	61 - 87	249	69 - 73	284	82 - 83		
5	2 - 7	40	13 - 21	75	24 - 25	110	33 - 34	145	43 - 44	180	53 - 61	215	61 - 63	250	70 - 73	285	82 - 84		
6	2 - 8	41	13 - 22	76	24 - 26	111	33 - 39	146	43 - 48	181	53 - 64	216	62 - 63	251	70 - 75	286	82 - 86		
7	3 - 8	42	13 - 28	77	24 - 28	112	33 - 40	147	43 - 49	182	54 - 61	217	62 - 64	252	71 - 72	287	82 - 87		
8	3 - 9	43	14 - 15	78	25 - 26	113	33 - 46	148	44 - 48	183	54 - 62	218	62 - 88	253	71 - 73	288	83 - 85		
9	3 - 10	44	14 - 16	79	25 - 30	114	34 - 35	149	44 - 49	184	54 - 63	219	62 - 91	254	71 - 75	289	83 - 86		
10	4 - 10	45	14 - 20	80	25 - 31	115	34 - 37	150	45 - 46	185	55 - 56	220	62 - 92	255	72 - 75	290	83 - 87		
11	4 - 11	46	15 - 16	81	25 - 32	116	34 - 40	151	45 - 47	186	55 - 62	221	62 - 93	256	73 - 74	291	84 - 86		
12	4 - 12	47	15 - 22	82	26 - 27	117	34 - 41	152	45 - 47	187	55 - 63	222	63 - 64	257	73 - 75	292	84 - 88		
13	5 - 6	48	15 - 23	83	26 - 28	118	34 - 44	153	46 - 47	188	55 - 64	223	63 - 90	258	73 - 76	293	84 - 90		
14	5 - 12	49	15 - 24	84	27 - 28	119	34 - 45	154	46 - 50	189	56 - 61	224	63 - 91	259	73 - 77	294	85 - 87		
15	5 - 13	50	16 - 17	85	27 - 29	120	35 - 41	155	47 - 50	190	56 - 64	225	63 - 92	260	74 - 75	295	85 - 88		
16	5 - 14	51	16 - 18	86	27 - 31	121	35 - 42	156	47 - 51	191	57 - 58	226	63 - 93	261	74 - 76	296	85 - 90		
17	5 - 20	52	16 - 20	87	27 - 32	122	35 - 43	157	47 - 52	192	57 - 60	227	66 - 86	262	74 - 77	297	86 - 88		
18	6 - 7	53	17 - 18	88	29 - 30	123	36 - 37	158	47 - 57	193	57 - 65	228	64 - 87	263	75 - 76	298	87 - 90		
19	6 - 8	54	17 - 24	89	29 - 31	124	36 - 42	159	47 - 58	194	58 - 59	229	64 - 90	264	75 - 77	299	88 - 89		
20	6 - 12	55	17 - 25	90	29 - 32	125	36 - 43	160	48 - 49	195	58 - 65	230	65 - 66	265	76 - 77	300	88 - 90		
21	7 - 8	56	17 - 26	91	29 - 33	126	36 - 44	161	48 - 53	196	58 - 66	231	65 - 77	266	76 - 78	301	88 - 91		
22	7 - 14	57	18 - 19	92	29 - 34	127	37 - 38	162	48 - 54	197	59 - 60	232	65 - 78	267	76 - 80	302	88 - 92		
23	7 - 15	58	18 - 20	93	29 - 37	128	37 - 40	163	48 - 55	198	59 - 65	233	65 - 79	268	76 - 81	303	89 - 90		
24	7 - 16	59	19 - 20	94	29 - 38	129	37 - 41	164	48 - 56	199	59 - 66	234	66 - 69	269	77 - 79	304	89 - 91		
25	8 - 9	60	19 - 26	95	30 - 31	130	37 - 44	165	49 - 53	200	59 - 69	235	66 - 72	270	77 - 80	305	89 - 92		
26	8 - 10	61	19 - 27	96	30 - 32	131	37 - 45	166	49 - 54	201	59 - 72	236	66 - 73	271	77 - 81	306	90 - 91		
27	8 - 12	62	19 - 28	97	30 - 36	132	38 - 39	167	49 - 55	202	59 - 73	237	66 - 75	272	78 - 80	307	90 - 92		
28	9 - 10	63	21 - 22	98	30 - 35	133	38 - 45	168	49 - 56	203	59 - 75	238	66 - 77	273	78 - 82	308	91 - 92		
29	9 - 16	64	21 - 28	99	30 - 36	134	38 - 46	169	50 - 51	204	59 - 76	239	67 - 68	274	78 - 83	309	91 - 93		
30	9 - 17	65	21 - 29	100	30 - 37	135	39 - 40	170	50 - 52	205	60 - 65	240	67 - 69	275	79 - 81	310	92 - 93		
31	9 - 18	66	21 - 30	101	31 - 32	136	39 - 47	171	50 - 57	206	60 - 66	241	67 - 70	276	79 - 82				
32	10 - 11	67	21 - 32	102	31 - 34	137	39 - 50	172	50 - 58	207	60 - 76	242	67 - 71	277	79 - 83				
33	10 - 12	68	22 - 23	103	31 - 35	138	40 - 47	173	51 - 52	208	60 - 78	243	67 - 72	278	80 - 82				
34	11 - 12	69	22 - 24	104	31 - 36	139	40 - 50	174	51 - 59	209	60 - 79	244	68 - 69	279	80 - 84				
35	11 - 18	70	22 - 28	105	31 - 37	140	41 - 42	175	51 - 60	210	61 - 62	245	68 - 70	280	80 - 85				

(\*)

No. = número de elemento

TABLA 2 CONECTIVIDADES DE LOS ELEMENTOS  
QUE FORMAN LA ARMADURA ESPACIAL.

preliminar y analiza la armadura para encontrar las fuerzas internas. Posteriormente diseña con éstas fuerzas y procede a reanalizar con las secciones recién obtenidas. El proceso continúa hasta obtener un peso óptimo, según se describió en el capítulo anterior.

La convergencia a la solución a través del programa de computadora, es muy buena y para éste ejemplo se necesitaron solamente 2 iteraciones.

Los resultados del análisis y diseño de la armadura, obtenidos con el programa, se pueden consultar en el APENDICE C.

No fué posible hacer una comparación elemento a elemento, por no haberse encontrados disponibles los planos estructurales de la armadura espacial.

## 6. CONCLUSIONES

El análisis y diseño de armaduras espaciales, altamente hiperestáticas, es un proceso largo que justifica plenamente su automatización. Una vez programado el proceso iterativo análisis-diseño, el diseñador puede dedicarse a buscar la mejor solución geométrica para llenar las necesidades específicas de un diseño tipo. El análisis y diseño manual es en cambio tan laborioso que el diseñador se conformaría con la utilización modificada de un diseño existente de referencia. Esto, obviamente, redundaría en una armadura más costosa e implica que la penalización, por usar métodos manuales, sea muy grande.

Un paquete de cómputo, como el que aquí se presenta, permite entonces ahorros sustanciales, en costo, al usuario mismo. Además le permite explorar nuevas configuraciones geométricas, lo cuál sin un programa de computadora sería poco práctico de hacer.

Una ventaja adicional de contar con un sistema automatizado, es que es posible construir un catálogo de diseños tipo para armaduras espaciales, en las diferentes condiciones que se necesiten. Al formar el catálogo el diseñan-

## REFERENCIAS

1. Richard M. White, Peter Gergely and Robert G. Sexsmith. Indeterminate structures. Structural engineering vol. 2. The direct stiffness method (chapter 15), pp 207-243. Editorial John Wiley and Sons, New york.
2. Manual de diseño de obras civiles. Comisión Federal de Electricidad (1969).
3. K. J. Bathe, E. L. Wilson and F. E. Peterson. "SAP IV - structural analysis program for static and dynamic response of linear systems", report EERC 73-11, college of engineering, University of California, Berkeley, june 1973. Revised april 1974.
4. L. C. Lo David, Morcos Andrew and K. Goel Surendra. "Use of computers in transmission tower design", Vol. 101, Num. ST-7, jul-sept 1975. ASCE, Journal of structural division, pp 1443-1453.
5. W. Beaufait Fred, H. Rowan William Jr., G. Headley Peter and Hacket Robert. "Computer methods of structural analysis". Prentice Hall incorporation, Englewood Cliffs, New Jersey (1970).
6. W. Beaufait Fred. "Basic concepts of structural analysis". Englewoods Cliffs, New Jersey. Prentice Hall inc. (1977).

**APENDICE A LISTADO DEL PROGRAMA DE COMPUTADORA  
EN LENGUAJE FORTRAN**

```

100  $RESET FREE
200  FILE 1 =A,UNIT=DISK,AREA=100,RECORD=100,LINKWORD
300  FILE 2 =B,UNIT=DISK,AREA=100,RECORD=100,LINKWORD
400  FILE 3 =C,UNIT=DISK,AREA=100,RECORD=100,LINKWORD
500  FILE 4 =D,UNIT=DISK,AREA=100,RECORD=100,LINKWORD
600  FILE 6=(KIND=PRINTER,MAXRECSIZE=22)
700  FILE 7 =G,UNIT=DISK,AREA=100,RECORD=100,LINKWORD
800  FILE 8 =H,UNIT=DISK,AREA=100,RECORD=100,LINKWORD
900  FILE 9 =I,UNIT=DISK,AREA=100,RECORD=100,LINKWORD
1000 FILE 10=J,UNIT=DISK,AREA=100,RECORD=100,LINKWORD
1100 FILE 11=K,UNIT=DISK,AREA=100,RECORD=100,LINKWORD
1200 FILE 12=L,UNIT=DISK,AREA=100,RECORD=100,LINKWORD
1300 FILE 13=M,UNIT=DISK,AREA=100,RECORD=100,LINKWORD
1400 FILE 15=TORRE/ESPAÑOLA,UNIT=DISK,AREA=100,RECORD=100,LINKWORD
1500 COMMON /JUNK/ XJUK(19) 00000100
1600 COMMON /ELPAR/ NPAR(4),NUMNP,MBAND,NELTYP,N1,N2, 00000200
1700 *          N3,N4,NS,MTOT,NEQ 00000300
1800 COMMON / EM/000(362),NITER 00000400
1900 COMMON/SOL/ NBLOCK,NEQB,LL,NCID,NCIF 00000500
2000 DIMENSION T(7),TITULO(14) 00000600
2100 REAL NORM 00000700
2200 C
2300 C   LA CAPACIDAD DEL PROGRAMA ESTA CONTROLADA POR LAS 2 PROPOSICIONES 00000800
2400 C   SIGUIENTES. 00000900
2500 C
2600 COMMON A(15000) 00001000
2700 50 MTOT=15001 39
2800 NMAXIT=2
2900 NITER=0
3000 WTOT=0.
3100 TOL=0.1
3200 TTT=0.0
3300 CALL PREPRO(TITULO,NPAR2)
3400 C
3500 100 NELTYP=1 00001500
3600 N1=1 00001600
3700 C
3800 C   DATOS DE CONTROL DEL PROGRAMA. 00001700
3900 C
4000 CALL SECOND( T(1)) 00001800
4100 READ (13) NUMNP,LL 00001900
4200 IF(NITER .NE. 0)GO TO 150 00002000
4300 WRITE(6,199) (TITULO(IS),IS=1,14) 00002100
4400 WRITE(6,200) NPAR2,NUMNP,LL 00002200
4500 150 CONTINUE 00002300
4600 C
4700 C   ENTRADA DE LOS DATOS DE LOS NUDOS DE LA ESTRUCTURA. 00002400
4800 C
4900 N2=N1+6*NUMNP 00002500
5000 N3=N2+NUMNP 00002600
5100 N4=N3+NUMNP 00002700
5200 N5=N4+NUMNP 00002800
5300 N6=N5+NUMNP 00002900
5400 IF(N6.GT.MTOT)CALL ERROR(N6-MTOT) 00003000
5500 C
5600 CALL INPUTJ(A(N1),A(N2),A(N3),A(N4),A(N5),NUMNP,NEQ,NITER) 00003100
5700 C

```

5800 C FORMACION DE LOS ELEMENTOS DE LA MATRIZ DE RIGIDEZ. 000005800  
 5900 C CALL SECOND(T(2)) 000005900  
 6000 C 00006000  
 6100 C 00006100  
 6200 C 00006200  
 6300 C 00006300  
 6400 C 00006400  
 6500 C 00006500  
 6600 C 00006600  
 6700 C 00006700  
 6800 C 00006800  
 6900 C 00006900  
 7000 C 00007000  
 7100 C 00007100  
 7200 C 00007200  
 7300 C 00007300  
 7400 C 00007400  
 7500 C 00007500  
 7600 C 00007600  
 7700 C 00007700  
 7800 C 00007800  
 7900 C DETERMINACION DEL TAMAÑO DE UN BLOQUE. 00007900  
 8000 C 00008000  
 8100 C 00008100  
 8200 C 00008200  
 8300 C 00008300  
 8400 C 00008400  
 8500 C 00008500  
 8600 C 00008600  
 8700 C 00008700  
 8800 C 00008800  
 8900 C 00008900  
 9000 C ENTRADA DE LAS CARGAS APLICADAS EN LOS NUDOS DE LA ESTRUCTURA. 00009000  
 9100 C 00009100  
 9200 C 00009200  
 9300 C 00009300  
 9400 C 00009400  
 9500 C 00009500  
 9600 C 00009600  
 9700 C 00009700  
 9800 C 00009800  
 9900 C 00009900  
 10000 C 00010000  
 10100 C 00010200  
 10200 C 00010300  
 10300 C 00010400  
 10400 C 00010500  
 10500 C 00010600  
 10600 C 00010700  
 10700 C 00010800  
 10800 C 00010900  
 10900 C 00011000  
 11000 C 00011100  
 11100 C 00011200  
 11200 C 00011300  
 11300 C 00011400  
 11400 C 00011500  
 11500 C 00011600  
 11600 C 00011700  
 11700 C CALL OVER14

```

11800      CALL SECOND(T(6))          00011800
11900      C                         00011900
12000      C                         00012000
12100      C                         00012100
12200      N2=N1 + &NPAR(2)          00012200
12300      N3=N2 + NPAR(2)          00012300
12400      N4=N3 + NPAR(2)          00012400
12500      N5=N4 + NPAR(2)          00012500
12600      N6=N5 + NPAR(2)          00012600
12700      N7=N6 + NPAR(2)          00012700
12800      N8=N7 + NPAR(2)          00012800
12900      N9=N8 + NPAR(2)          00012900
13000      N10=N9+NPAR(2)          00013000
13100      IF(N10 .GT. MTOT)CALL ERROR(N10-MTOT) 00013100
13200      CALL DISAP(A(N1),A(N2),A(N3),A(N4),A(N5),A(N6),A(N7),A(N8),A(N9), 00013200
13300      *                           WTOTN,NPAR(2),NITER) 00013300
13400      CALL SECOND(T(7))          00013400
13500      C                         00013500
13600      C                         CALCULO E IMPRESION DE LOS TIEMPOS EMPLEADOS EN LA SOLUCION DEL 00013600
13700      C                         PROBLEMA. 00013700
13800      C                         00013800
13900      TT=0.0                      00013900
14000      DO 300 I=1,6              00014000
14100      T(I) = T(I+1)-T(I)        00014100
14200      TT = TT + T(I)          00014200
14300      300 CONTINUE             00014300
14400      TTT=TTT + TT            00014400
14500      WRITE(6,203) (T(K),K=1,6),TT,TTT 00014500
14600      C                         00014600
14700      C                         OPTIMIZACION 00014700
14800      C                         00014800
14900      NORM=ABS(WTOT-WTOTN)/WTOTN 00014900
15000      IF(NORM .LT. TOL) CALL EXIT 00015000
15100      NITER=NITER+1           00015100
15200      IF(NITER .EQ. NMAXIT) CALL EXIT 00015200
15300      WTOT=WTOTN             00015300
15400      REWIND 13                00015400
15500      C                         00015500
15600      GO TO 100               00015600
15700      199 FORMAT(1H1,30(/),25X,13A6,A2) 00015700
15800      200 FORMAT(1H1//),
15900      1 4X,39H I N F O R M A C I O N   G E N E R A L //,4X, 00015800
16000      2 /'NUMERO DE MIEMBROS'     =',15 / 4X, 00015900
16100      3 /'NUMERO DE PUNTOS NODALES' =',15 / 4X, 00016000
16200      4 /'NUMERO DE CASOS DE CARGA' =',15) 00016100
16300      201 FORMAT(1H1//),
16400      1   5X,'P A R A M E T R O S D E L A S   E C U A C I O N E S ', 00016200
16500      2 //5X,'NUMERO TOTAL DE ECUACIONES'      =',15, 00016300
16600      3 /5X,'ANCHO DE SEMIBANDA'      =',15, 00016400
16700      4 /5X,'NUMERO DE ECUACIONES EN UN BLOQUE' =',15, 00016500
16800      5 /5X,'NUMERO DE BLOQUES'       =',15) 00016600
16900      203 FORMAT(1H1//,
17000      * 5X,'T I E M P O S (SEGUNDOS) E M P L E A D O S E N L A ', 00016700
17100      *'S O L U C I O N D E L P R O B L E M A //, 00016800
17200      * 5X,'LECTURA DE LOS DATOS DE LOS PUNTOS NODALES'      =',F8.2/, 00016900
17300      * 5X,'FORMACION DE LOS ELEMENTOS DE LA MATRIZ DE RIGIDEZ' =',F8.2/, 00017000
17400      * 5X,'LECTURA Y FORMACION DE LA MATRIZ DE CARGAS'      =',F8.2/, 00017100
17500      * 5X,'FORMACION DE MATRIZ DE RIGIDEZ DE LA ESTRUCTURA' =',F8.2/, 00017200
17600      * 5X,'SOLUCION DEL SISTEMA DE ECUACIONES (ANALISIS)'    =',F8.2/, 00017300
17700      * 5X,'DISENO'                  =',F8.2/ 00017400
                                         , 00017500
                                         , 00017600
                                         , 00017700

```

```

17800      * 5X, 'SUMA DE LOS TIEMPOS ANTERIORES(6)          =',F8.2/
17900      * 5X, 'SUMA DE LOS TIEMPOS DE EJECUCION DE CADA ITERACION  =',F8.2/
18000      END
18100      SUBROUTINE INPUTJ (ID,X,Y,Z,ICLF,NUMNP,NEQ,NITER)
18200      C
18300      DIMENSION X(1),Y(1),Z(1),ID(NUMNP,6),ICLF(NUMNP),IDT(6)
18400      C      LECTURA DE LOS DATOS QUE DEFINEN A LOS PUNTOS NODALES DE LA
18500      C      ESTRUCTURA.
18600      C
18700      IF(NITER.EQ.0)WRITE(6,2000)
18800      NL=0
18900      NCLF=0
19000      10 READ(13)N, IDT, XCLF, YCLF, ZCLF
19100      NCLF=NCLF+1
19200      ICLF(NCLF)=N
19300      N=NCLF
19400      DO 12 I=1,6
19500      12 ID(N,I)=IDT(I)
19600      X(N)=XCLF*100.
19700      Y(N)=YCLF*100.
19800      Z(N)=ZCLF*100.
19900      IF(NL.LE.49)GO TO 20
20000      WRITE(6,2000)
20100      NL=0
20200      20 IF(NITER.NE.0)GO TO 30
20300      TIPO=6H
20400      IF(ID(N,1).EQ.0)GO TO 25
20500      TIPO=6H AF0YO
20600      25 WRITE(6,2002) ICLF(N),X(N),Y(N),Z(N),TIPO
20700      NL=NL+1
20800      30 CONTINUE
20900      IF(N.NE.NUMNP)GO TO 10
21000
21100      C      DETERMINACION DEL NUMERO DE INCOCNITAS.
21200      C
21300      NEQ=0
21400      DO 60 N=1,NUMNP
21500      DO 60 I=1,6
21600      IF(ID(N,I)-1)57,58,58
21700      57 NEQ=NEQ+1
21800      ID(N,I)=NEQ
21900      GO TO 60
22000      58 ID(N,I)=0
22100      60 CONTINUE
22200      REWIND 8
22300      WRITE(8) ID
22400      REWIND 11
22500      WRITE(11)ICLF
22600
22700      C      RETURN
22800
22900      2000 FORMAT(1H1, //5X, 'DATOS DE LOS PUNTOS NODALES', //,
23000      *5X, 'NUDO      COORDENADAS(CMS)', //,
23100      *5X, '           X      Y      Z', //)
23200      2002 FORMAT(5X,14,3F8.2,A6)
23300      END
23400      SUBROUTINE BEAM(NCIF)
23500
23600      COMMON/ELPAR/NPAR(4),NUMNP,MBAND,NELTYP,N1,N2,N3,N4,N5,MTOT,NEQ
23700      COMMON /JUNK/ LT,LH,L,SIG(12),N6,N7,N8,N9

```

23500 C COMMON /JUNK/
 23600
 23700 C IF(NPAR(1).EQ.0) GO TO 500
 23800 N6=N5+NPAR(4)
 23900 N7=N6+NPAR(4)
 24000 N3=N7+6\*NPAR(3)
 24100 N9=N8+NPAR(4)
 24200 N10=N9+NUMNP
 24300 IF(N10.GT.MTOT)CALL ERROR(N10-MTOT)
 24400
 24500 C CALL TEAM(NPAR(2),NPAR(3),NPAR(4),A(N1),A(N2),A(N3),
 \*A(N4),A(N5),A(N6),A(N7),A(N8),A(N9),NUMNP,MBAND)
 24600
 24700 C RETURN
 24800
 24900 C
 25000 500 IF(NCIF.EQ.0)WRITE(6,2002)
 25100 NL=0
 25200 NUME=NPAR(2)
 25300 C ESTE REWIND DEBERA SER ELIMINADO MAS ADELANTE
 25400
 25500 C REWIND 10
 25600 DO 600 MM=1,NUME
 25700 CALL STRSC (A(N2),NEQ,0)
 25800 IF(NCIF.NE.0)GO TO 600
 25900 WRITE(6,2001)
 26000 NL=NL+2
 26100 IF(NL.LE.50-(LH-LT+1))GO TO 600
 26200 WRITE(6,2002)
 26300 NL=0
 26400
 26500 C CONTINUE
 26600 READ(11)IECLF,XLCLF,NIG
 26700 DO 600 L=LH,LH
 26800 CALL STRSC (A(N2),NEQ,1)
 26900 IF(NCIF.EQ.0)WRITE(6,3002)IECLF,L,XLCLF,SIG(7)
 27000 NL=NL+1
 27100
 27200 C GUARDA LAS FUERZAS EN UN ARCHIVO EN DISCO.
 27300
 27400 C WRITE(10)IECLF,XLCLF,SIG(7),NIG
 27500
 27600 C CONTINUE
 27700 600 RETURN
 27800
 27900 C
 28000 2001 FORMAT(/)
 28100 2002 FORMAT(1H1,///,
 1 5X, 'FUERZAS AXIALES EN LOS MIEMBROS',//,
 2 5X, 'MIEMBRO CONDICION LONGITUD FUERZA AXIAL (KG)//,
 3 5X, 'NUMERO DE CARGA (CM) (POSITIVA ES TENSION)'))
 28200
 28300 3002 FORMAT(7X,15.6X,15,F10.2,6X,F15.0)
 28400
 28500 END
 28600 SUBROUTINE INL(ID,B,TR,ICLF,NUMNP,NEQB,LL,NITER)
 28700
 28800 C ENTRADA DE LAS CARGAS APLICADAS EN LOS NUDOS DE LA ESTRUCTURA.
 28900
 29000 C DIMENSION ID(NUMNP,6),B(NEQB,LL),TR(6,LL),ICLF(NUMNP)
 29100 COMMON / JUNK / R(6)
 29200
 29300 C REWIND 11
 29400 READ(11) ICLF
 29500 NT=3
 29600 REWIND NT
 29700

```

29800      KSHF=0          00029800
29900      DO 750 I=1,NEQB 00029900
30000      DO 750 K=1,LL  00030000
30100      750 B(I,K)=0.0 00030100
30200      C   IF(NITER.EQ.0)WRITE(6,2000) 00030200
30300      NL=0            00030300
30400      DO 900 NN=1,NUMNP 00030400
30500      DO 900 NN=1,NUMNP 00030500
30600      C   DO 100 I=1,6 00030600
30700      DO 100 J=1,LL  00030700
30800      100 TR(I,J)=0.0 00030800
30900      C   IF(NN.EQ.1)GO TO 300 00030900
31000      150 IF(N,NE,NN)GO TO 400 00031000
31100      DO 200 I=1,6 00031100
31200      TR(I,L) =R(I) 00031200
31300      DO 200 I=1,6 00031300
31400      200 CONTINUE 00031400
31500      300 READ(13)N,L,R(1),R(2),R(3) 00031500
31600      R(4)=0.          00031600
31700      R(5)=0.          00031700
31800      R(6)=0.          00031800
31900      IF(N .EQ. 0) GO TO 150 00031900
32000      NCLF=N           00032000
32100      DO 320 KCL=1,NUMNP 00032100
32200      N=KCL            00032200
32300      N=NCLF           00032300
32400      IF(NCLF.EQ.1)CLS(KCL))GO TO 330 00032400
32500      320 CONTINUE 00032500
32600      330 IF(NITER.NE.0)GO TO 150 00032600
32700      IF(L,NE,1)GO TO 340 00032700
32800      WRITE(6,2002) 00032800
32900      NL=NL+2           00032900
33000      IF(NL,LE,50-LL)GO TO 340 00033000
33100      WRITE(6,2000) 00033100
33200      NL=0              00033200
33300      340 WRITE(6,2001)NCLF,L,R(1),R(2),R(3) 00033300
33400      NL=NL+1           00033400
33500      GO TO 150           00033500
33600      C   400 DO 800 J=1,6 00033600
33700      II=ID(NN,J)-KSHF 00033700
33800      IF(II)800,800,500 00033800
33900      500 DO 600 K=1,LL 00033900
34000      600 B(II,K)=TR(J,K) 00034000
34100      610 IF(II,NE,NEQB)GO TO 800 00034100
34200      WRITE(NT) B        00034200
34300      KSHF=KSHF+NEQB 00034300
34400      DO 700 I=1,NEQB 00034400
34500      DO 700 I=1,NEQB 00034500
34600      DO 700 K=1,LL  00034600
34700      700 B(I,K)=0.0 00034700
34800      800 CONTINUE 00034800
34900      900 CONTINUE 00034900
35000      C   WRITE(NT) B 00035000
35100      C   RETURN 00035100
35200      C   2000 FORMAT(1H1,//,5X,'D A T O S D E L A S C A R G A S',//, 00035200
35300      * 5X,'NUDO NO. DE CONDICION 00035300
35400      * 5X,' DE CARGA 00035400
35500      2001 FORMAT(4X,I5,13X,I5,3F10.2) 00035500
35600      * 5X,' 00035600
35700      2001 FORMAT(4X,I5,13X,I5,3F10.2) 00035700

```

```

35800      2002 1.GRANT/77
35900      END
36000      SUBROUTINE ERROR(N)
36100      WRITE(6,2000) N
36200      2000 FORMAT(//,'LA CAPACIDAD DE ALMACENAMIENTO (VALOR DE MTOT EN EL PRO
36300      *GRAMA PRINCIPAL) ES EXCEDIDO POR',I6)
36400      STOP
36500      END
36600      SUBROUTINE ADDSTF(A,B,STR,NUMEL,NBLOCK,NE2B,LL,MBAND)
36700      C
36800      C   AGRUPA LAS ECUACIONES DE EQUILIBRIO (GLOBALES) EN BLOQUES.
36900      C
37000      C   DIMENSION A(NE2B,MBAND),B(NE2B,LL),STR(4,LL),SS(1)
37100      C
37200      C   COMMON /EM/ LRD,ND,LN(204)
37300      C
37400      C   EQUIVALENCE (SS,ND )
37500      C
37600      NEQB=NE2B/2
37700      K=NEQB+1
37800      X=NBLOCK
37900      MB=SORT(X)
38000      MB=MB/2+1
38100      NEBB=MB*NE2B
38200      MM=1
38300      NSHIFT=0
38400      REWIND 3
38500      REWIND 4
38600      REWIND 9
38700      C
38800      C   MULTIPLICADORES DE CARGAS DE ELEMENTOS
38900      C
39000      WRITE(6,2000)
39100      DO 50 L=1,LL
39200      STR(1,L)=0.0
39300      DO 40 I=2,4
39400      40 STR(I,L)=0.
39500      IF(STR(1,L).EQ.0.0)GO TO 50
39600      WRITE(6,2100) L
39700      50 CONTINUE
39800      C
39900      C   AGRUPA LAS ECUACIONES EN BLOQUES. ( 2 BLOQUES AL MISMO TIEMPO).
40000      C
40100      DO 1000 M=1,NBLOCK,2
40200      DO 100 I=1,NE2B
40300      DO 100 J=1,MBAND
40400      100 A(1,J)=0.0
40500      READ(3)((B(I,L),I=1,NEQB),L=1,LL)
40600      IF(M.EQ.NBLOCK) GO TO 200
40700      READ(3)((B(I,L),I=K,NE2B),L=1,LL)
40800      200 CONTINUE
40900      C
41000      REWIND 7
41100      REWIND 2
41200      NA=7
41300      NUME=NUM7
41400      IF(MM.NE.1) GO TO 75
41500      NA=2
41600      NUME=NUMEL
41700      NUM7=0

```

```

41800      C      75 DO 700 N=1,NUME          00041800
41900      READ(NA) LRD,(SS(I),I=1,LRD)    00041900
42000      DO 600 I=1,ND                  00042000
42100      LMN=1-LM(I)                   00042100
42200      II=LM(I)-NSHIFT                00042200
42300      IF(II.LE.0 .OR. II.GT.NE2B) GO TO 600 00042300
42400      DO 300 L=1,LL                  00042400
42500      DO 300 J=1,4                  00042500
42600      DO 300 J=1,4                  00042600
42700      KK=ND*(ND+J)+1               00042700
42800      300 B(II,L)=B(II,L)+SS(I+KK)*STR(J,L) 00042800
42900      DO 500 J=1,ND                  00042900
43000      JJ=LM(J)+LMN                 00043000
43100      IF(JJ)500,500,390             00043100
43200      390 KK=ND *J+1               00043200
43300      400 A(II,JJ)=A(II,JJ)+SS(I+KK)   00043300
43400      500 CONTINUE                 00043400
43500      600 CONTINUE                 00043500
43600      C      DEFINE SI LA MATRIZ DE RIGIDEZ DEBE SER GUARDADA EN UN ARCHIVO 00043600
43700      C      EN DISCO.                  00043700
43800      C      00043800
43900      C      00043900
44000      IF(MM .GT.1) GO TO 700          00044000
44100      DO 650 I=1,ND                  00044100
44200      11=LM(I)-NSHIFT                00044200
44300      IF(II.GT.NE2B.AND.II.LE.NEBB) GO TO 660 00044300
44400      650 CONTINUE                 00044400
44500      GO TO 700                   00044500
44600      660 WRITE(7) LRD,(SS(I),I=1,LRD) 00044600
44700      NUM7=NUM7+1                  00044700
44800      C      6700 CONTINUE                 00044800
44900      DO 710 L=1,NEQB                00044900
45000      IF(A(L,1).EQ.0.) A(L,1)=1.E+20 00045000
45100      710 CONTINUE                 00045100
45200      WRITE(4) ((A(I,J),I=1,NEQB),J=1,MBAND) 00045200
45300      00045300
45400      C      720 CONTINUE                 00045400
45500      IF(M_EQ.NBLOCK) GO TO 1000    00045500
45600      DO 720 L=K,NE2B                00045600
45700      IF(A(L,1).EQ.0.) A(L,1)=1.E+20 00045700
45800      720 CONTINUE                 00045800
45900      WRITE(4)((A(I,J),I=K,NE2B),J=1,MBAND),((B(I,L),I=K,NE2B),L=1,LL) 00045900
46000      C      00046000
46100      IF(MM.EQ.MB)MM=0              00046100
46200      MM=MM+1                     00046200
46300      1000 NSHIFT=NSHIFT+NE2B       00046300
46400      C      00046400
46500      RETURN                      00046500
46600      2000 FORMAT(//)                00046600
46700      2100 FORMAT(5X,'***** PARA EL CASO DE CARGA',I5,/, 00046700
46800      * 5X,' SE CONSIDERA EL PESO PROPIO DE LA ESTRUCTURA *****',/) 00046800
46900      END                         00046900
47000      SUBROUTINE PRINTD(ID,B,B,ICLF,NEQB,NUMNP,LL,NBLOCK,NEQ,NT,NCID) 00047000
47100      C      00047100
47200      DIMENSION ID(NUMNP,6),B(NEQB,LL),B(6,LL),ICLF(NUMNP) 00047200
47300      C      00047300
47400      REWIND 11                      00047400
47500      READ(11)ICLF                 00047500
47600      REWIND 8                      00047600
47700      READ (8) ID                   00047700

```

47900 NN=NEQB\*NBLOCK 00047500  
 48000 C 00047900  
 48100 REWIND NT 00048000  
 48200 C 00048100  
 48300 N=NUMNP 00048200  
 48400 C 00048300  
 48500 IF(NCID.EQ.0)WRITE(6,2000) 00048400  
 48600 NL=0 00048500  
 48700 DO 500 KK=1,NUMNP 00048600  
 48800 C 00048700  
 48900 I=6 00048800  
 49000 DO 250 II=1,6 00048900  
 49100 DO 100 L=1,LL 00049000  
 49200 100 D(I,L)=0. 00049100  
 49300 IF(M.GT.NN)GO TO 150 00049200  
 49400 IF(M.EQ.0)GO TO 150 00049300  
 49500 READ(NT) B 00049400  
 49600 NN=NN-NEQB 00049500  
 49700 150 IF(ID(N,I).LT.1) GO TO 250 00049600  
 49800 K=M-NN 00049700  
 49900 M=M-1 00049800  
 50000 C 00049900  
 50100 DO 200 L=1,LL 00050000  
 50200 200 D(I,L)=B(K,L) 00050100  
 50300 250 I=I-1 00050200  
 50400 C 00050300  
 50500 IF(NCID.NE.0)GO TO 500 00050400  
 50600 IF(NL.LE.50-LL)GO TO 300 00050500  
 50700 WRITE(6,2000) 00050600  
 50800 NL=0 00050700  
 50900 300 WRITE(6,2004) ICLF(N),(L,(D(I,L),I=1,3),L=1,LL) 00050800  
 51000 NL=NL+LL 00050900  
 51100 C 00051000  
 51200 500 N=N-1 00051100  
 51300 C 00051200  
 51400 RETURN 00051300  
 51500 C 00051400  
 51600 2000 FORMAT(1H1,/,  
 1 5X,'NUDO',2X,'CONDICION',2X,'DESPLAZAMIENTOS (CMS)',/, 00051500  
 2 11X,' DE CARGA',2X,'EJE', X Y Z' ,//)  
 51900 2004 FORMAT(4X,15,6X,15,12X,3(2X,E9.3),/, 00051600  
 52000 \* (15X,15,12X,3(2X,E9.3))) 00051700  
 52100 C 00051800  
 52200 END 00051900  
 52300 SUBROUTINE STRESS(B,D,NEQB,LB,LL,NEQ,NBLOCK,NCIF) 00052000  
 52400 C 00052100  
 52500 DIMENSION D(NEQ,LB),B(NEQB,LL) 00052200  
 52600 COMMON /ELPAR/ NPAR(4),NUMNP,MBAND,NELTYP,N1,N2,N3,N4,N5,MT03 00052300  
 52700 COMMON /JUNK/ LT,LH 00052400  
 52800 C 00052500  
 52900 NT=(LL-1)/LB+1 00052600  
 53000 LH=0 00052700  
 53100 C 00052800  
 53200 GUARDA LAS FUERZAS EN UN ARCHIVO EN DISCO 00052900  
 53300 C 00053000  
 53400 WRITE(10)NELTYP,NT 00053100  
 53500 C 00053200  
 53600 DO 300 II=1,NT 00053300  
 53700 C 00053400

53800		LT=LH+1	00053800
53900		LLT=1-LT	00053900
54000		LH=LT+LB-1	00054000
54100		IF(LH.GT.LL) LH=LL	00054100
54200	C		00054200
54300	C	COLOCA LOS DESPLAZAMIENTOS EN LA MEMORIA CENTRAL PARA	00054300
54400	C	LB CONDICIONES DE CARGA.	00054400
54500	C		00054500
54600		REWIND 2	00054600
54700	C		00054700
54800	C	GUARDA LAS FUERZAS EN UN ARCHIVO EN DISCO.	00054800
54900	C		00054900
55000		WRITE(10)LT,LH	00055000
55100		NQ=NQCB*NBLOCK	00055100
55200		DO 200 NN=1,NBLOCK	00055200
55300		READ(2) B	00055300
55400		N=NQCB	00055400
55500		IF(NN.EQ.1) N=NQ-NQ+NQCB	00055500
55600		NQ=NQ-NQCB	00055600
55700		DO 200 J=1,N	00055700
55800		I=NQ+J	00055800
55900		DO 200 L=LT,LH	00055900
56000		K=L+LLT	00056000
56100	200	D(I,K)=B(J,L)	00056100
56200		LK=LH-LT+1	00056200
56300	C		00056300
56400	C	CALCULO DE LAS FUERZAS INTERNAS PARA TODOS LOS ELEMENTOS Y	00056400
56500	C	PARA LB CONDICIONES DE CARGA.	00056500
56600	C		00056600
56700		REWIND 1	00056700
56800		DO 300 M=1,NELTYP	00056800
56900		READ(1) NPAR	00056900
57000	C		00057000
57100	C	GUARDA LAS FUERZAS EN UN ARCHIVO EN DISCO.	00057100
57200	C		00057200
57300		WRITE(10) NPAR	00057300
57400		MTYPE=NPAR(1)	00057400
57500		NPAR(1)=0	00057500
57600		CALL BEAM(NCIF)	00057600
57700	300	CONTINUE	00057700
57800	C		00057800
57900		RETURN	00057900
58000		END	00058000
58100		SUBROUTINE CALBAN (MBAND,NDIF,LM,S,P,ND,NDM)	00058100
58200	C		00058200
58300	C	CALCULA EL ANCHO DE LA SEMIBANDA Y	00058300
58400	C	GUARDA LA MATRIZ DE RIGIDEZ EN UN ARCHIVO DE DISCO.	00058400
58500	C		00058500
58600		DIMENSION LM(1),S(NDM,NDM),P(NDM,4)	00058600
58700		COMMON /EXTRA/ MODEX,NT8	00058700
58800		MIN=100000	00058800
58900		MAX=0	00058900
59000		DO 800 L=1,ND	00059000
59100		IF(LM(L).EQ.0) GO TO 800	00059100
59200		IF(LM(L).GT.MAX) MAX=LM(L)	00059200
59300		IF(LM(L).LT.MIN) MIN=LM(L)	00059300
59400	800	CONTINUE	00059400
59500		NDIF=MAX-MIN+1	00059500
59600		IF(NDIF.GT.MBAND) MBAND=NDIF	00059600
59700	C		00059700

59100 LINE=11111(ND=3)  
 59200 WRITE(2) LRD,ND,(LM(I),I=1,ND),((S(I,J),I=1,ND),J=1,ND),  
 60000 1 ((P(I,J),I=1,ND),J=1,4)  
 60100 C  
 60200 RETURN  
 60300 END  
 60400 SUBROUTINE STRSC(D,NEQ,NTAG)  
 60500 DIMENSION D(NEQ,1)  
 60600 COMMON /JUNK/ LT,LH,L,SG(12)  
 60700 COMMON /EM/ NS,ND,LM(12),B(12,12)  
 60800 C  
 60900 C IF(NTAG.EQ.0) GO TO 300  
 61000 C  
 61100 LL=L-LT+1  
 61200 DO 300 I=1,NS  
 61300 300 SG(I)=0.  
 61400 C  
 61500 DO 500 J=1,ND  
 61600 JJ=LM(J)  
 61700 IF(JJ.EQ.0) GO TO 500  
 61800 DO 400 I=1,NS  
 61900 400 SG(I)=SG(I)+B(I,J)\*D(JJ,LL)  
 62000 C  
 62100 500 CONTINUE  
 62200 RETURN  
 62300 C  
 62400 800 READ(1)ND,NS,(LM(I),I=1,ND),((B(I,J),I=1,NS),J=1,ND)  
 62500 RETURN  
 62600 END  
 62700 SUBROUTINE TEAM(NBEAM,NUMETP,NUMMAT,ID,X,Y,Z,E,G,  
 62800 1 COPROP,WGHT,ICLF,NUMNP,MBAND)  
 62900 C  
 63000 C FORMA LA MATRIZ DE RIGIDEZ DE UN ELEMENTO TRIDIMENSIONAL.  
 63100 C FORMA LA MATRIZ DE FUERZAS.  
 63200 C  
 63300 COMMON/EM/LM(12),ND,NS,ASA(12,12),RF(12,4),SA(12,12),XWT(12),NITER  
 63400 DIMENSION X(1),Y(1),Z(1),ID(NUMNP,1),E(1),G(1)  
 63500 1 ,COPROP (NUMETP,6),EMUL(3,4),WGHT(1),ICLF(NUMNP)  
 63600 COMMON /NEWBT/ T(3,3),MELTYP,DL,MATTYP  
 63700 C  
 63800 C INICIALIZA.  
 63900 C  
 64000 REWIND 11  
 64100 READ(11) ICLF  
 64200 REWIND 11  
 64300 WRITE(11) ICLF  
 64400 C  
 64500 C DATOS DE LAS PROPIEDADES DE LOS MATERIALES.  
 64600 C  
 64700 E(1)=2039000.  
 64800 G(1)=0.  
 64900 WGHT(1)=0.00785  
 65000 IF(NUMMAT.NE.1)GO TO 5  
 65100 IF(NITER.NE.0)GO TO 12  
 65200 WRITE(6,2001)E(1),WGHT(1)GO TO 12  
 65300 5 IF(NITER.NE.0)GO TO 12  
 65400 WRITE(6,2005) NBEAM  
 65500 DO 10 N=1,NUMMAT  
 65600 10 WRITE(6,2002)N,E(N),WGHT(N)  
 65700 12 DO 15 N=1,NUMMAT

65800	C	G(N)=0.5*E(N)/(1. + G(N))	00065800
65900	C	15 CONTINUE	00065900
66000	C	LECTURA E IMPRESION DE LAS PROPIEDADES GEOMETRICAS DE LOS	00066000
66100	C	ELEMENTOS COMUNES.	00066100
66200	C	READ(12) COPROP	00066200
66300	C	GO TO 35	00066300
66400	C	17 IF(NITER.EQ.0)WRITE(6,2003)	00066400
66500	C	NL=0	00066500
66600	C	IF(NITER.NE.0)GO TO 30	00066600
66700	C	DO 30 N=1,NUMETP	00066700
66800	C	IF(NL.LE.49)GO TO 20	00066800
66900	C	WRITE(6,2003)	00066900
67000	C	NL=0	00067000
67100	C	20 WRITE(6,2004)N,COPROP(N,1)	00067100
67200	C	NL=NL+1	00067200
67300	C	30 CONTINUE	00067300
67400	C	35 CONTINUE	00067400
67500	C	MULTIPLICADORES DE LAS CARGAS DE ELEMENTOS.	00067500
67600	C	40 EMUL(I,J)=0,	00067600
67700	C	EMUL(3,1)=-1.	00067700
67800	C	LECTURA E IMPRESION DE LOS DATOS DE LOS ELEMENTOS.	00067800
67900	C	40 EMUL(I,J)=0,	00067900
68000	C	DO 40 I=1,3	00068000
68100	C	DO 40 J=1,4	00068100
68200	C	40 EMUL(I,J)=0,	00068200
68300	C	EMUL(3,1)=-1.	00068300
68400	C	40 EMUL(I,J)=0,	00068400
68500	C	LECTURA E IMPRESION DE LOS DATOS DE LOS ELEMENTOS.	00068500
68600	C	40 EMUL(I,J)=0,	00068600
68700	C	IF(NITER.EQ.0)WRITE(6,4000)	00068700
68800	C	NL=0	00068800
68900	C	ICONT=0	00068900
69000	C	MATTYP=1	00069000
69100	C	60 READ(13)NEL,NI,NJ,NK,NIG	00069100
69200	C	ICONT=ICONT+1	00069200
69300	C	IECLF=NEL	00069300
69400	C	NEL=ICONT	00069400
69500	C	ICL=NI	00069500
69600	C	JCL=NJ	00069600
69700	C	DO 305 KCL=1,NUMNP	00069700
69800	C	NI=ICL	00069800
69900	C	IF(ICL.EQ.ICLF(KCL)) GO TO 310	00069900
70000	C	305 CONTINUE	00070000
70100	C	310 DO 315 KCL=1,NUMNP	00070100
70200	C	NI=ICL	00070200
70300	C	IF(ICL.EQ.ICLF(KCL)) GO TO 320	00070300
70400	C	315 CONTINUE	00070400
70500	C	320 MELTYP=NEL	00070500
70600	C	ELIMINAR SI NK ESTA DEFINIDO.	00070600
70700	C	IF(NK.NE.0) GO TO 400	00070700
70800	C	DO 325 IK=1,NUMNP	00070800
70900	C	NI=IK	00070900
71000	C	IF(NI.EQ.NP.OR.NJ.EQ.NK) GO TO 325	00071000
71100	C	325 CONTINUE	00071100
71200	C	325 CONTINUE	00071200
71300	C	325 CONTINUE	00071300
71400	C	325 CONTINUE	00071400
71500	C	325 CONTINUE	00071500
71600	C	325 CONTINUE	00071600
71700	C	325 CONTINUE	00071700

71800 400 DX=X(NJ)-X(NI) 00071800  
 71900 DY=Y(NJ)-Y(NI) 00071900  
 72000 DZ=Z(NJ)-Z(NI) 00072000  
 72100 DL=SORT(DX\*DX+DY\*DY+DZ\*DZ) 00072100  
 72200 IF(DL)>5, 75, 76 00072200  
 72300 75 WRITE(6,4005) IECLF 00072300  
 72400 CALL EXIT 00072400  
 72500 C TRANSFORMACION DE COORDENADAS GLOBALES A LOCALES. 00072500  
 72600 C  
 72700 C 76 T(1,1)=DX/DL 00072600  
 72800 T(1,2)=DY/DL 00072700  
 72900 T(1,3)=DZ/DL 00072800  
 73000 WRITE(11) IECLF, DL, NIG 00072900  
 73100 IF(NITER.NE.0)GO TO 71 00073000  
 73200 IF(NL.LE.49)GO TO 70 00073100  
 73300 WRITE(6,4000) 00073200  
 73400 NL=0 00073300  
 73500 70 WRITE(6,4001)IECLF, ICL,JCL,NIG,DL 00073400  
 73600 NL=NL+1 00073500  
 73700 71 CONTINUE 00073600  
 73800 C  
 73900 C CALCULO DE LOS COSEÑOS DIRECTORES DEL EJE LOCAL Y 00073700  
 74000 C  
 74100 C 74200 A1=X(NJ)-X(NI) 00073800  
 74300 A2=Y(NJ)-Y(NI) 00073900  
 74400 A3=Z(NJ)-Z(NI) 00074000  
 74500 B1=X(NK)-X(NI) 00074100  
 74600 B2=Y(NK)-Y(NI) 00074200  
 74700 B3=Z(NK)-Z(NI) 00074300  
 74800 AA=A1\*A1+A2\*A2+A3\*A3 00074400  
 74900 AB=A1\*B1+A2\*B2+A3\*B3 00074500  
 75000 U1=AA\*B1-AB\*A1 00074600  
 75100 U2=AA\*B2-AB\*A2 00074700  
 75200 U3=AA\*B3-AB\*A3 00074800  
 75300 UU=U1\*U1+U2\*U2+U3\*U3 00074900  
 75400 UU=SORT(UU) 00075000  
 75500 IF(UU.GT.0)GO TO 50 00075100  
 75600 WRITE(6,4002)IECLF 00075200  
 75700 STOP 00075300  
 75800 50 CONTINUE 00075400  
 75900 T(2,1)=U1/UU 00075500  
 76000 T(2,2)=U2/UU 00075600  
 76100 T(2,3)=U3/UU 00075700  
 76200 T(3,1)=T(1,2)\*T(2,3)-T(1,3)\*T(2,2) 00075800  
 76300 T(3,2)=T(1,3)\*T(2,1)-T(1,1)\*T(2,3) 00075900  
 76400 T(3,3)=T(1,1)\*T(2,2)-T(1,2)\*T(2,1) 00076000  
 76500 C  
 76600 C CALCULO DE LOS ELEMENTOS DE LA MATRIZ DE RIGIDEZ. 00076100  
 76700 C  
 76800 CALL NEWBM(E,G,WGHT,COPROP,NUMETP) 00076200  
 76900 C  
 77000 C AGREGA LAS CARGAS DE GRAVEDAD. 00076300  
 77100 C CALCULA UNICAMENTE LAS CARGAS PUNTUALES. 00076400  
 77200 C  
 77300 DO 100 J=1,4 00076500  
 77400 DO 100 I=1,3 00076600  
 77500 RF(I,J)=0. 00076700  
 77600 100 RF(1+6,J)=0. 00076800  
 77700 DO 180 I=1,3 00076900

```

77800      DO 180 J=1,4          00077800
77900      RF(I,J)=RF(I,J)+EMUL(I,J)*XWT(I)          00077900
78000      RF(I+3,J)=0.          00078000
78100      RF(I+9,J)=0.          00078100
78200      180 RF(I+6,J)=RF(I+6,J)+EMUL(I,J)*XWT(I+6)          00078200
78300      C FORMA LA MATRIZ DE LOCALIZACION DE LOS ELEMENTOS.          00078300
78400      C
78500      C 185 CONTINUE          00078400
78600      C DO 170 M=1,6          00078500
78700      C LM(M)=ID(NI,M)          00078600
78800      C 170 LM(M+6)=ID(NJ,M)          00078700
78900      C
79000      C NS=12          00078800
79100      C ND=12          00078900
79200      C
79300      C GUARDA LA INFORMACION DE LOS ELEMENTOS EN UN ARCHIVO EN DISCO.          00079000
79400      C
79500      C NDM=12          00079100
79600      C CALL CALBAN(MBAND,NDIF,LM,ASA,RF,ND,NDM)          00079200
79700      C WRITE(1)ND,NS,(LM(I),I=1,ND),((SA(I,J),I=1,NS),J=1,ND)          00079300
79800      C
79900      C VERIFICACION DEL ULTIMO ELEMENTO.          00079400
80000      C
80100      C 300 IF(NREAM.EQ.NEL)RETURN          00079500
80200      C       GO TO 40          00079600
80300      C
80400      C 2001 FORMAT(1H1,///,          00079700
80500      C       * 5X,'DATOS DEL MATERIAL DE LOS MIEMBROS',//,          00079800
80600      C       * 5X,'MODULO DE ELASTICIDAD (KG/CM**2)'=',F10.0,/,          00079900
80700      C       * 5X,'PESO VOLUMETRICO (KG/CM**3)'=',F10.5)          00080000
80800      C 2002 FORMAT(12X,IS,15X,F10.0,13X,F10.2,10X,F10.5)          00080100
80900      C 2003 FORMAT(1H1,///,          00080200
81000      C       * 5X,'MIEMBRO AREA AXIAL',//,5X,'          00080300
81100      C 2004 FORMAT(7X,IS,11X,F6.2)          00080400
81200      C 2005 FORMAT(1H1,///,5X,'DATOS DE LOS ELEMENTOS',//,          00080500
81300      C       1 5X,'NUMERO DE MIEMBROS'=',15,///,          00080600
81400      C       2 5X,'MATERIAL NO.'4X,'MODULO DE ELASTICIDAD',          00080700
81500      C       3 4X,'RELACION DE POISSON',4X,'PESO VOLUMETRICO',//,          00080800
81600      C       4 34X,'KG/CM**2',35X,'KG/CM**3',//)          00080900
81700      C 3001 FORMAT(5X,'EL PUNTO K DEBE ESTAR DEFINIDO')
81800      C 4000 FORMAT(1H1,///,
81900      C       * 5X,'MIEMBRO INCIDENCIAS GRUPO LONGITUD',//,          00081000
82000      C       * 5X,'           I   J          (CM)',/)          00081100
82100      C 4001 FORMAT(7X,IS,4X,214,5X,IS,F10.2)          00081200
82200      C 4002 FORMAT(5X,'MIEMBRO NO.',15,' EL NUDO K ESTA SOBRE EL EJE X.',          00081300
82300      C       1 'EJECUCION TERMINADA.')
82400      C 4005 FORMAT(5X,'ELEMENTO',15,' TIENE LONGITUD NULA.',          00081400
82500      C       1,'EJECUCION TERMINADA')
82600      C END
82700      C SUBROUTINE NEWBM(E,G,COPROP,NUMETP)
82800      C
82900      C FORMA LA MATRIZ DE RIGIDEZ DEL NUEVO ELEMENTO.          00081500
83000      C
83100      C DIMENSION E(1),G(1),COPROP(NUMETP,1),WGHT(1)          00081600
83200      C COMMON/EM/LM(12),ND,NS,ASA(12,12),RF(12,4),SA(12,12),XWT(12)          00081700
83300      C COMMON /NEWB/ T(3,3),MELTYP,DL,MATTYP          00081800
83400      C DIMENSION R(12),S(12,12),C(12)          00081900
83500      C
83600      C DO 5 I=1,12          00082000
83700      C DO 5 J=1,12          00082100

```

```

83900      5 CONTINUE
84000      AX=COPROP(MELTYP,1)
84100      AY=COPROP(MELTYP,2)
84200      AZ=COPROP(MELTYP,3)
84300      AAx=COPROP(MELTYP,4)
84400      AAy=COPROP(MELTYP,5)
84500      AAz=COPROP(MELTYP,6)
84600      SHFY=0.0
84700      SHFZ=0.0
84800      ZY=E(MATTYP)/(DL*DL)
84900      EIY=ZY*AAy
85000      EIZ=ZY*AAz
85100      IF(AY.NE.0.0) SHFY=6.*EIZ/(G(MATTYP)*AY)
85200      IF(AZ.NE.0.0) SHFZ=6.*EIY/(G(MATTYP)*AZ)
85300      COMMY=EIY/(1.+2.*SHFZ)
85400      COMMZ=EIZ/(1.+2.*SHFY)
85500
85600      C FORMA LOS ELEMENTOS DE LA MATRIZ DE RIGIDEZ EN COORDENADAS LOCALES
85700
85800      S(1,1)=E(MATTYP)*AX/DL
85900      S(4,4)=G(MATTYP)*AAx/DL
86000      S(2,2)=COMMZ*12./DL
86100      S(3,3)=COMMY*12./DL
86200      S(5,5)=COMMY*4.*DL*(1.+0.5*SHFZ)
86300      S(6,6)=COMMZ*4.*DL*(1.+0.5*SHFY)
86400      S(2,6)=COMMZ*6.
86500      S(3,5)=-COMMY*6.
86600      DO 102 I=1,6
86700      J=I+6
86800      102 S(J,I)=S(I,1)
86900      DO 104 I=1,4
87000      J=I+6
87100      104 S(I,J)=-S(I,I)
87200      S(6,12)= S(6,6)*(1.-SHFY)/(2.+SHFY)
87300      S(5,11)= S(5,5)*(1.-SHFZ)/(2.+SHFZ)
87400      S(2,12)= S(2,6)
87500      S(6,8)=-S(2,6)
87600      S(8,12)=-S(2,6)
87700      S(3,11)= S(3,5)
87800      S(5,9)=-S(3,5)
87900      S(9,11)=-S(3,5)
88000      DO 106 I=2,12
88100      K=I-1
88200
88300      DO 106 J=1,K
88400      106 S(I,J)= S(J,I)
88500      C OBTENCION DE LA MATRIZ SA ,DE 12*12,QUE RELACIONA LAS FUERZAS
88600      EN LOS EXTREMOS DE UN ELEMENTO (EN COORDENADAS LOCALES) CON LOS
88700      DESPLAZAMIENTOS DE LOS NUDOS (EN COORDENADAS GLOBALES).
88800      C
88900      DO 31 I=1,12
89000      DO 31 J=1,12
89100      SA(I,J)=0.
89200      31 CONTINUE
89300      DO 150 LA=1,10,3
89400      LB=LA+2
89500      DO 150 MA=1,10,3
89600      MB=MA-1
89700

```

```

89800      DO 150 I=LA,LB          00089800
89900      DO 150 JM=1,3          00089900
90000      J=JM+MB              00090000
90100      XX=0.                 00090100
90200      DO 151 K=1,3          00090200
90300      151 XX=XX+S(I,K+MB)*T(K,JM) 00090300
90400      150 SA(I,J)=XX        00090400
90500
90600      C ASA, DE 12*12, ES LA MATRIZ DE RIGIDEZ DE UN ELEMENTO. 00090500
90700      C EN COORDENADAS GLOBALES. 00090600
90800      C
90900      DO 32 I=1,12          00090700
91000      DO 32 J=1,12          00090800
91100      ASA(I,J)=0.0        00090900
91200      32 CONTINUE          00091000
91300      DO 160 LA=1,10,3      00091100
91400      LB=LA-1              00091200
91500      DO 160 MA=1,10,3      00091300
91600      MB=MA+2              00091400
91700      DO 160 IL=1,3          00091500
91800      I=IL+LB              00091600
91900      DO 160 J=MA,MB        00091700
92000      XX=0.0                00091800
92100      DO 161 K=1,3          00091900
92200      161 XX=XX+T(K, IL)*SA(K+LB, J) 00092000
92300      160 ASA(I,J)=XX        00092100
92400
92500
92600      C FORMA LA MATRIZ DE CARGAS DE GRAVEDAD. 00092200
92700      C
92800      WTM=WGHT(MAT(YP))*AX*DL/2. 00092300
92900      DO 180 M=1,3          00092400
93000      XWT(M)=WTM            00092500
93100      XWT(M+3)=0.0        00092600
93200      XWT(M+9)=0.0        00092700
93300      180 XWT(M+6)=WTM      54
93400      RETURN
93500      END
93600      SUBROUTINE SECOND(A) 00092800
93700      A=TIME(2)/60.0        00092900
93800      RETURN
93900      END
94000      SUBROUTINE OVER14
94100
94200      C FASE DE LA SOLUCION ESTATICA. 00093400
94300
94400      COMMON A(1)
94500      COMMON /ELPAR/ NP(4),NUMNP,MBAND,NELTYP,N1,N2,N3,N4,N5,MTOT,NEQ 00093500
94600      COMMON/SOL / NBLOCK,NEQR,LL,NCID,NCIF 00093600
94700
94800      C DIMENSION TT(4) 00093700
94900
95000      C OBTENCION DE LOS DESPLAZAMIENTOS. 00093800
95100
95200      CALL SECOND (TT(1)) 00093900
95300      NSB=(MBAND+LL)*NEQB 00094000
95400      NSRB=NEQR*LL*(2+(MBAND-2)/NEQB) 00094100
95500      IF(NSB.LT.NSB) NSRB=NSB 00094200
95600      N4=NS+NSBD 00094300
95700      MI= MBAND + NEQB -1 00094400

```

4,3,2,7

```

23500 CALL SECOND (TT(2))
24000
24100 C IMPRESION DE LOS DESPLAZAMIENTOS(SUBRUTINA PRINTD)
24200
24300 C N2=N1+NUMNP#6
24400 N3=N2+6*LL
24500 N4=N3+NEOB*LL
24600 CALL PRINTD(A(N1),A(N2),A(N3),A(N4),NEQB,NUMNP,LL,NBLOCK,NEQ,2,
24700 *NCID)
24800 *CALL SECOND(TT(3))
24900
25000 C CALCULO E IMPRESION DE LAS FUERZAS EN LOS EXTREMOS DE LOS MEMBROS
25100
25200 C N2=N1+NEOB*LL
25300 LB=(MTOT-N2)/NEQ
25400 CALL STRESS(A(N1),A(N2),NEOB,LB,LL,NEQ,NBLOCK,NCIF)
25500 CALL SECOND (TT(4))
25600
25700 C CALCULO DE LOS TIEMPOS EMPLEADOS EN LA FASE DE LA SOLUCION ESTATICA
25800
25900 C DO 50 K=1,3
26000 50 TT(K) = TT(K+1)-TT(K)
26100 WRITE (6,2000) (TT(L),L=1,3)
26200
26300 C 2000 FORMAT(1H1,///,
26400 * 5X,'TIEMPOS (SEGUNDOS) EMPLEADOS EN EL A
26500 *N A L I S I S',
26600 1 //,5X,'SOLUCION DEL SISTEMA DE ECUACIONES=',F8.2/
26700 2 //,5X,'IMPRESION DE LOS DESPLAZAMIENTOS=',F8.2/
26800 3 //,5X,'CALCULO E IMPRESION DE LAS FUERZAS=',F8.2/)
26900
27000 C RETURN
27100 END
27200 SUBROUTINE SESOL(A,B,MAXA,NEQ,MA,NV,NBLOCK,NEQB,NAV,MI,NSTIF,
27300 NRED,NL,NR)
27400
27500 C DIMENSION A(NAV),B(NAV),MAXA(MI)
27600
27700 C MM=1
27800 MAZ=MA-2
27900 IF(MAZ.EQ.0) MA2=1
28000 INC=NEQB - 1
28100 NWA=NEQB*MA
28200 NTR=(MA-2)/NEQB + 1
28300 NER=NTB*NEQB
28400 NEBI=NEB + NEQB
28500 NWV=NEQB*NV
28600 NWVV=NEBT*NV
28700
28800 C N1=NL
28900 N2=NR
29000 REWIND NSTIF
29100 REWIND NRED
29200 REWIND N1
29300 REWIND N2
29400
29500 C "LOOP" PRINCIPAL.ABARCA TODOS LOS BLOQUES.
29600
29700 C

```

00095900  
00096000  
00096100  
00096200  
00096300  
00096400  
00096500  
00096600  
00096700  
00096800  
00096900  
00097000  
00097100  
00097200  
00097300  
00097400  
00097500  
00097600  
00097700  
00097800  
00097900  
00098000  
00098100  
00098200  
00098300  
00098400  
00098500  
00098600  
00098700  
00098800  
00098900  
00099000  
00099100  
00099200  
00099300  
00099400  
00099500  
00099600  
00099700  
00099800  
00099900  
00100000  
00100100  
00100200  
00100300  
00100400  
00100500  
00100600  
00100700  
00100800  
00100900  
00101000  
00101100  
00101200  
00101300  
00101400  
00101500  
00101600  
00101700

```

101800      DO 600 NJ=1,NBLOCK
101900      IF(NJ.NE.1) GO TO 10
102000      READ(NSTIF) A
102100      IF(NEG.GT.1) GO TO 100
102200      MAXA(1)=1
102300      WRITE(NRED) A,MAXA
102400      IF(A(1)) 1,174,3
102500      1 KK=1
102600      WRITE(6,1010) KK,A(1)
102700      3 DO 5 L=1,NV
102800      5 A(1+L)=A(1+L)/A(1)
102900      KR=1+NV
103000      WRITE(NL) (A(KK),KK=2,KR)
103100      RETURN
103200      10 IF(NTB.EQ.1) GO TO 100
103300      REWIND N1
103400      REWIND N2
103500      READ(N1) A
103600
C      DETERMINAR LAS "ALTURAS" DE LAS COLUMNAS DE LA MATRIZ DE RIGIDEZ.
103700      "ALTURA" DE UNA COLUMNA SE DEFINE COMO EL NUMERO DE TERMINOS
103800      CONTADOS A PARTIR DEL TERMINO NO NULO, ENCONTRADO DE ARRIBA HACIA
103900      ABAJO, HASTA LA DIAGONAL PRINCIPAL INCLUSIVE.
104000
C      100 KU=1
104100      KM=MINO(MA,NEQB)
104200      MAXA(1)=1
104300      DO 110 N=2,MI
104400      IF(N-MA) 120,120,130
104500      120 KU=KU + NEQB
104600      KE=KU
104700      MM=MINO(N,KM)
104800      GO TO 140
104900      130 KU=KU + 1
105000      KE=KU
105100      IF(N-NEQB) 140,140,136
105200      136 MN=MM - 1
105300      140 DO 140 K=1,MM
105400      IF(A(KK)) 110,160,110
105500      160 KE=KE - INC
105600      110 MAXA(N)=KK
105700
C      172 IF(A(1)) 172,174,176
105800      174 KK=(NJ-1)*NEQB + 1
105900      IF(KK.GT.NER) GO TO 590
106000      WRITE(6,1000) KK
106100      STOP
106200      172 KK=(NJ-1)*NEQB + 1
106300      WRITE(6,1010) KK,A(1)
106400
C      FACTORIZA EL BLOQUE PRINCIPAL.
106500
C      176 DO 200 N=2,NEQB
106600      NH=MAXA(N)
106700      IF(NH=N) 200,200,210
106800      210 KL=N + INC
106900      K=N
107000      D=0.
107100      DO 220 KE=KL,NH,INC
107200      K=K - 1
107300
107400
107500
107600
107700

```

107000 C=C\*(KK/NV) /  
 107900 D=D + C\*A(KK)  
 108000 220 A(KK)=C  
 108100 A(N)=A(N) - D  
 108200 C IF(A(N)) 222,224,230  
 108300 224 KK=(NJ-1)\*NEQB + N  
 108400 IF((KK.GT.NEQ) GO TO 590  
 108500 IF((KK.GT.NEQ) GO TO 590  
 108600 WRITE(6,1000) KK  
 108700 STOP  
 108800 222 KK=(NJ-1)\*NEQB + N  
 108900 WRITE(6,1010) KK,A(N)  
 109000 C  
 109100 230 IC=NEQB  
 109200 DO 240 J=1,MA2  
 109300 MJ=MAXA(N+J) - IC  
 109400 IF(MJ-N)240,240,230  
 109500 260 KU=MINO(MJ,NH)  
 109600 KN=N + IC  
 109700 C=0.  
 109800 DO 300 KK=KL,KU,INC  
 109900 300 C=C + A(KK)\*A(KK+IC)  
 110000 A(KN)=A(KN) - C  
 110100 240 IC=IC + NEQB  
 110200 C  
 110300 K=N+NWA  
 110400 DO 430 L=1,NV  
 110500 KJ=K  
 110600 C=0.  
 110700 DO 440 KK=KL,NH,INC  
 110800 KJ=KJ - 1  
 110900 440 C=C + A(KK)\*A(KJ)  
 111000 A(K) =A(K) - C  
 111100 430 K=K + NEQB  
 111200 C  
 111300 200 CONTINUE  
 111400 C  
 111500 "ACARREO" DENTRO DE LOS BLOQUE POSTERIORES.  
 111600 C  
 111700 DO 400 NK=1,NTB  
 111800 IF((NJ+NK).GT.NBLOCK) GO TO 400  
 111900 NI=N1  
 112000 IF((NJ.EQ.1).OR.(NK.EQ.NTB)) NI=NSTIF  
 112100 READ(NI) B  
 112200 ML=NK\*NEQB + 1  
 112300 MR=MINO((NK+1)\*NEQB,MI)  
 112400 IF(MH.EQ.1) ML=MR  
 112500 MD=MI - ML  
 112600 KL= NEQB + (NK-1)\*NEQB\*NEQB  
 112700 N=1  
 112800 C  
 112900 DO 500 M=ML,MR  
 113000 NH=MAXA(M)  
 113100 KL=KL + NEQB  
 113200 IF(NH-KL) 505,510,510  
 113300 510 K=NEQB  
 113400 D=0.  
 113500 DO 520 KK=KL,NH,INC  
 113600 C=A(KK)/A(K)  
 113700 D=D + C\*A(KK)

57

00107800  
 00107900  
 00108000  
 00108100  
 00108200  
 00108300  
 00108400  
 00108500  
 00108600  
 00108700  
 00108800  
 00108900  
 00109000  
 00109100  
 00109200  
 00109300  
 00109400  
 00109500  
 00109600  
 00109700  
 00109800  
 00109900  
 00110000  
 00110100  
 00110200  
 00110300  
 00110400  
 00110500  
 00110600  
 00110700  
 00110800  
 00110900  
 00111000  
 00111100  
 00111200  
 00111300  
 00111400  
 00111500  
 00111600  
 00111700  
 00111800  
 00111900  
 00112000  
 00112100  
 00112200  
 00112300  
 00112400  
 00112500  
 00112600  
 00112700  
 00112800  
 00112900  
 00113000  
 00113100  
 00113200  
 00113300  
 00113400  
 00113500  
 00113600  
 00113700

113800	A(KK)=C	00113800
113900	520 K=K - 1	00113900
114000	B(N)=B(N) - B	00114000
114100	IF(MD) 580,520,530	00114100
114200	520 IC=NEOB	00114200
114300	DO 540 J=1,MD	00114300
114400	MJ=MAXA(MJ,J) - 1C	00114400
114500	IF(MJ-KL) 540,550,550	00114500
114600	550 KU=MINO(MJ,NH)	00114600
114700	KN=N + 1C	00114700
114800	C=0.	00114800
114900	DO 575 KK=KL,KU,INC	00114900
115000	575 C=C + A(KK)*A(KK+IC)	00115000
115100	B(KN)=B(KN) - C	00115100
115200	540 IC=IC + NEOB	00115200
115300	C	00115300
115400	580 KN=N + NWA	00115400
115500	K=NEOB + NWA	00115500
115600	DO 610 L=1,NV	00115600
115700	KJ=K	00115700
115800	C=0.	00115800
115900	DO 620 KK=KL,NH,INC	00115900
116000	C=C + A(KK)*A(KJ)	00116000
116100	KJ=KJ - 1	00116100
116200	B(KN)=B(KN) - C	00116200
116300	KN=KN + NEOB	00116300
116400	610 K=K + NEOB	00116400
116500	C	00116500
116600	505 MD=MD - 1	00116600
116700	500 N=N + 1	00116700
116800	C	00116800
116900	IF(NTB,NE,1) GO TO 560	00116900
117000	WRITE(NRED) A,MAXA	00117000
117100	DO 570 I=1,NAV	00117100
117200	570 A(I)=B(I)	00117200
117300	GO TO 600	00117300
117400	560 WRITE(N2) B	00117400
117500	C	00117500
117600	400 CONTINUE	00117600
117700	C	00117700
117800	M=N1	00117800
117900	N1=N2	00117900
118000	N2=M	00118000
118100	590 WRITE(NRED) A,MAXA	00118100
118200	C	00118200
118300	600 CONTINUE	00118300
118400	C	00118400
118500	VECTOR DE SUSTITUCION EN RETROCESO (BACK SUBSTITUTION).	00118500
118600	C	00118600
118700	DO 700 K=1,NWVV	00118700
118800	700 B(K)=0.	00118800
118900	REWIND NL	00118900
119000	C	00119000
119100	DO 800 NJ=1,NBLOCK	00119100
119200	BACKSPACE NRED	00119200
119300	READ(NRED) A,MAXA	00119300
119400	BACKSPACE NRED	00119400
119500	K=NERT	00119500
119600	DO 810 L=1,NV	00119600
119700	DO 820 I=1,NEB	00119700

```

119900 820 K=K - 1 00119900
120000 810 K=K + NEBT + NEB 00119900
120100 KN=0 00120000
120200 KK=NWA 00120100
120300 NDIF=NEQB 00120200
120400 IF(NJ.EQ.1) NDIF=NEQB - (NBLOCK*NEQB - NEQ) 00120300
120500 DO 855 L=1,NV 00120400
120600 DO 850 K=1,NDIF 00120500
120700 850 B(KN+K)=A(KK+K)/A(K) 00120600
120800 KK=KK + NEQC 00120700
120900 855 KN=KN + NEBT 00120800
121000 IF(MA.EQ.1) GO TO 915 00120900
121100 ML=NEQB + 1 00121000
121200 KL=NEQB 00121100
121300 DO 860 M=ML,MI 00121200
121400 KL=KL + NEQB 00121300
121500 KU=MAXA(M) 00121400
121600 IF(KU-KL) 860,870,870 00121500
121700 870 K=NEQB 00121600
121800 KM=M 00121700
121900 DO 880 L=1,NV 00121800
122000 KJ=K 00121900
122100 DO 890 KK=KL,KU,INC 00122000
122200 B(KJ)=B(KJ) - A(KK)*B(KM) 00122100
122300 890 KJ=KJ - 1 00122200
122400 KM=KM + NEBT 00122300
122500 880 K=K + NEBT 00122400
122600 860 CONTINUE 00122500
122700 N=NEQB 00122600
122800 DO 910 I=2,NEQB 00122700
122900 KL=N + INC 00122800
123000 KU=MAXA(N) 00122900
123100 IF(KU-KL) 910,920,920 00123000
123200 920 K=N 00123100
123300 DO 930 L=1,NV 00123200
123400 KJ=K 00123300
123500 DO 940 KK=KL,KU,INC 00123400
123600 KJ=KJ-1 00123500
123700 940 B(KJ)=B(KJ) - A(KK)*B(K) 00123600
123800 930 K=K + NEBT 00123700
123900 910 N=N - 1 00123800
124000 C 00123900
124100 915 KK=0 00124000
124200 KN=0 00124100
124300 DO 950 L=1,NV 00124200
124400 DO 950 K=1,NEQB 00124300
124500 KK=KK + 1 00124400
124600 960 A(KK)=B(KN+K) 00124500
124700 950 KN=KN + NEBT 00124600
124800 C 00124700
124900 WRITE (NL) (A(K),K=1,NWV) 00124800
125000 800 CONTINUE 00124900
125100 C 00125000
125200 1000 FORMAT(//,5X,'CERO EN LA DIAGONAL, ENCONTRADO DURANTE LA SOLUCION D' 00125100
125300 *E LAS ECUACIONES',//, 00125200
125400 * 5X,'ECUACION NUMERO ='I6,//, 00125300
125500 * 5X,'EJECUCION TERMINADA.' ) 00125400
125600 1010 FORMAT (//,5X,'OJO! TERMINO NEGATIVO EN LA DIAGONAL, ENCONTRADO DUR 00125500
125700 *ANTE LA SOLUCION DE LAS ECUACIONES.'//, 00125600

```

```

125800 * 5X, 'ECUACION NUMERO =',I6,/,00125800
125900 * 5X, 'VALOR DEL TERMINO NEGATIVO =',E20.8)00125900
126000 C'00126000
126100 RETURN00126100
126200 END00126200
126300 SUBROUTINE INICIA(MTYPE,NUMEL,COPROP)00126300
126400 COMMON /ELPAR/NPAR(4),NUMNP,MBAND,NELTYP,N1,N2,N3,N4,N5,MTOT00126400
126500 DIMENSION COPROP(NUMEL,6)00126500
126600 C'00126600
126700 C' INICIALIZA PROPIEDADES GEOMETRICAS DE LOS ELEMENTOS,00126700
126800 C'00126800
126900 N6=NUMEL*600126900
127000 IF(N6.GT.MTOT) CALL ERROR(N6-MTOT)00127000
127100 GO TO (1,2),MTYPE00127100
127200 C'00127200
127300 1 DO 100 I=1,NUMEL00127300
127400 COPROP(I,1)=150.00127400
127500 COPROP(I,2)=0.00127500
127600 COPROP(I,3)=0.00127600
127700 COPROP(I,4)=0.000100127700
127800 COPROP(I,5)=0.000100127800
127900 COPROP(I,6)=0.000100127900
128000 C' LOS VALORES ANTERIORES DE COPROP(I,4),(I,5)Y(I,6) SON PARA EVITAR00128000
128100 C' SINGULARIDAD EN LA MATRIZ DE RIGIDEZ DE LA ESTRUCTURA DEBIDO A00128100
128200 C' "NUDOS PLANOS". AL DAR ESOS VALORES PEQUEÑOS NO SE ALTERA LA00128200
128300 C' SOLUCION.00128300
128400 C'00128400
128500 100 CONTINUE00128500
128600 C'00128600
128700 REWIND 1200128700
128800 WRITE(12) COPROP00128800
128900 REWIND 1200128900
129000 RETURN00129000
129100 C'00129100
129200 2 RETURN00129200
129300 C'00129300
129400 C'00129400
129500 END00129500
129600 SUBROUTINE PREPRO(TITULO,NPAR2)00129600
129700 COMMON /EM/ IDT(6),R(3)00129700
129800 COMMON/SOL/NBLOCK,NEQB,LL,NCID,NCIF00129800
129900 DIMENSION TITULO(14),PERFIL(100),AR(100),RZ(100),W(100)00129900
130000 C'00130000
130100 NELTYP=100130100
130200 REWIND 1300130200
130300 REWIND 1500130300
130400 C'00130400
130500 READ(15) (TITULO(IE),IE=1,14)00130500
130600 C'00130600
130700 READ(15)NUMNP,LL,NCID,NCIF00130700
130800 WRITE(13) NUMNP,LL00130800
130900 C'00130900
131000 DO 100 K=1,NUMNP00131000
131100 DO 10 I=1,300131100
131200 10 IDT(I)=000131200
131300 DO 20 I=4,600131300
131400 20 IDT(I)=100131400
131500 READ(15) N,NCA,XCLF,YCLF,ZCLF00131500
131600 IF(NCA.EQ. 0)GO TO 4000131600
131700 DO 30 I=1,300131700

```

131900	40 CONTINUE	00131900
132000	100 WRITE(13) N, IDT, XCLF, YCLF, ZCLF	00132000
132100	C	00132100
132200	DO 200 K=1,NELTYP	00132200
132300	READ(15) NPAR2	00132300
132400	WRITE(13) NPAR2	00132400
132500	C	00132500
132600	GO TO (110,120),K	00132600
132700	C	00132700
132800	110 DO 111 N=1,NPAR2	00132800
132900	READ(15) NEL,NI,NJ,NK,NIG	00132900
133000	111 WRITE(13) NEL,NI,NJ,NK,NIG	00133000
133100	GO TO 200	00133100
133200	C	00133200
133300	120 CONTINUE	00133300
133400	C	00133400
133500	200 CONTINUE	00133500
133600	C	00133600
133700	300 READ(15) N,L,R	00133700
133800	WRITE(13) N,L,R	00133800
133900	IF(N.NE.0) GO TO 300	00133900
134000	C	00134000
134100	READ(15) IMAX,FY,NNIG	00134100
134200	WRITE(13) IMAX,LL,FY,NNIG	00134200
134300	C	00134300
134400	400 READ(15) N1,N2,VKC	00134400
134500	WRITE(13) N1,N2,VKC	00134500
134600	IF(N2 .LT. NPAR2) GO TO 400	00134600
134700	C	00134700
134800	READ(15) (PERFIL(I),AR(I),RZ(I),W(I),I=1,IMAX)	00134800
134900	C	00134900
135000	WRITE(13) (PERFIL(I),AR(I),RZ(I),W(I),I=1,IMAX)	00135000
135100	C	00135100
135200	REWIND 13	00135200
135300	RETURN	00135300
135400	1000 FORMAT(13A6,A2)	00135400
135500	END	00135500
135600	SUBROUTINE DISAP (COPROP, TEN, COMP, TAM, NUM, ARE, VK, IGUAL, VKTM,	00135600
135700	* ACUMP, JMAX, NITER)	00135700
135800	C	00135800
135900	RUTINA DE DISENO EN ACERO *****	00135900
136000	C	00136000
136100	DIMENSION COPROP(JMAX,6),TEN(1),COMP(1),TAM(1),NUM(1),ARE(1),	00136100
136200	* VK(1), IGUAL(1), VKTM(1)	00136200
136300	DIMENSION PERFIL(100),AR(100),RZ(100),W(100)	00136300
136400	READ(13) IMAX,NCMAX,FY,NNIG	00136400
136500	IF(NITER .EQ. 0) WRITE(6,2000) IMAX,NCMAX,FY	00136500
136600	C	00136600
136700	CONSTANTES *****	00136700
136800	C	00136800
136900	EM=2039000.	00136900
137000	C	00137000
137100	EM=MODULO DE ELASTICIDAD DEL ACERO(KG/CM2)	00137100
137200	PI=4.*ATAN(1.0)	00137200
137300	CC=SQRT(12.*PI*PI*EM/FY)	00137300
137400	CC2=2.*CC*CC	00137400
137500	CC3=4.*CC2*CC	00137500
137600	SIGMAT=0.85*FY	00137600
137700	ACUMP=0.	00137700
	IF(NITER .EQ. 0) WRITE(6,2100)	

```

137800      10 READ(13) N1,N2,VKC
137900      IF(NITER .EQ. 0)WRITE(6,2200) VKC,N1,N2
138000      DO 20 K=N1,N2
138100      VK(K)=VKC
138200      20 CONTINUE
138300      IF(N2 .LT. JMAX)GO TO 10
138400      READ(13) (PERFIL(I),AR(I),RZ(I),W(I),I=1,IMAX)
138500      IF(NITER .EQ. 0)WRITE(6,2300)
138600      NL=0
138700      IF(NITER .NE. 0) GO TO 40
138800      DO 40 I=1,IMAX
138900      IF(NL .LE. 49)GO TO 30
139000      WRITE(6,2300)
139100      NL=0
139200      30 WRITE(6,2400) I,PERFIL(I),AR(I),RZ(I),W(I)
139300      NL=NL + 1
139400      40 CONTINUE
139500      REWIND 10
139600      DO 100 J=1,JMAX
139700      TMAX=0.
139800      CMAX=0.
139900      DO 150 K=1,NCMAX
140000      READ(10) NO,DIM,A,NIG
140100      IF(A .LT. 0.)GO TO 110
140200      IF(A .GT. TMAX)TMAX=A
140300      GO TO 150
140400      110 A=-A
140500      IF(A .GT. CMAX)CMAX=A
140600      150 CONTINUE
140700      TEN(J)=TMAX
140800      COMP(J)=CMAX
140900      TAM(J)=DIM
141000      NUM(J)=NO
141100      IQUAL(J)=NIG
141200      VKTM(J)=VK(J)*TAM(J)
141300      100 CONTINUE
141400      C
141500      C      DISEÑO ****
141600      C      NORMAS DE CFF Y RECOMENDACIONES DEL ASCE
141700      C
141800      C      WRITE(6,2500)
141900      C      NL=0
142000      C      DO 500 J=1,JMAX
142100      C      TENJ=TEN(J)
142200      C      COMPJ=COMP(J)
142300      C      IT=0
142400      C      IC=0
142500      C      ARE(J)=0.0
142600      C
142700      C      DISEÑO POR TENSION ****
142800      C
142900      C      IF(TENJ .EQ. 0.0)GO TO 301
143000      C      DO 300 I=1,IMAX
143100      C      CAPT=SIGMAT*AR(I)
143200      C      IT=1
143300      C      IF(CAPT .GE. TENJ)GO TO 301
143400      300 CONTINUE
143500      C      GO TO 500
143600      C
143700      C      DISEÑO POR COMPRESSION ****

```

62

144000 301 IF(VKTM(J)/RZ(1) .LT. RE2=RE\*RE  
 144100 RE=VKTM(J)/RZ(1) ; RE2=RE\*RE  
 144200 IF(RE .GT. 250.0)GO TO 400  
 144300 IF(RE .GE. CC)GO TO 320  
 144400 CS=1.667 + 0.375\*RE/CC - RE2\*RE/CC3  
 144500 SIGMAC=(1. - RE2/CC2)\*FY  
 144600 GO TO 350  
 144700 320 SIGMAC=PI\*PI\*EM/RE2  
 144800 350 CAPC=SIGMAC\*AR(I)  
 144900 IC=I  
 145000 IF(CAPC .GE. COMPJ)GO TO 401  
 145100 400 CONTINUE  
 145200 GO TO 500  
 145300 401 II=MAX0(IT,IC)  
 145400 IF(II .EQ. 0)GO TO 500  
 145500 ARE(J)=AR(II)  
 145600 500 CONTINUE  
 145700 DO 590 K=1,NNIG  
 145800 AREMAX=0.0 ; ACUMPP=0.0  
 145900 DO 510 J=1,JMAX  
 146000 IF(ARE(J) .EQ. 0.0)GO TO 510  
 146100 IF(IGUAL(J) .NE. K)GO TO 510  
 146200 ACUMPP=ACUMPP + TAM(J)/100.  
 146300 IF(ARE(J) .GT. AREMAX)AREMAX=ARE(J)  
 146400 510 CONTINUE  
 146500 IF(AREMAX .EQ. 0.0)GO TO 540  
 146600 DO 520 I=1,IMAX  
 146700 IP=I  
 146800 IF(ABS(AR(I)-AREMAX) .LT. 0.01)GO TO 530  
 146900 520 CONTINUE  
 147000 530 ACUMPP=ACUMPP + ACUMPP\*W(IP)  
 147100 CAPT=SIGMAT\*AR(IP)  
 147200 540 DO 580 J=1,JMAX  
 147300 IF(IGUAL(J) .NE. K)GO TO 580  
 147400 IF(ARE(J) .EQ. 0.0)GO TO 570  
 147500 ARE(J)=AR(IP)  
 147600 CAPC=0.  
 147700 RE=VKTM(J)/RZ(IP) ; RE2=RE\*RE  
 147800 IF(RE .GT. 250.)GO TO 565  
 147900 IF(RE .GE. CC)GO TO 550  
 148000 CS=1.667 + 0.375\*RE/CC-RE2\*RE/CC3  
 148100 SIGMAC=(1. - RE2/CC2)\*FY  
 148200 GO TO 560  
 148300 550 SIGMAC=PI\*PI\*EM/RE2  
 148400 560 CAPC=SIGMAC\*AR(IP)  
 148500 565 IF(NL .LE. 49)GO TO 566  
 148600 WRITE(6,2500)  
 148700 NL=0  
 148800 566 WRITE(6,2600) NUM(J),TAM(J),COMP(J),TEN(J),PERFIL(IP),CAPC,CAPT  
 148900 NL=NL + 1  
 149000 GO TO 580  
 149100 570 IF(NL .LE. 49)GO TO 575  
 149200 WRITE(6,2500)  
 149300 NL=0  
 149400 575 WRITE(6,2700) NUM(J),TAM(J),COMP(J),TEN(J)  
 149500 NL=NL + 1  
 149600 580 CONTINUE  
 149700 590 CONTINUE

149800	WRITE(6,2800) ACUMP	00149800
149900		00149900
150000	C REINICIALIZA PROPIEDADES GEOMETRICAS	00150000
150100	C	00150100
150200	REWIND 12	00150200
150300	READ(12) COPROP	00150300
150400	DO 600 I=1,JMAX	00150400
150500	600 COPROP(I,1)=ARE(I)	00150500
150600	REWIND 12	00150600
150700	WRITE(12)COPROP	00150700
150800	REWIND 12	00150800
150900	RETURN	00150900
151000	2000 FORMAT (1H1///,	00151000
151100	* 5X,36HD A T O S P A R A E L D I S E N O//,	00151100
151200	* 5X,41NUMERO MAXIMO DE PERFILES	00151200
151300	* 5X,41NUMERO DE CONDICIONES DE CARGA	00151300
151400	* 5X,41HESFUERZO DE FLUENCIA DEL ACERO(KG/CM**2)=,F10.0)	00151400
151500	2100 FORMAT (//5X,19HVALOR DEL FACTOR DE,9X,15HPARA LAS BARRAS/,	00151500
151600	* 5X,19H LONGITUD DE PANDEO,3X,21HDEL NUMERO AL NUMERO//)	00151600
151700	2200 FORMAT (19X,F5.2,8X,I5,6X,I5)	00151700
151800	2300 FORMAT (1H1///5X,59HLISTA DE PERFILES QUE PUEDEN SER SELECCIONADOS	00151800
151900	* EN EL DISENO//,	00151900
152000	* 5X,1H,3X,6HPERFIL,4X,4HAREA,1X,8HR-MINIMO,3X,4HPESO/,	00152000
152100	* 18X,5HCM**2,7X,2HCM,2X,5H KG/M//)	00152100
152200	2400 FORMAT (4X,I2,3X,A6,2X,F6.2,5X,F4.2,1X,F6.2)	00152200
152300	2500 FORMAT (1H1///,	00152300
152400	* 5X,9HNO. BARRA,2X,8HLONGITUD,2X,10HCOMPRESION,2X,7HTENSION,	00152400
152500	* 2X,6HPERFIL,2X,13H CAPACIDAD A,2X,11HCAPACIDAD A/,	00152500
152600	*22X,2HCM,10X,2HKG,7X,2HKG,10X,13HCOMPRESION,KG,2X,11HTENSION, KG//)	00152600
152700	2600 FORMAT(9X,15,F10.2,F12.0,F9.0,2X,A6,3X,F12.0,1X,F12.0)	00152700
152800	2700 FORMAT (9X,15,F10.2,F12.0,F9.0,2X,	00152800
152900	* 67HAREA NULA PARA ESTA BARRA POR NO HABER PERFIL O TENER FUERZAS	00152900
153000	*NULAS)	00153000
153100	2800 FORMAT (///5X,27H***** PESO DE LA ESTRUCTURA,F10.0,10H KG. *****)	00153100
153200	END	00153200

## APENDICE B. MANUAL DE USUARIO DEL PROGRAMA DE COMPUTADORA

Todos los datos se proporcionan en formato libre, separados por comas, excepto la primera tarjeta la cual se lee con formato alfanumérico.

No. de Nota

a).- Asignación del título del problema, máximo 80 columnas (1 tarjeta)

Título del problema (TITULO)

b).- Control de análisis (1 tarjeta)

Número de puntos nodales (NUMNP)

Número de casos de carga (LL)

Indicador de impresión de desplazamientos (NCID)

(1)

Indicador de impresión de fuerzas (NCIF)

(1)

c).- Puntos nodales (1 tarjeta por cada nudo)

Identificador del nudo (N) (2)

Identificador de restricción (NCA) (3)

Coordenada global X (XCLF), en mts (4)

Coordenada global Y (YCLF), en mts (4)

Coordenada global Z (ZCLF), en mts (4)

No. de Nota

d).- Control de elementos estructurales (1 tarjeta)

Número de elementos (NPAR2)

e).- Elementos estructurales (1 tarjeta por cada elemento)

Identificador del elemento (NEL)

Identificador del nudo en un extremo (NI)

Identificador del nudo en el otro extremo (NJ)

Nudo que define el plano principal de inercia (NK) (5)

Número de grupo de elementos estructurales (NIG) (6)

f).- Cargas exteriores (1 tarjeta por cada nudo cargado en cada caso de carga)

Identificador del punto nodal (N) (7)

Caso de carga (L)

Carga en la dirección global X, en Kgms {R(1)}

Carga en la dirección global Y, en Kgms {R(2)}

Carga en la dirección global Z, en kgms {R(3)}

g).- Control de diseño (1 tarjeta)

Número de perfiles disponibles (IMAX)

No. de Nota

Esfuerzo de fluencia del acero (FY), en kgms/cm<sup>2</sup>

Número de distintos grupos de elementos  
de igual perfil (NNIG)

h).- Factores de longitud efectiva de pandeo (el  
número de tarjetas necesario)

Primer elemento estructural (N1) (8)

Último elemento estructural (N2)

Factor de longitud efectiva de pandeo (VKC)

i).- Propiedades de perfiles estructurales (IMAX tarjetas)

Identificador del perfil (PERFIL) (9)

Área de la sección transversal (AR), en cm<sup>2</sup>

Radio de giro mínimo (RZ), en cms

Peso del perfil (W), en kgms/ml

N O T A S:

1. Si NCID = 0 imprime los desplazamientos.  
Si NCID ≠ 0 no imprime los desplazamientos.  
Si NCIF = 0 imprime las fuerzas internas.  
Si NCIF ≠ 0 no imprime las fuerzas internas.
2. Los puntos nodales, independientemente del identificador numérico que tengan, son numerados secuencialmente en el orden en que son alimentados.  
  
Es conveniente notar que es ésta la numeración que tendrá influencia sobre el ancho de banda de la matriz de rígidez y en consecuencia en el tiempo de máquina empleado en el programa.
3. Internamente existe un arreglo IDT que tiene seis posiciones correspondientes a los 6 grados de libertad de un nudo. Si NCA = 0, significa nudo libre y el arreglo IDT será 0,0,0,1,1,1. Si NCA ≠ 0 significa apoyo y el arreglo interno IDT será 1,1,1,1,1,1.
4. El sistema global de ejes deberá tomarse con el eje Z hacia arriba y el origen en el plano inferior, de apoyo, de la armadura. Esta restricción permite al programa calcular automáticamente el peso propio de la armadura. Las coordenadas se dan en mts.

5. NK es usualmente igual a cero. Si se desea definir un sistema específico de ejes de inercia será igual al identificador del punto que quede definido con el eje longitudinal del elemento y uno de los ejes principales de inercia.
6. NIG sirve para agrupar varios elementos, con el objeto de que sean diseñados con el mismo perfil estructural.
7. Debe terminar con una tarjeta donde el número de nudo cargado sea igual a cero.
8. Para una sucesión de elementos dada, de N1 a N2, se generan los intermedios con una longitud efectiva de pandeo VKC x L. El número N2 de la última tarjeta debe ser igual al número total de elementos.
9. El identificador es tomado como alfanumérico, y el formato libre debe ir entre comillas.

**APENDICE C LISTADO DE RESULTADOS DEL  
EJEMPLO DEL CAPITULO 5**

DISEÑO DE LA TORRE TIPO XY. LINEA AGUASCALIENTES-LEON II .

I N F O R M A C I O N   G E N E R A L

NUMERO DE MIEMBROS	=	310
NUMERO DE PUNTOS NODALES	=	93
NUMERO DE CASOS DE CARGA	=	4

## DATOS DE LOS PUNTOS NODALES

NUDO	COORDENADAS (CMS)			
	X	Y	Z	
1	-325.00	-325.00	0.00	APOYO
2	325.00	-325.00	0.00	APOYO
3	325.00	325.00	0.00	APOYO
4	-325.00	325.00	0.00	APOYO
5	-277.40	-277.40	400.00	
6	0.00	-277.40	400.00	
7	277.40	-277.40	400.00	
8	277.40	0.00	400.00	
9	277.40	277.40	400.00	
10	0.00	277.40	400.00	
11	-277.40	277.40	400.00	
12	-277.40	0.00	400.00	
13	-230.00	-230.00	800.00	
14	0.00	-230.00	800.00	
15	230.00	-230.00	800.00	
16	230.00	0.00	800.00	
17	230.00	230.00	800.00	
18	0.00	230.00	800.00	
19	-230.00	230.00	800.00	
20	-230.00	0.00	800.00	
21	-182.10	-182.10	1200.00	
22	0.00	-182.10	1200.00	
23	182.10	-182.10	1200.00	
24	182.10	0.00	1200.00	
25	182.10	182.10	1200.00	
26	0.00	182.10	1200.00	
27	-182.10	182.10	1200.00	
28	-182.10	0.00	1200.00	
29	-128.50	-128.50	1650.00	
30	128.50	-128.50	1650.00	
31	128.50	128.50	1650.00	
32	-128.50	128.50	1650.00	
33	-167.20	-110.60	1800.00	
34	0.00	-110.60	1800.00	
35	167.20	-110.60	1800.00	
36	167.20	110.60	1800.00	
37	0.00	110.60	1800.00	
38	-167.20	110.60	1800.00	
39	-205.80	-92.80	1950.00	
40	-122.30	-92.80	1950.00	
41	122.30	-92.80	1950.00	
42	205.80	-92.80	1950.00	
43	205.80	92.80	1950.00	
44	122.30	92.80	1950.00	
45	-122.30	92.80	1950.00	
46	-205.80	92.80	1950.00	
47	-244.50	-75.00	2100.00	
48	244.50	-75.00	2100.00	
49	244.50	75.00	2100.00	
50	-244.50	75.00	2100.00	

## DATOS DE LOS PUNTOS NODALES

NUDO	COORDENADAS (CMS)		
	X	Y	Z
51	-276.70	-75.00	2225.00
52	-234.80	-75.00	2225.00
53	234.80	-75.00	2225.00
54	276.70	-75.00	2225.00
55	276.70	75.00	2225.00
56	234.80	75.00	2225.00
57	-234.80	75.00	2225.00
58	-276.70	75.00	2225.00
59	-308.90	-75.00	2350.00
60	-225.00	-75.00	2350.00
61	225.00	-75.00	2350.00
62	308.90	-75.00	2350.00
63	308.90	75.00	2350.00
64	225.00	75.00	2350.00
65	-225.00	75.00	2350.00
66	-308.90	75.00	2350.00
67	-600.00	-75.00	2350.00
68	-600.00	75.00	2350.00
69	-454.50	-75.00	2350.00
70	-467.40	-75.00	2400.00
71	-467.40	75.00	2400.00
72	-454.50	75.00	2350.00
73	-334.70	-75.00	2450.00
74	-430.00	0.00	2820.00
75	-334.70	75.00	2450.00
76	-225.00	-75.00	2450.00
77	-225.00	75.00	2450.00
78	-150.00	-75.00	2350.00
79	-150.00	75.00	2350.00
80	-75.00	-75.00	2450.00
81	-75.00	75.00	2450.00
82	0.00	-75.00	2350.00
83	0.00	75.00	2350.00
84	75.00	-75.00	2450.00
85	75.00	75.00	2450.00
86	150.00	-75.00	2350.00
87	150.00	75.00	2350.00
88	225.00	-75.00	2450.00
89	430.00	0.00	2820.00
90	225.00	75.00	2450.00
91	334.70	-75.00	2450.00
92	334.70	75.00	2450.00
93	600.00	0.00	2350.00

MODULO DE ELASTICIDAD (KG/CM\*\*2) = 2039000.  
PESO VOLUMETRICO (KG/CM\*\*3) = 0.00785

MIEMBRO	INCIDENCIAS	GRUPO	LONGITUD (CM)
	I	J	
1	5	1	405.62
2	6	16	517.58
3	12	17	517.58
4	6	16	517.58
5	7	1	405.62
6	8	17	517.58
7	9	1	405.62
8	10	16	517.58
9	10	1	405.62
10	11	17	517.58
11	12	36	277.40
12	6	36	277.40
13	12	2	405.58
14	13	32	489.08
15	14	33	489.08
16	20	36	277.40
17	7	36	392.30
18	8	36	392.30
19	12	36	392.30
20	8	36	277.40
21	7	32	489.08
22	14	2	405.58
23	15	33	489.08
24	16	36	277.40
25	9	36	392.30
26	10	36	392.30
27	12	37	554.80
28	10	36	277.40
29	16	33	489.08
30	17	2	405.58
31	18	32	489.08
32	10	36	277.40
33	11	36	392.30
34	12	36	277.40
35	18	32	489.08
36	19	2	405.58
37	20	33	489.08
38	13	38	230.00
39	13	38	230.00
40	21	3	405.70
41	22	18	463.89
42	28	19	463.89
43	15	38	230.00
44	16	38	325.27
45	20	38	325.27
46	16	38	230.00
47	22	18	463.89
48	23	3	405.70
49	24	19	463.89
50	17	38	230.00

MIEMBRO	INCIDENCIAS	GRUPO	LONGITUD (CM)
	I	J	
51	16	18	38 325.27
52	16	20	39 460.00
53	17	18	38 230.00
54	17	24	19 463.89
55	17	25	3 405.70
56	17	26	18 463.89
57	18	19	38 230.00
58	18	20	38 325.27
59	19	20	38 230.00
60	19	26	18 463.89
61	19	27	3 405.70
62	19	28	12 463.89
63	21	22	40 182.10
64	21	23	40 182.10
65	21	29	4 456.34
66	21	30	20 549.40
67	21	32	21 549.40
68	22	23	40 182.10
69	22	24	40 257.53
70	22	28	40 257.53
71	23	24	40 182.10
72	23	29	20 549.40
73	23	30	4 456.34
74	23	31	21 549.40
75	24	25	40 182.10
76	24	26	40 257.53
77	24	28	41 364.20
78	25	26	40 182.10
79	25	30	21 549.40
80	25	31	4 456.34
81	25	32	20 549.40
82	26	27	40 182.10
83	26	28	40 257.53
84	27	28	40 182.10
85	27	29	21 549.40
86	27	31	20 549.40
87	27	32	4 456.34
88	29	30	42 257.00
89	29	31	42 363.45
90	29	32	42 257.00
91	29	33	5 155.94
92	29	34	7 198.32
93	29	37	34 310.13
94	29	38	22 284.90
95	30	31	42 257.00
96	30	32	42 363.45
97	30	34	7 198.32
98	30	35	5 155.94
99	30	36	22 284.90
100	30	37	34 310.13

MIEMBRO	INCIDENCIAS	GRUPO	LONGITUD (CM)
	I	J	
101	31	32	42 257.00
102	31	34	34 310.13
103	31	35	22 284.90
104	31	36	5 155.94
105	31	37	7 198.32
106	32	33	22 284.90
107	32	34	34 310.13
108	32	37	7 198.32
109	32	38	5 155.94
110	33	34	30 167.20
111	33	39	29 155.91
112	33	40	30 157.58
113	33	46	22 255.66
114	34	35	30 167.20
115	34	37	35 221.20
116	34	40	31 194.36
117	34	41	31 194.36
118	34	44	23 280.76
119	34	45	23 280.76
120	35	41	30 157.58
121	35	42	29 155.91
122	35	43	22 255.66
123	36	37	30 167.20
124	36	42	22 255.66
125	36	43	29 155.91
126	36	44	30 157.58
127	37	38	30 167.20
128	37	40	23 280.76
129	37	41	23 280.76
130	37	44	31 194.36
131	37	45	31 194.36
132	38	39	22 255.66
133	38	45	30 157.58
134	38	46	29 155.91
135	39	40	30 83.50
136	39	47	6 155.93
137	39	50	22 228.37
138	40	47	8 194.29
139	40	50	23 256.10
140	41	42	30 83.50
141	41	48	8 194.29
142	41	49	23 256.10
143	42	48	6 155.93
144	42	49	22 228.37
145	43	44	30 83.50
146	43	48	22 228.37
147	43	49	6 155.93
148	44	48	23 256.10
149	44	49	8 194.29
150	45	46	30 83.50

151	45	47	23	256.10
152	45	50	8	194.29
153	46	47	23	228.37
154	46	50	6	155.93
155	47	50	35	150.00
156	47	51	9	129.08
157	47	52	10	125.38
158	47	57	25	195.50
159	47	58	24	197.89
160	48	42	35	150.00
161	48	53	9	125.38
162	48	54	10	129.08
163	48	55	24	197.89
164	48	56	25	195.50
165	49	53	24	197.89
166	49	54	9	129.08
167	49	55	10	125.38
168	49	56	24	197.89
169	50	51	25	195.50
170	50	52	10	125.38
171	50	57	9	129.08
172	51	58	30	41.90
173	51	59	9	129.08
174	51	60	30	135.27
175	51	66	24	197.89
176	52	60	10	125.38
177	52	65	25	195.50
178	53	54	30	41.90
179	53	61	10	125.38
180	53	64	25	195.50
181	54	61	30	135.27
182	54	62	9	129.08
183	54	63	24	197.89
184	55	56	30	41.90
185	55	62	24	197.89
186	55	63	9	129.08
187	55	64	30	135.27
188	56	61	25	195.50
189	56	64	10	125.38
190	56	66	30	41.90
191	57	58	25	195.50
192	57	60	10	125.38
193	57	65	24	197.89
194	58	59	30	135.27
195	58	65	9	129.08
196	58	66	43	83.90
197	59	60	51	171.87
198	59	65	49	150.00
199	59	66	47	145.60
200	59	69		

ITEMNO	INCUBATING		GROWTH	LITERATURE (CM)
	I	J		
201	59	72	50	209.04
202	59	73	55	103.27
203	59	75	54	182.11
204	59	76	45	130.53
205	60	65	49	150.00
206	60	66	51	171.87
207	60	76	56	100.00
208	60	78	44	75.00
209	60	79	53	167.71
210	61	62	43	83.90
211	61	63	51	171.87
212	61	64	49	150.00
213	61	86	44	75.00
214	61	87	53	167.71
215	61	88	56	100.00
216	62	63	49	150.00
217	62	64	51	171.87
218	62	88	15	130.53
219	62	91	55	103.27
220	62	92	54	182.11
221	62	93	11	300.61
222	63	64	43	83.90
223	63	90	15	130.53
224	63	91	54	182.11
225	63	92	55	103.27
226	63	93	11	300.61
227	64	86	53	167.71
228	64	87	44	75.00
229	64	90	56	100.00
230	65	66	43	83.90
231	65	77	56	100.00
232	65	78	53	167.71
233	65	79	44	75.00
234	66	69	50	209.04
235	66	72	47	145.60
236	66	73	54	182.11
237	66	75	55	103.27
238	66	77	15	130.53
239	67	68	49	150.00
240	67	69	47	145.50
241	67	70	48	141.71
242	67	71	50	206.36
243	67	72	50	208.97
244	68	69	50	206.36
245	68	70	50	206.36
246	68	71	48	141.71
247	68	72	47	145.50
248	69	70	30	51.64
249	69	73	30	156.05
250	70	73	48	141.81

MIEMBRO	INCIDENCIAS	GRUPO	LONGITUD (CM)
	I	J	
251	70	75	50 206.42
252	71	72	30 51.64
253	71	73	50 206.42
254	71	75	48 141.31
255	72	75	30 156.05
256	73	74	13 389.37
257	73	75	49 150.00
258	73	76	57 109.70
259	73	77	52 185.83
260	74	75	13 389.37
261	74	76	14 429.59
262	74	77	14 429.59
263	75	76	52 185.83
264	75	77	57 109.70
265	76	77	49 150.00
266	76	78	28 125.00
267	76	80	46 150.00
268	76	81	27 212.13
269	77	79	28 125.00
270	77	80	27 212.13
271	77	81	46 150.00
272	78	80	28 125.00
273	78	82	45 150.00
274	78	83	26 212.13
275	79	81	28 125.00
276	79	82	26 212.13
277	79	83	45 150.00
278	80	82	28 125.00
279	80	84	46 150.00
280	80	85	27 212.13
281	81	83	28 125.00
282	81	84	27 212.13
283	81	85	46 150.00
284	82	83	49 150.00
285	82	84	29 125.00
286	82	86	45 150.00
287	82	87	26 212.13
288	83	85	28 125.00
289	83	86	26 212.13
290	83	87	45 150.00
291	84	86	28 125.00
292	84	88	46 150.00
293	84	90	27 212.13
294	85	87	28 125.00
295	85	88	27 212.13
296	85	90	46 150.00
297	86	88	29 125.00
298	87	90	28 125.00
299	88	89	14 429.59
300	88	90	49 150.00

MIEMBRO	INCIDENCIAS	GRUPO	LONGITUD (CM)
	I	J	
301	88	91	57      109.70
302	88	92	52      185.83
303	89	90	14      429.59
304	89	91	13      389.37
305	89	92	13      389.37
306	90	91	52      185.83
307	90	92	57      109.70
308	91	92	49      150.00
309	91	93	12      293.27
310	92	93	12      293.27

P A R A M E T R O S D E L A S E C U A C I O N E S

NUMERO TOTAL DE ECUACIONES = 267  
ANCHO DE SEMIBANDA = 96  
NUMERO DE ECUACIONES EN UN BLOQUE = 74  
NUMERO DE BLOQUES = 4

## DATOS DE LAS CARGAS

NUDO	NO. DE CONDICION DE CARGA	FX (KG)	FY (KG)	FZ (KG)
5	1	380.00	0.00	-850.00
	2	238.00	0.00	-531.00
	3	238.00	0.00	-531.00
	4	238.00	0.00	-531.00
7	1	0.00	0.00	-850.00
	2	0.00	0.00	-531.00
	3	0.00	0.00	-531.00
	4	0.00	0.00	-531.00
9	1	0.00	0.00	-850.00
	2	0.00	0.00	-531.00
	3	0.00	0.00	-531.00
	4	0.00	0.00	-531.00
11	1	380.00	0.00	-850.00
	2	238.00	0.00	-531.00
	3	238.00	0.00	-531.00
	4	238.00	0.00	-531.00
13	1	450.00	0.00	-800.00
	2	281.00	0.00	-500.00
	3	281.00	0.00	-500.00
	4	281.00	0.00	-500.00
15	1	0.00	0.00	-800.00
	2	0.00	0.00	-500.00
	3	0.00	0.00	-500.00
	4	0.00	0.00	-500.00
17	1	0.00	0.00	-800.00
	2	0.00	0.00	-500.00
	3	0.00	0.00	-500.00
	4	0.00	0.00	-500.00
19	1	450.00	0.00	-800.00
	2	281.00	0.00	-500.00
	3	281.00	0.00	-500.00
	4	281.00	0.00	-500.00

## DATOS DE LAS CARGAS

NUDO	NO. DE CONDICION DE CARGA	FX (KG)	FY (KG)	FZ (KG)
21	1	400.00	0.00	-900.00
21	2	250.00	0.00	-562.00
21	3	250.00	0.00	-562.00
21	4	250.00	0.00	-562.00
23	1	0.00	0.00	-900.00
23	2	0.00	0.00	-562.00
23	3	0.00	0.00	-562.00
23	4	0.00	0.00	-562.00
25	1	0.00	0.00	-200.00
25	2	0.00	0.00	-562.00
25	3	0.00	0.00	-562.00
25	4	0.00	0.00	-562.00
27	1	400.00	0.00	-900.00
27	2	250.00	0.00	-562.00
27	3	250.00	0.00	-562.00
27	4	250.00	0.00	-562.00
29	1	400.00	0.00	-750.00
29	2	250.00	0.00	-469.00
29	3	250.00	0.00	-469.00
29	4	250.00	0.00	-469.00
30	1	0.00	0.00	-750.00
30	2	0.00	0.00	-469.00
30	3	0.00	0.00	-469.00
30	4	0.00	0.00	-469.00
31	1	0.00	0.00	-750.00
31	2	0.00	0.00	-469.00
31	3	0.00	0.00	-469.00
31	4	0.00	0.00	-469.00
32	1	400.00	0.00	-750.00
32	2	250.00	0.00	-469.00
32	3	250.00	0.00	-469.00
32	4	250.00	0.00	-469.00

DATOS DE LAS CARGAS

NUDO	NO. DE CONDICION DE CARGA	FX (KG)	FY (KG)	FZ (KG)
47	1	300.00	0.00	-700.00
47	2	188.00	0.00	-438.00
47	3	188.00	0.00	-438.00
47	4	188.00	0.00	-438.00
48	1	0.00	0.00	-700.00
48	2	0.00	0.00	-438.00
48	3	0.00	0.00	-438.00
48	4	0.00	0.00	-438.00
49	1	0.00	0.00	-700.00
49	2	0.00	0.00	-438.00
49	3	0.00	0.00	-438.00
49	4	0.00	0.00	-438.00
50	1	300.00	0.00	-700.00
50	2	188.00	0.00	-438.00
50	3	188.00	0.00	-438.00
50	4	188.00	0.00	-438.00
59	1	250.00	0.00	-500.00
59	2	156.00	0.00	-312.00
59	3	156.00	0.00	-312.00
59	4	156.00	0.00	-312.00
60	1	0.00	0.00	-500.00
60	2	0.00	0.00	-312.00
60	3	0.00	0.00	-312.00
60	4	0.00	0.00	-312.00
61	1	0.00	0.00	-500.00
61	2	0.00	0.00	-312.00
61	3	0.00	0.00	-312.00
61	4	0.00	0.00	-312.00
62	1	0.00	0.00	-500.00
62	2	0.00	0.00	-312.00
62	3	0.00	0.00	-312.00
62	4	0.00	0.00	-312.00

## DATOS DE LAS CARGAS

NUDO	NO. DE CONDICION DE CARGA	FX (KG)	FY (KG)	FZ (KG)
63	1	0.00	0.00	-500.00
63	2	0.00	0.00	-312.00
63	3	0.00	0.00	-312.00
63	4	0.00	0.00	-312.00
64	1	0.00	0.00	-500.00
64	2	0.00	0.00	-312.00
64	3	0.00	0.00	-312.00
64	4	0.00	0.00	-312.00
65	1	0.00	0.00	-500.00
65	2	0.00	0.00	-312.00
65	3	0.00	0.00	-312.00
65	4	0.00	0.00	-312.00
66	1	250.00	0.00	-500.00
66	2	156.00	0.00	-312.00
66	3	156.00	0.00	-312.00
66	4	156.00	0.00	-312.00
67	1	2930.00	0.00	-1383.00
67	2	1831.00	0.00	-864.00
67	3	1831.00	0.00	-864.00
67	4	1831.00	0.00	-864.00
68	1	2930.00	0.00	-1383.00
68	2	1831.00	0.00	-864.00
68	3	1831.00	0.00	-864.00
68	4	1831.00	0.00	-864.00
74	1	1612.00	0.00	-786.00
74	2	1008.00	0.00	-491.00
74	3	1008.00	0.00	-491.00
74	4	1008.00	0.00	-491.00
82	1	2930.00	0.00	-1383.00
82	2	1831.00	0.00	-864.00
82	3	1831.00	0.00	-864.00
82	4	0.00	-5456.00	-864.00

## DATOS DE LAS CARGAS

NUDO	NO. DE CONDICION DE CARGA	FX (KG)	FY (KG)	FZ (KG)
83	1	2930.00	0.00	-1383.00
83	2	1831.00	0.00	-864.00
83	3	1831.00	0.00	-864.00
83	4	1831.00	0.00	-864.00
89	1	1612.00	0.00	-786.00
89	2	504.00	-1500.00	-491.00
89	3	1008.00	0.00	-491.00
89	4	1008.00	0.00	-491.00
93	1	5860.00	0.00	-2766.00
93	2	3662.00	0.00	-1728.00
93	3	1831.00	-5456.00	-1728.00
93	4	3662.00	0.00	-1728.00

T I E M P O S (SEGUNDOS) E M P L E A D O S E N E L A N A L I S I S

SOLUCION DEL SISTEMA DE ECUACIONES= 3.92  
IMPRESION DE LOS DESPLAZAMIENTOS = 0.10  
CALCULO E IMPRESION DE LAS FUERZAS= 3.40

DATOS PARA EL DISEÑO

NUMERO MAXIMO DE PERFILES = 54  
NUMERO DE CONDICIONES DE CARGA = 4  
ESFUERZO DE FLUENCIA DEL ACERO (KG/CM\*\*2)= 2530.

VALOR DEL FACTOR DE  
LONGITUD DE PANDEO

PARA LAS BARRAS  
DEL NUMERO AL NUMERO/

1.00

1

310

## LISTA DE PERFILES QUE PUEDEN SER SELECCIONADOS EN EL DISEÑO

I	PERFIL	AREA CM <sup>2</sup>	R-MINIMO CM	PESO KG/M
1	A19X48	1.59	0.36	1.25
2	A22X48	1.90	0.46	1.49
3	A25X48	2.21	0.48	1.73
4	A25X63	2.80	0.48	2.22
5	A32X48	2.81	0.61	2.20
6	A38X48	3.43	0.74	2.68
7	A32X63	3.72	0.61	2.86
8	A04X05	4.03	0.89	3.15
9	A38X63	4.40	0.74	3.48
10	A05X05	4.61	1.02	3.63
11	A04X06	5.20	0.86	4.12
12	A38X79	5.40	0.74	4.26
13	A06X05	5.81	1.24	4.61
14	A05X06	6.06	0.99	4.75
15	A38X95	6.34	0.74	4.99
16	A04X08	6.39	0.86	5.04
17	A05X08	7.42	0.99	5.83
18	A06X06	7.68	1.24	6.10
19	A05X10	8.77	0.99	6.29
20	A08X06	9.29	1.59	7.22
21	A06X03	9.48	1.22	7.44
22	A06X10	11.16	1.22	8.78
23	A08X08	11.48	1.50	9.08
24	A10X06	12.52	2.01	9.82
25	A08X10	13.61	1.47	10.72
26	A10X08	15.48	2.01	12.20
27	A08X11	15.68	1.47	12.35
28	A08X13	17.74	1.47	13.99
29	A10X10	18.45	2.01	14.58
30	A10X11	21.35	1.98	16.82
31	A08X16	21.63	1.45	17.11
32	A13X10	23.29	2.51	18.30
33	A10X13	24.19	1.93	19.05
34	A13X11	26.97	2.49	21.28
35	A15X10	28.13	3.02	22.17
36	A10X16	29.74	1.95	23.36
37	A13X13	30.65	2.49	24.11
38	A15X11	32.65	3.02	25.60
39	A10X19	35.10	1.95	27.53
40	A15X13	37.10	3.00	29.17
41	A13X16	37.81	2.46	29.76
42	A15X14	41.48	3.00	32.59
43	A13X19	44.77	2.46	35.12
44	A15X16	45.87	3.00	36.01
45	A15X19	54.45	2.27	42.71
46	A15X22	62.77	2.97	49.26
47	A15X25	70.97	2.95	55.66
48	P18X22	78.94	3.50	61.98
49	P18X25	90.32	3.50	70.84
50	P18X29	101.70	3.50	79.48

LISTA DE PERFILES QUE PUEDEN SER SELECCIONADOS EN EL DISEÑO

I   PERFIL   AREA R-MINIMO   PESO  
      CM\*\*2           CM           KG/M

51	P18X32	112.73	3.50	66.55
52	P18X38	135.48	3.50	104.26
53	P18X41	146.86	3.50	115.10
54	P18X45	158.24	3.50	123.97

NO. BARRA	LONGITUD CM	COMPRESION KG	TENSION KG	PERFIL	CAPACIDAD A COMPRESION, KG	CAPACIDAD A TENSION, KG
1	405.62	0.	34538.	A15X16	50494.	98643.
5	405.62	49683.	0.	A15X16	50494.	98643.
8	405.62	49683.	0.	A15X16	50494.	98643.
11	405.62	0.	34538.	A15X16	50494.	98643.
15	405.58	0.	33315.	A15X16	50506.	98643.
23	405.58	46735.	0.	A15X16	50506.	98643.
30	405.58	46735.	0.	A15X16	50506.	98643.
36	405.58	0.	33315.	A15X16	50506.	98643.
40	405.70	0.	31576.	A15X14	45645.	89203.
48	405.70	43377.	0.	A15X14	45645.	89203.
55	405.70	43377.	0.	A15X14	45645.	89203.
61	405.70	0.	31576.	A15X14	45645.	89203.
65	456.34	0.	21455.	A15X11	28776.	70214.
73	456.34	26277.	0.	A15X11	28776.	70214.
80	456.34	26277.	0.	A15X11	28776.	70214.
87	456.34	0.	21455.	A15X11	28776.	70214.
91	155.94	0.	16455.	A10X06	25683.	26924.
98	155.94	24668.	0.	A10X06	25683.	26924.
104	155.94	24024.	0.	A10X06	25683.	26924.
109	155.94	0.	16455.	A10X06	25683.	26924.
136	155.93	0.	16017.	A10X06	25684.	26924.
143	155.93	23264.	0.	A10X06	25684.	26924.
147	155.93	23264.	0.	A10X06	25684.	26924.
154	155.93	0.	16017.	A10X06	25684.	26924.
92	198.32	775.	14276.	A10X06	21983.	26924.
97	198.32	15307.	0.	A10X06	21983.	26924.
105	198.32	15307.	0.	A10X06	21983.	26924.
108	198.32	0.	16171.	A10X06	21983.	26924.
138	194.29	16342.	0.	A10X06	22373.	26924.
141	194.29	0.	15422.	A10X06	22373.	26924.
149	194.29	0.	15422.	A10X06	22373.	26924.
152	194.29	16342.	0.	A10X06	22373.	26924.
156	129.08	19148.	0.	A08X08	22284.	24688.
162	129.08	4133.	10616.	A08X08	22284.	24688.
167	129.08	0.	14659.	A08X08	22284.	24688.
172	129.08	19148.	0.	A08X08	22284.	24688.
174	129.08	18929.	0.	A08X08	22284.	24688.
183	129.08	0.	10196.	A08X08	22284.	24688.
187	129.08	0.	10196.	A08X08	22284.	24688.
196	129.08	18929.	0.	A08X08	22284.	24688.
157	125.38	0.	21950.	A08X08	22667.	24688.
161	125.38	20507.	0.	A08X08	22667.	24688.
168	125.38	20507.	0.	A08X08	22667.	24688.
171	125.38	0.	21950.	A08X08	22667.	24688.
177	125.38	0.	22138.	A08X08	22666.	24688.
180	125.38	20722.	0.	A08X08	22666.	24688.
190	125.38	20722.	0.	A08X08	22666.	24688.
193	125.38	0.	22138.	A08X08	22666.	24688.
221	300.61	7425.	0.	A10X06	11265.	26924.
226	300.61	763.	4582.	A10X06	11265.	26924.

NO.	BARRA	LONGITUD CM	COMPRESION KG	TENSION KG	PERFIL	CAPACIDAD A COMPRESION, KG	CAPACIDAD A TENSION, KG
309		293.27	2276.	4056.	A06X06	2763.	16516.
310		293.27	0.	7344.	A06X06	2763.	16516.
256		389.37	0.	2068.	A10X06	6714.	26924.
260		389.37	0.	2068.	A10X06	6714.	26924.
304		389.37	3634.	0.	A10X06	6714.	26924.
305		369.37	3634.	485.	A10X06	6714.	26924.
261		429.59	2760.	0.	A10X06	5516.	26924.
262		429.59	2760.	0.	A10X06	5516.	26924.
299		429.59	786.	3553.	A10X06	5516.	26924.
303		429.59	0.	3553.	A10X06	5516.	26924.
204		130.53	24181.	0.	A10X06	27477.	26924.
218		130.53	0.	20104.	A10X06	27477.	26924.
223		130.53	0.	20104.	A10X06	27477.	26924.
238		130.53	24181.	0.	A10X06	27477.	26924.
2		517.58	1122.	2149.	A13X10	11022.	50085.
4		517.58	2149.	1122.	A13X10	11022.	50085.
9		517.58	3570.	0.	A13X10	11022.	50085.
10		517.58	0.	3570.	A13X10	11022.	50085.
3		517.58	256.	1997.	A13X10	11022.	50085.
6		517.58	2707.	0.	A13X10	11022.	50085.
7		517.58	0.	2707.	A13X10	11022.	50085.
12		517.58	1997.	256.	A13X10	11022.	50085.
41		463.89	2939.	2927.	A10X10	6971.	39677.
47		463.89	2927.	2939.	A10X10	6971.	39677.
56		463.89	6148.	0.	A10X10	6971.	39677.
60		463.89	0.	6148.	A10X10	6971.	39677.
42		463.89	481.	3850.	A10X08	5849.	33290.
49		463.89	5191.	0.	A10X08	5849.	33290.
54		463.89	0.	5191.	A10X08	5849.	33290.
62		463.89	3850.	481.	A10X08	5849.	33290.
66		549.40	6393.	1059.	A13X10	9782.	50085.
72		549.40	5482.	0.	A13X10	9782.	50085.
81		549.40	4866.	480.	A13X10	9782.	50085.
86		549.40	0.	9240.	A13X10	9782.	50085.
67		549.40	0.	12221.	A15X10	17105.	60494.
74		549.40	15090.	0.	A15X10	17105.	60494.
79		549.40	15090.	0.	A15X10	17105.	60494.
85		549.40	0.	12221.	A15X10	17105.	60494.
94		284.90	0.	822.	A06X05	2215.	12494.
99		284.90	1404.	0.	A06X05	2215.	12494.
103		284.90	1404.	0.	A06X05	2215.	12494.
106		284.90	0.	822.	A06X05	2215.	12494.
113		255.66	1006.	0.	A06X05	2751.	12494.
122		255.66	0.	1723.	A06X05	2751.	12494.
124		255.66	0.	1723.	A06X05	2751.	12494.
132		255.66	1006.	0.	A06X05	2751.	12494.
137		228.37	0.	1326.	A06X05	3447.	12494.
144		228.37	2270.	0.	A06X05	3447.	12494.
146		228.37	2270.	0.	A06X05	3447.	12494.
153		228.37	0.	1326.	A06X05	3447.	12494.

NO.	BARRA	LONGITUD CM	COMPRESION KG	TENSION KG	PERFIL	CAPACIDAD A COMPRESION, KG	CAPACIDAD A TENSION, KG
118		280.76	2714.	0.	A06X06	3015.	16516.
119		280.76	243.	1360.	A06X06	3015.	16516.
128		280.76	210.	1404.	A06X06	3015.	16516.
129		280.76	1011.	1624.	A06X06	3015.	16516.
139		256.10	1898.	282.	A06X06	3623.	16516.
142		256.10	2184.	1359.	A06X06	3623.	16516.
148		256.10	0.	3651.	A06X06	3623.	16516.
151		256.10	1856.	327.	A06X06	3623.	16516.
159		197.89	1232.	1951.	A06X06	6068.	16516.
163		197.89	5501.	0.	A06X06	6068.	16516.
166		197.89	303.	5103.	A06X06	6068.	16516.
169		197.89	1797.	1392.	A06X06	6068.	16516.
176		197.89	1392.	1797.	A06X06	6068.	16516.
184		197.89	5103.	303.	A06X06	6068.	16516.
186		197.89	0.	5501.	A06X06	6068.	16516.
194		197.89	1951.	1232.	A06X06	6068.	16516.
158		195.50	273.	145.	A04X05	1681.	8667.
164		195.50	416.	347.	A04X05	1681.	8667.
165		195.50	541.	197.	A04X05	1681.	8667.
170		195.50	0.	399.	A04X05	1681.	8667.
178		195.50	399.	0.	A04X05	1681.	8667.
181		195.50	197.	541.	A04X05	1681.	8667.
189		195.50	347.	416.	A04X05	1681.	8667.
192		195.50	145.	273.	A04X05	1681.	8667.
274		212.13	1129.	3253.	A06X05	3995.	12494.
276		212.13	2561.	2343.	A06X05	3995.	12494.
287		212.13	897.	2323.	A06X05	3995.	12494.
289		212.13	3491.	0.	A06X05	3995.	12494.
269		212.13	874.	309.	A04X05	1428.	8667.
270		212.13	0.	1246.	A04X05	1428.	8667.
280		212.13	1246.	0.	A04X05	1428.	8667.
292		212.13	309.	874.	A04X05	1428.	8667.
293		212.13	874.	309.	A04X05	1428.	8667.
295		212.13	0.	1246.	A04X05	1428.	8667.
266		125.00	7880.	0.	A06X05	10005.	12494.
269		125.00	7880.	0.	A06X05	10005.	12494.
272		125.00	0.	7880.	A06X05	10005.	12494.
275		125.00	0.	7880.	A06X05	10005.	12494.
278		125.00	7880.	0.	A06X05	10005.	12494.
281		125.00	7880.	0.	A06X05	10005.	12494.
285		125.00	0.	9608.	A06X05	10005.	12494.
288		125.00	0.	9608.	A06X05	10005.	12494.
291		125.00	9608.	0.	A06X05	10005.	12494.
294		125.00	9608.	0.	A06X05	10005.	12494.
297		125.00	0.	9608.	A06X05	10005.	12494.
298		125.00	0.	9608.	A06X05	10005.	12494.
111		155.91	0.	17533.	A10X08	31759.	33290.
121		155.91	25861.	0.	A10X08	31759.	33290.
125		155.91	25861.	0.	A10X08	31759.	33290.
134		155.91	0.	17533.	A10X08	31759.	33290.

NO.	BARRA	LONGITUD CM	COMPRESION KG	TENSION KG	PERFIL	CAPACIDAD A COMPRESION, KG	CAPACIDAD A TENSION, KG
110		167.20	2.	1.	A38X48	1352.	7376.
112		157.58	19.	0.	A38X48	1522.	7376.
114		167.20	0.	8.	A38X48	1352.	7376.
120		157.58	0.	23.	A38X48	1522.	7376.
123		167.20	3.	4.	A38X48	1352.	7376.
126		157.58	0.	23.	A38X48	1522.	7376.
127		167.20	2.	1.	A38X48	1352.	7376.
133		157.58	19.	0.	A38X48	1522.	7376.
135		83.50	0.	11.	A38X48	5205.	7376.
140		83.50	16.	0.	A38X48	5205.	7376.
145		83.50	16.	0.	A38X48	5205.	7376.
150		83.50	0.	11.	A38X48	5205.	7376.
173		41.90	0.	18.	A38X48	7803.	7376.
175		135.27	28.	0.	A38X48	2066.	7376.
179		41.90	16.	0.	A38X48	7803.	7376.
182		135.27	0.	27.	A38X48	2066.	7376.
185		41.90	16.	0.	A38X48	7803.	7376.
188		135.27	0.	27.	A38X48	2066.	7376.
191		41.90	0.	18.	A38X48	7803.	7376.
195		135.27	28.	0.	A38X48	2066.	7376.
248		51.64	1.	0.	A38X48	7350.	7376.
249		156.05	0.	1.	A38X48	1552.	7376.
252		51.64	1.	0.	A38X48	7350.	7376.
255		156.05	0.	1.	A38X48	1552.	7376.
116		194.36	18139.	0.	A10X06	22367.	26924.
117		194.36	0.	17137.	A10X06	22367.	26924.
130		194.36	0.	17137.	A10X06	22367.	26924.
131		194.36	18139.	0.	A10X06	22367.	26924.
16		489.08	1714.	2509.	A10X08	5262.	33290.
22		489.08	2509.	1714.	A10X08	5262.	33290.
31		489.08	4525.	0.	A10X08	5262.	33290.
35		489.08	0.	4525.	A10X08	5262.	33290.
17		489.08	352.	2670.	A10X06	4256.	26924.
24		489.08	3639.	0.	A10X06	4256.	26924.
29		489.08	0.	3639.	A10X06	4256.	26924.
37		489.08	2670.	352.	A10X06	4256.	26924.
93		310.13	0.	2607.	A08X06	4914.	19978.
100		310.13	3603.	0.	A08X06	4914.	19978.
102		310.13	2540.	814.	A08X06	4914.	19978.
107		310.13	0.	2607.	A08X06	4914.	19978.
115		221.20	102.	0.	A04X05	1313.	8667.
155		150.00	0.	68.	A04X05	2855.	8667.
160		150.00	108.	0.	A04X05	2855.	8667.
13		277.40	1644.	509.	A08X04	6142.	19978.
14		277.40	1314.	107.	A08X04	6142.	19978.
18		277.40	887.	1055.	A08X04	6142.	19978.
19		392.30	9.	0.	A08X04	3071.	19978.
20		392.30	0.	9.	A08X04	3071.	19978.
21		277.40	125.	1630.	A08X06	6142.	19978.
25		277.40	1783.	0.	A08X06	6142.	19978.

NO. BARRA	LONGITUD CM	COMPRESION KG	TENSION KG	PERFIL	CAPACIDAD A COMPRESION, KG	CAPACIDAD A TENSION, KG
26	392.30	0.	9.	A08X06	3071.	19978.
28	277.40	0.	2056.	A08X06	6142.	19976.
32	277.40	2415.	0.	A08X06	6142.	19978.
33	392.30	9.	0.	A08X06	3071.	19978.
34	277.40	215.	1207.	A08X06	6142.	19978.
27	554.80	0.	0.	A13X10	9593.	50085.
38	230.00	1736.	803.	A08X06	8935.	19978.
39	230.00	1582.	119.	A08X06	8935.	19978.
43	230.00	1170.	1111.	A08X06	8935.	19978.
44	325.27	0.	20.	A08X06	4467.	19978.
45	325.27	20.	0.	A08X06	4467.	19978.
46	230.00	38.	2022.	A08X06	8935.	19978.
50	230.00	2077.	0.	A08X06	8935.	19978.
51	325.27	20.	0.	A08X06	4467.	19978.
53	230.00	0.	2374.	A08X06	8935.	19978.
57	230.00	2788.	0.	A08X06	8935.	19978.
58	325.27	0.	20.	A08X06	4467.	19978.
59	230.00	282.	1418.	A08X06	8935.	19978.
52	460.00	0.	0.	A10X06	4811.	26924.
63	182.10	982.	3614.	A06X06	7166.	16516.
64	182.10	5804.	0.	A06X06	7166.	16516.
68	182.10	27.	2477.	A06X06	7166.	16516.
69	257.53	0.	513.	A06X06	3583.	16516.
70	257.53	513.	0.	A06X06	3583.	16516.
71	182.10	0.	6924.	A06X06	7166.	16516.
75	182.10	0.	6924.	A06X06	7166.	16516.
76	257.53	513.	0.	A06X06	3583.	16516.
78	182.10	301.	2199.	A06X06	7166.	16516.
82	182.10	4623.	0.	A06X06	7166.	16516.
83	257.53	0.	513.	A06X06	3583.	16516.
84	182.10	5804.	0.	A06X06	7166.	16516.
77	364.20	0.	0.	A08X06	3583.	19978.
88	257.00	490.	1769.	A10X06	15412.	26924.
89	363.45	0.	1764.	A10X06	7706.	26924.
90	257.00	10844.	0.	A10X06	15412.	26924.
95	257.00	0.	12674.	A10X06	15412.	26924.
96	363.45	1464.	212.	A10X06	7706.	26924.
101	257.00	2367.	0.	A10X06	15412.	26924.
197	83.90	0.	12587.	A06X06	16635.	16516.
210	83.90	16334.	0.	A06X06	16635.	16516.
222	83.90	16334.	0.	A06X06	16635.	16516.
230	83.90	0.	12587.	A06X06	16635.	16516.
208	75.00	0.	15557.	A08X06	21860.	19978.
213	75.00	19419.	0.	A08X06	21860.	19978.
228	75.00	19419.	0.	A08X06	21860.	19978.
233	75.00	0.	15557.	A08X06	21860.	19978.
273	150.00	0.	5349.	A06X05	7939.	12494.
277	150.00	206.	5349.	A06X05	7939.	12494.
286	150.00	7031.	0.	A06X05	7939.	12494.
290	150.00	7201.	0.	A06X05	7939.	12494.

NO.	BARRA	LONGITUD CM	COMPRESION KG	TENSION KG	PERFIL	CAPACIDAD A COMPRESION, KG	CAPACIDAD A TENSION, KG
267		150.00	8325.	0.	A06X06	10494.	16516.
271		150.00	8325.	0.	A06X06	10494.	16516.
279		150.00	1865.	1871.	A06X06	10494.	16516.
283		150.00	0.	3702.	A06X06	10494.	16516.
292		150.00	0.	12661.	A06X06	10494.	16516.
296		150.00	0.	12661.	A06X06	10494.	16516.
200		145.60	6521.	0.	A06X05	8330.	12494.
235		145.60	6521.	0.	A06X05	8330.	12494.
240		145.50	6676.	0.	A06X05	8338.	12494.
247		145.50	6676.	0.	A06X05	8338.	12494.
241		141.71	0.	3880.	A22X48	0.	4086.
246		141.71	0.	3880.	A22X48	0.	4086.
250		141.81	0.	3960.	A22X48	0.	4086.
254		141.81	0.	3960.	A22X48	0.	4086.
199		150.00	1276.	0.	A38X48	1680.	7376.
205		150.00	1186.	0.	A38X48	1680.	7376.
212		150.00	0.	1324.	A38X48	1680.	7376.
216		150.00	0.	2622.	A38X48	1680.	7376.
239		150.00	123.	0.	A38X48	1680.	7376.
257		150.00	717.	0.	A38X48	1680.	7376.
265		150.00	426.	0.	A38X48	1680.	7376.
284		150.00	0.	2401.	A38X48	1680.	7376.
300		150.00	1402.	0.	A38X48	1680.	7376.
308		150.00	456.	0.	A38X48	1680.	7376.
201		209.04	291.	22.	A04X05	1470.	8667.
234		209.04	139.	170.	A04X05	1470.	8667.
242		206.36	189.	119.	A04X05	1509.	8667.
243		203.97	22.	291.	A04X05	1471.	8667.
244		203.97	170.	139.	A04X05	1471.	8667.
245		206.36	40.	266.	A04X05	1509.	8667.
251		206.42	266.	40.	A04X05	1508.	8667.
253		206.42	119.	189.	A04X05	1508.	8667.
198		171.87	0.	3576.	A06X05	6086.	12494.
206		171.87	1397.	2229.	A06X05	6086.	12494.
211		171.87	2390.	961.	A06X05	6086.	12494.
217		171.87	3715.	0.	A06X05	6086.	12494.
259		185.83	394.	854.	A04X05	1860.	8667.
263		185.83	0.	1454.	A04X05	1860.	8667.
302		185.83	460.	698.	A04X05	1860.	8667.
306		185.83	0.	1326.	A04X05	1860.	8667.
209		167.71	1852.	2025.	A05X05	3432.	9914.
214		167.71	1836.	709.	A05X05	3432.	9914.
227		167.71	0.	2760.	A05X05	3432.	9914.
232		167.71	2572.	892.	A05X05	3432.	9914.
203		182.11	1201.	0.	A04X05	1937.	8667.
220		182.11	995.	0.	A04X05	1937.	8667.
224		182.11	699.	171.	A04X05	1937.	8667.
236		182.11	403.	760.	A04X05	1937.	8667.
202		103.27	0.	849.	A04X05	5681.	8667.
219		103.27	4598.	0.	A04X05	5681.	8667.

NO. BARRA	LONGITUD CM	COMPRESION KG	TENSION KG	PERFIL	CAPACIDAD A COMPRESION, KG	CAPACIDAD A TENSION, KG
225	103.27	4598.	131.	A04X05	5881.	8667.
237	103.27	0.	1010.	A04X05	5881.	8667.
207	100.00	0.	22451.	A06X10	22273.	24000.
215	100.00	20028.	0.	A06X10	22273.	24000.
229	100.00	20028.	0.	A06X10	22273.	24000.
231	100.00	0.	22451.	A06X10	22273.	24000.
258	102.70	0.	3521.	A32X63	2315.	8000.
264	102.70	0.	3521.	A32X63	2315.	8000.
301	102.70	3041.	3616.	A32X63	2315.	8000.
307	109.70	0.	7562.	A32X63	2315.	8000.

\*\*\*\*\* PESO DE LA ESTRUCTURA      7987. KG. \*\*\*\*\*

T I E M P O S (SEGUNDOS) E M P L E A D O S E N L A S O L U C I O N D E L P R O B L E M A

LECTURA DE LOS DATOS DE LOS PUNTOS NODALES	=	0.28
FORMACION DE LOS ELEMENTOS DE LA MATRIZ DE RIGIDEZ	=	9.53
LECTURA Y FORMACION DE LA MATRIZ DE CARGAS	=	0.32
FORMACION DE MATRIZ DE RIGIDEZ DE LA ESTRUCTURA	=	7.97
SOLUCION DEL SISTEMA DE ECUACIONES (ANALISIS)	=	7.85
DISEÑO	=	1.02
SUMA DE LOS TIEMPOS ANTERIORES(6)	=	26.97
SUMA DE LOS TIEMPOS DE EJECUCION DE CADA ITERACION	=	26.97

T I E M P O S (SEGUNDOS) E M P L E A D O S E N E L A N A L I S I S

SOLUCION DEL SISTEMA DE ECUACIONES= 3.77  
IMPRESION DE LOS DESPLAZAMIENTOS = 0.08  
CALCULO E IMPRESION DE LAS FUERZAS= 3.43

NO. BARRA	LONGITUD CM	COMPRESION KG	TENSION KG	PERFIL	CAPACIDAD A COMPRESION, KG	CAPACIDAD A TENSION, KG
1	405.62	0.	34538.	A15X16	50494.	98643.
5	405.62	49683.	0.	A15X16	50494.	98643.
8	405.62	49683.	0.	A15X16	50494.	98643.
11	405.62	0.	34538.	A15X16	50494.	98643.
15	405.58	0.	33315.	A15X16	50506.	98643.
23	405.58	46735.	0.	A15X16	50506.	98643.
30	405.58	46735.	0.	A15X16	50506.	98643.
36	405.58	0.	33315.	A15X16	45645.	89203.
40	405.70	0.	31576.	A15X14	45645.	89203.
48	405.70	43377.	0.	A15X14	45645.	89203.
55	405.70	43377.	0.	A15X14	45645.	89203.
61	405.70	0.	31576.	A15X14	45645.	89203.
65	456.34	0.	23970.	A15X13	32267.	79784.
73	456.34	29675.	0.	A15X13	32267.	79784.
80	456.34	29675.	0.	A15X13	32267.	79784.
87	456.34	0.	23970.	A15X13	32267.	79784.
91	155.94	0.	16656.	A10X08	31755.	33290.
98	155.94	25800.	0.	A10X08	31755.	33290.
104	155.94	24132.	0.	A10X08	31755.	33290.
109	155.94	0.	16656.	A10X08	31755.	33290.
136	155.93	0.	16321.	A10X06	25684.	26924.
143	155.93	24058.	0.	A10X06	25684.	26924.
147	155.93	23591.	0.	A10X06	25684.	26924.
154	155.93	0.	16321.	A10X06	25684.	26924.
92	193.32	441.	14229.	A10X06	21983.	26924.
97	193.32	15446.	0.	A10X06	21983.	26924.
105	193.32	15446.	0.	A10X06	21983.	26924.
108	193.32	0.	15708.	A10X06	21983.	26924.
138	194.29	16793.	0.	A10X06	22373.	26924.
141	194.29	0.	15651.	A10X06	22373.	26924.
149	194.29	0.	15651.	A10X06	22373.	26924.
152	194.29	16793.	0.	A10X06	22373.	26924.
156	129.08	12358.	0.	A08X08	22284.	24688.
162	129.08	5828.	10595.	A08X08	22284.	24688.
167	129.08	0.	16267.	A08X08	22284.	24688.
172	129.08	19359.	0.	A08X08	22284.	24688.
174	129.08	19055.	0.	A08X08	22284.	24688.
183	129.08	0.	9881.	A08X08	22284.	24688.
187	129.08	0.	9881.	A08X08	22284.	24688.
196	129.08	19055.	0.	A08X08	22284.	24688.
157	125.38	0.	22154.	A08X08	22667.	24688.
161	125.38	20392.	0.	A08X08	22667.	24688.
168	125.38	20392.	0.	A08X08	22667.	24688.
171	125.38	0.	22154.	A08X08	22667.	24688.
177	125.38	0.	22261.	A08X08	22666.	24688.
180	125.38	20511.	0.	A08X08	22666.	24688.
190	125.38	20511.	0.	A08X08	22666.	24688.
193	125.38	0.	22261.	A08X08	22666.	24688.
221	300.61	8935.	0.	A10X06	11265.	26924.
226	300.61	769.	6022.	A10X06	11265.	26924.

NO. BARRA	LONGITUD CM	COMPRESION KG	TENSION KG	PERFIL	CAPACIDAD A COMPRESION, KG	CAPACIDAD A TENSION, KG
309	293.27	803.	4056.	A06X05	2090.	12494.
310	293.27	0.	5871.	A06X05	2090.	12494.
256	309.37	0.	2038.	A10X06	6714.	26924.
260	309.37	0.	2088.	A10X06	6714.	26924.
304	309.37	3634.	0.	A10X06	6714.	26924.
305	309.37	3634.	483.	A10X06	5516.	26924.
261	429.59	2760.	0.	A10X06	5516.	26924.
262	429.59	2760.	0.	A10X06	5516.	26924.
299	429.59	1009.	3553.	A10X06	5516.	26924.
303	429.59	0.	3553.	A10X06	5516.	26924.
204	130.53	24393.	0.	A10X06	27477.	26924.
218	130.53	0.	19891.	A10X06	27477.	26924.
223	130.53	0.	19891.	A10X06	27477.	26924.
238	130.53	24393.	0.	A10X06	27477.	26924.
2	517.58	1189.	2149.	A13X10	11022.	50085.
4	517.58	2149.	1189.	A13X10	11022.	50085.
9	517.58	3637.	0.	A13X10	11022.	50085.
10	517.58	0.	3637.	A13X10	11022.	50085.
3	517.58	259.	1931.	A13X10	11022.	50085.
6	517.58	2641.	0.	A13X10	11022.	50085.
7	517.58	0.	2641.	A13X10	11022.	50085.
12	517.58	1931.	259.	A13X10	11022.	50085.
41	463.89	3288.	2927.	A10X10	6971.	39677.
47	463.89	2927.	3288.	A10X10	6971.	39677.
56	463.89	6496.	0.	A10X10	6971.	39677.
60	463.89	0.	6496.	A10X10	6971.	39677.
42	463.89	496.	3502.	A10X08	5849.	33290.
49	463.89	4843.	0.	A10X08	5849.	33290.
54	463.89	0.	4843.	A10X08	5849.	33290.
62	463.89	3502.	496.	A10X08	5849.	33290.
66	549.40	7381.	1835.	A13X10	9782.	50085.
72	549.40	4321.	1189.	A13X10	9782.	50085.
81	549.40	5826.	0.	A13X10	9782.	50085.
86	549.40	0.	8587.	A13X10	9782.	50085.
67	549.40	0.	8916.	A15X10	17105.	60494.
74	549.40	11274.	0.	A15X10	17105.	60494.
79	549.40	11274.	0.	A15X10	17105.	60494.
85	549.40	0.	8916.	A15X10	17105.	60494.
94	284.90	0.	641.	A06X05	2215.	12494.
99	284.90	1021.	0.	A06X05	2215.	12494.
103	284.90	1077.	0.	A06X05	2215.	12494.
106	284.90	0.	641.	A06X05	2215.	12494.
113	255.66	782.	0.	A06X05	2751.	12494.
122	255.66	0.	1321.	A06X05	2751.	12494.
124	255.66	0.	1262.	A06X05	2751.	12494.
132	255.66	782.	0.	A06X05	2751.	12494.
137	228.37	0.	1030.	A06X05	3447.	12494.
144	228.37	1662.	0.	A06X05	3447.	12494.
146	228.37	1740.	0.	A06X05	3447.	12494.
153	228.37	0.	1030.	A06X05	3447.	12494.

NO.	BARRA	LONGITUD CM	COMPRESION KG	TENSION KG	PERFIL	CAPACIDAD A COMPRESION, KG	CAPACIDAD A TENSION, KG
118		280.76	2394.	0.	A06X06	3015.	16516.
119		280.76	438.	1188.	A06X06	3015.	16516.
128		280.76	360.	1255.	A06X06	3015.	16516.
129		280.76	668.	1677.	A06X06	3015.	16516.
139		256.10	1682.	404.	A06X06	3623.	16516.
142		256.10	2256.	872.	A06X06	3623.	16516.
148		256.10	0.	3220.	A06X06	3623.	16516.
151		256.10	1597.	539.	A06X06	3623.	16516.
159		197.89	1122.	1896.	A06X06	6068.	16516.
163		197.89	5328.	0.	A06X06	6068.	16516.
166		197.89	529.	4625.	A06X06	6068.	16516.
169		197.89	1677.	1367.	A06X06	6068.	16516.
176		197.89	1367.	1677.	A06X06	6068.	16516.
184		197.89	4625.	529.	A06X06	6068.	16516.
186		197.89	0.	5328.	A06X06	6068.	16516.
194		197.89	1896.	1122.	A06X06	6068.	16516.
158		195.50	391.	82.	A04X05	1681.	8667.
164		195.50	483.	319.	A04X05	1681.	8667.
165		195.50	431.	319.	A04X05	1681.	8667.
170		195.50	0.	424.	A04X05	1681.	8667.
178		195.50	424.	0.	A04X05	1681.	8667.
181		195.50	319.	431.	A04X05	1681.	8667.
189		195.50	319.	483.	A04X05	1681.	8667.
192		195.50	82.	391.	A04X05	1681.	8667.
274		212.13	841.	2561.	A06X05	3995.	12494.
276		212.13	1485.	2676.	A06X05	3995.	12494.
287		212.13	1175.	1933.	A06X05	3995.	12494.
289		212.13	2748.	0.	A06X05	3995.	12494.
268		212.13	408.	108.	A04X05	1428.	8667.
270		212.13	0.	518.	A04X05	1428.	8667.
280		212.13	518.	0.	A04X05	1428.	8667.
282		212.13	108.	408.	A04X05	1428.	8667.
293		212.13	408.	108.	A04X05	1428.	8667.
295		212.13	0.	518.	A04X05	1428.	8667.
266		125.00	7880.	0.	A06X05	10005.	12494.
269		125.00	7880.	0.	A06X05	10005.	12494.
272		125.00	0.	7880.	A06X05	10005.	12494.
275		125.00	0.	7880.	A06X05	10005.	12494.
278		125.00	7880.	0.	A06X05	10005.	12494.
281		125.00	7880.	0.	A06X05	10005.	12494.
285		125.00	0.	9608.	A06X05	10005.	12494.
288		125.00	0.	9608.	A06X05	10005.	12494.
291		125.00	9608.	0.	A06X05	10005.	12494.
294		125.00	9608.	0.	A06X05	10005.	12494.
297		125.00	0.	9608.	A06X05	10005.	12494.
298		125.00	0.	9608.	A06X05	10005.	12494.
111		155.91	0.	17498.	A10X08	31759.	33290.
121		155.91	25958.	0.	A10X08	31759.	33290.
125		155.91	25468.	0.	A10X08	31759.	33290.
134		155.91	0.	17498.	A10X08	31759.	33290.

NO.	BARRA	LONGITUD CM	COMPRESION KG	TENSION KG	PERFIL	CAPACIDAD A COMPRESION, KG	CAPACIDAD A TENSION, KG
110		167.20	2.	1.	A38X48	1352.	7376.
112		157.58	19.	0.	A38X48	1522.	7376.
114		167.20	0.	0.	A38X48	1352.	7376.
120		157.58	0.	23.	A38X48	1522.	7376.
123		167.20	3.	4.	A38X48	1352.	7376.
126		157.58	0.	23.	A38X48	1522.	7376.
127		167.20	2.	1.	A38X48	1352.	7376.
133		157.58	19.	0.	A38X48	1522.	7376.
135		83.50	0.	11.	A38X48	5205.	7376.
140		83.50	16.	0.	A38X48	5205.	7376.
145		83.50	16.	0.	A38X48	5205.	7376.
150		83.50	0.	11.	A38X48	5205.	7376.
173		41.90	0.	18.	A38X48	7803.	7376.
175		135.27	29.	0.	A38X48	2066.	7376.
179		41.90	16.	0.	A38X48	7803.	7376.
182		135.27	0.	26.	A38X48	2066.	7376.
185		41.90	16.	0.	A38X48	7803.	7376.
188		135.27	0.	26.	A38X48	2066.	7376.
191		41.90	0.	18.	A38X48	7803.	7376.
195		135.27	29.	0.	A38X48	2066.	7376.
248		51.64	1.	0.	A38X48	7350.	7376.
249		156.05	0.	1.	A38X48	1552.	7376.
252		51.64	1.	0.	A38X48	7350.	7376.
255		156.05	0.	1.	A38X48	1552.	7376.
116		194.36	18046.	0.	A10X06	22367.	26924.
117		194.36	0.	16772.	A10X06	22367.	26924.
130		194.36	0.	16772.	A10X06	22367.	26924.
131		194.36	18046.	0.	A10X06	22367.	26924.
16		489.08	1929.	2509.	A10X08	5262.	33290.
22		489.08	2509.	1929.	A10X08	5262.	33290.
31		489.08	4741.	0.	A10X08	5262.	33290.
35		489.08	0.	4741.	A10X08	5262.	33290.
17		489.08	361.	2454.	A10X06	4256.	26924.
24		489.08	3423.	0.	A10X06	4256.	26924.
29		489.08	0.	3423.	A10X06	4256.	26924.
37		489.08	2454.	361.	A10X06	4256.	26924.
93		310.13	0.	2477.	A08X06	4914.	19978.
100		310.13	3389.	0.	A08X06	4914.	19978.
102		310.13	2524.	607.	A08X06	4914.	19978.
107		310.13	0.	2477.	A08X06	4914.	19978.
115		221.20	40.	11.	A04X05	1313.	8667.
155		150.00	10.	2.	A04X05	2655.	8667.
160		150.00	170.	0.	A04X05	2655.	8667.
13		277.40	1644.	611.	A08X06	6142.	19978.
14		277.40	1213.	111.	A08X06	6142.	19978.
18		277.40	989.	1055.	A08X06	6142.	19978.
19		392.30	0.	75.	A08X06	3071.	19978.
20		392.30	75.	0.	A08X06	3071.	19978.
21		277.40	125.	1528.	A08X06	6142.	19978.
25		277.40	1682.	0.	A08X06	6142.	19978.

NO. BARRA	LONGITUD CM	COMPRESION KG	TENSION KG	PERFIL	CAPACIDAD A COMPRESION, KG	CAPACIDAD A TENSION, KG
26	392.30	75.	0.	A08X06	3071.	19978.
29	277.40	0.	2157.	A08X06	6142.	19978.
32	277.40	2516.	0.	A08X06	6142.	19978.
33	392.30	0.	75.	A08X06	3071.	19978.
34	277.40	219.	1105.	A08X06	6142.	19978.
27	554.80	0.	0.	A13X10	9593.	50085.
38	230.00	1736.	939.	A08X06	8935.	19978.
39	230.00	1449.	124.	A08X06	8935.	19978.
43	230.00	1307.	1111.	A08X06	8935.	19978.
44	325.27	0.	41.	A08X06	4467.	19978.
45	325.27	41.	0.	A08X06	4467.	19978.
46	230.00	38.	1885.	A08X06	8935.	19978.
50	230.00	1940.	0.	A08X06	8935.	19978.
51	325.27	41.	0.	A08X06	4467.	19978.
53	230.00	0.	2511.	A08X06	8935.	19978.
57	230.00	2924.	0.	A08X06	8935.	19978.
58	325.27	0.	41.	A08X06	4467.	19978.
59	230.00	288.	1261.	A08X06	8935.	19978.
52	460.00	0.	0.	A10X06	4811.	26924.
63	182.10	1112.	3141.	A06X05	5421.	12494.
64	182.10	4258.	0.	A06X05	5421.	12494.
68	182.10	644.	1933.	A06X05	5421.	12494.
69	257.53	0.	372.	A06X05	2711.	12494.
70	257.53	372.	0.	A06X05	2711.	12494.
71	182.10	0.	5139.	A06X05	5421.	12494.
75	182.10	0.	5132.	A06X05	5421.	12494.
76	257.53	372.	0.	A06X05	2711.	12494.
78	182.10	0.	2649.	A06X05	5421.	12494.
82	182.10	4318.	0.	A06X05	5421.	12494.
83	257.53	0.	372.	A06X05	2711.	12494.
84	182.10	4258.	0.	A06X05	5421.	12494.
77	264.20	0.	0.	A08X06	3563.	19978.
68	257.00	506.	989.	A10X06	15412.	26924.
89	363.45	0.	1894.	A10X06	7706.	26924.
90	257.00	8363.	0.	A10X06	15412.	26924.
95	257.00	0.	9894.	A10X06	15412.	26924.
96	363.45	1684.	130.	A10X06	7706.	26924.
101	257.00	1541.	0.	A10X06	15412.	26924.
197	83.90	0.	13038.	A06X06	16635.	16516.
210	83.90	16573.	0.	A06X06	16635.	16516.
222	83.90	16573.	0.	A06X06	16635.	16516.
230	83.90	0.	13038.	A06X06	16635.	16516.
208	75.00	0.	15863.	A08X06	21860.	19978.
213	75.00	19326.	0.	A08X06	21860.	19978.
228	75.00	19326.	0.	A08X06	21860.	19978.
233	75.00	0.	15863.	A08X06	21860.	19978.
273	150.00	0.	5311.	A06X05	7939.	12494.
277	150.00	73.	5311.	A06X05	7939.	12494.
284	150.00	7007.	0.	A06X05	7939.	12494.
290	150.00	6774.	0.	A06X05	7939.	12494.

NO.	BARRA	LONGITUD CM	COMPRESION KG	TENSION KG	PERFIL	CAPACIDAD A COMPRESION, KG	CAPACIDAD A TENSION, KG
267		150.00	9319.	0.	A06X06	10494.	16516.
271		150.00	8319.	0.	A06X06	10494.	16516.
279		150.00	1919.	1781.	A06X06	10494.	16516.
283		150.00	242.	3328.	A06X06	10494.	16516.
292		150.00	0.	12664.	A06X06	10494.	16516.
296		150.00	0.	12664.	A06X06	10494.	16516.
200		145.60	6539.	0.	A06X05	8330.	12494.
235		145.60	6539.	0.	A06X05	8330.	12494.
240		145.50	6657.	0.	A06X05	8338.	12494.
247		145.50	6657.	0.	A06X05	8338.	12494.
241		141.71	0.	3878.	A22X48	0.	4086.
246		141.71	0.	3878.	A22X48	0.	4086.
250		141.81	0.	3962.	A22X48	0.	4086.
254		141.81	0.	3962.	A22X48	0.	4086.
199		150.00	793.	0.	A38X48	1680.	7376.
205		150.00	519.	0.	A38X48	1680.	7376.
212		150.00	0.	441.	A38X48	1680.	7376.
216		150.00	0.	1815.	A38X48	1680.	7376.
239		150.00	106.	0.	A38X48	1680.	7376.
257		150.00	784.	0.	A38X48	1680.	7376.
265		150.00	319.	0.	A38X48	1680.	7376.
264		150.00	0.	2197.	A38X48	1680.	7376.
300		150.00	1305.	0.	A38X48	1680.	7376.
308		150.00	411.	0.	A38X48	1680.	7376.
201		202.04	173.	15.	A04X05	1470.	8667.
234		202.04	104.	75.	A04X05	1470.	8667.
242		206.36	83.	99.	A04X05	1509.	8667.
243		208.97	15.	173.	A04X05	1471.	8667.
244		208.97	75.	104.	A04X05	1471.	8667.
245		206.36	19.	161.	A04X05	1509.	8667.
251		206.42	161.	19.	A04X05	1508.	8667.
253		206.42	99.	83.	A04X05	1508.	8667.
193		171.87	192.	2598.	A05X05	3268.	9914.
206		171.87	993.	1941.	A05X05	3268.	9914.
211		171.87	1534.	636.	A05X05	3268.	9914.
217		171.87	2289.	0.	A05X05	3268.	9914.
252		185.83	0.	897.	A19X48	0.	3419.
263		185.83	0.	966.	A19X48	0.	3419.
302		185.83	0.	754.	A19X48	0.	3419.
306		185.83	0.	754.	A19X48	0.	3419.
209		167.71	2116.	1174.	A04X05	2284.	8667.
214		167.71	1529.	929.	A04X05	2284.	8667.
227		167.71	0.	2172.	A04X05	2284.	8667.
232		167.71	2025.	665.	A04X05	2284.	8667.
203		182.11	621.	0.	A04X05	1937.	8667.
220		182.11	1271.	0.	A04X05	1937.	8667.
224		182.11	834.	283.	A04X05	1937.	8667.
236		182.11	362.	185.	A04X05	1937.	8667.
202		103.27	0.	826.	A04X05	5881.	8667.
219		103.27	4521.	0.	A04X05	5881.	8667.

NO. BARRA	LONGITUD CM	COMPRESION KG	TENSION KG	PERFIL	CAPACIDAD A COMPRESION, KG	CAPACIDAD A TENSION, KG
225	103.27	4521.	138.	A04X05	5881.	8667.
237	103.27	0.	896.	A04X05	5881.	8667.
207	100.00	0.	22614.	A06X10	22273.	24000.
215	100.00	19865.	0.	A06X10	22273.	24000.
229	100.00	19865.	0.	A06X10	22273.	24000.
231	100.00	0.	22614.	A06X10	22273.	24000.
258	109.70	0.	3495.	A25X63	1079.	6021.
264	109.70	0.	3495.	A25X63	1079.	6021.
301	109.70	1188.	3582.	A25X63	1079.	6021.
307	109.70	0.	5668.	A25X63	1079.	6021.

\*\*\*\*\* PESO DE LA ESTRUCTURA      7995. KG. \*\*\*\*\*

T I E M P O S (SEGUNDOS) E M P L E A D O S E N L A S O L U C I O N D E L P R O B L E M A

LECTURA DE LOS DATOS DE LOS PUNTOS NODALES	=	0.08
FORMACION DE LOS ELEMENTOS DE LA MATRIZ DE RIGIDEZ	=	7.77
LECTURA Y FORMACION DE LA MATRIZ DE CARGAS	=	0.12
FORMACION DE MATRIZ DE RIGIDEZ DE LA ESTRUCTURA	=	7.20
SOLUCION DEL SISTEMA DE ECUACIONES (ANALISIS)	=	7.28
DISEÑO	=	0.92
SUMA DE LOS TIEMPOS ANTERIORES(6)	=	23.37
SUMA DE LOS TIEMPOS DE EJECUCION DE CADA ITERACION	=	50.33

## **APENDICE D. DESCRIPCION DE LAS SUBRUTINAS DEL PAQUETE DE COMPUTADORA.**

### **1. PROGRAMA PRINCIPAL**

Coordina el flujo de información y controla en general el procesamiento de toda la información a través de las subrutinas principales del paquete de computadora.

### **2. INPUTJ**

Lectura de la información que define a los puntos nodales de la estructura. También determina el número de incógnitas.

### **3. BEAM**

Guarda las fuerzas que actúan sobre los elementos barra, en un archivo en disco.

### **4. INL**

Entrada de las cargas aplicadas en los nudos de la estructura.

### **5. ERROR**

Marca error cuando es excedida la capacidad del programa principal.

- |           |   |
|-----------|---|
| 6. ADDSTF | Agrupa las ecuaciones de equilibrio (globales), en bloques.   |
| 7. PRINTD | Imprime los desplazamientos de los puntos nodales de la estructura.                                 |
| 8. STRESS | Cálcula las fuerzas internas para todos los elementos y para diferentes condiciones de carga.       |
| 9. CALBAN | Cálcula el ancho de semibanda y guarda la matriz de rigidez en un archivo en disco.                 |
| 10. TEAM  | Forma la matriz de rigidez de un elemento barra tridimensional. También forma la matriz de fuerzas. |
| 11. NEWBM | Forma la matriz de rigidez del nuevo elemento.  |
| 12. SESOL | Solución del sistema de ecuaciones.   |

13. INICIA                   Inicializa las propiedades geométricas de los elementos de la armadura.
14. PREPO                   Lectura de todos los datos necesarios para la solución del problema.
15. DISAP                   Diseño de todos los elementos estructurales que forman la armadura espacial.
16. OVER14                 Subrutina auxiliar. Su función es llamar a las subrutinas SESOL, PRIN-TD y STRESS.
17. STRSC                   Cálcula las fuerzas internas de cada barra.